

การแจกแจงผลิตภัณฑ์และพูดต่อกลุ่มของกำมะถันระหว่างการไฟโรไลส์ถ่านหินในบรรยากาศแก๊สต์ต่างๆ

นางสาวอุบลรัชต์ ลิมประภาสิริกุล

สถาบันวิทยบริการ อุดมศึกษาแห่งวิทยาลัย

วิทยานิพนธ์นี้เป็นส่วนหนึ่งของการศึกษาตามหลักสูตรปริญญาวิทยาศาสตร์มหาบัณฑิต

สาขาวิชาเคมีเทคนิค ภาควิชาเคมีเทคนิค

คณะวิทยาศาสตร์ จุฬาลงกรณ์มหาวิทยาลัย

ปีการศึกษา 2547

ISBN 974-17-6797-8

ลิขสิทธิ์ของจุฬาลงกรณ์มหาวิทยาลัย

PRODUCT DISTRIBUTION AND SULFUR BEHAVIOR DURING COAL PYROLYSIS
IN VARIOUS GAS ATMOSPHERES

Miss Ubonrat Limpraparsirikul

สถาบันวิทยบริการ

A Thesis Submitted in Partial Fulfillment of the Requirements
for the Degree of Master of Science in Chemical Technology

Department of Chemical Technology

Faculty of Science

Chulalongkorn University

Academic Year 2004

ISBN 974-17-6797-8

หัวข้อวิทยานิพนธ์

โดย

สาขาวิชา

อาจารย์ที่ปรึกษา

อาจารย์ที่ปรึกษาร่วม

การแจกแจงผลิตภัณฑ์และพฤติกรรมของกำมะถันระหว่างการไฟโรไลส์
ถ่านหินในบรรยายกาศแก่สตางค์

นางสาวอุบลรัชต์ ลิ้มประภาสิริกุล

เคมีเทคนิค

ศาสตราจารย์ ดร. ภัทรพรรณ ประศาสน์สารกิจ

รองศาสตราจารย์ ดร. สมเกียรติ งามประเสริฐสิทธิ์

คณะวิทยาศาสตร์ จุฬาลงกรณ์มหาวิทยาลัย อนุมัติให้นักวิทยานิพนธ์ฉบับนี้เป็นส่วน
หนึ่งของการศึกษาตามหลักสูตรปัจจุบัน

..... คณบดีคณะวิทยาศาสตร์

(ศาสตราจารย์ ดร. เปี่ยมศักดิ์ เมนะเศวต)

คณะกรรมการสอบวิทยานิพนธ์

..... ประธานกรรมการ

(รองศาสตราจารย์ ดร. พราพรรณ เปี่ยมสมบูรณ์)

..... อาจารย์ที่ปรึกษา

(ศาสตราจารย์ ดร. ภัทรพรรณ ประศาสน์สารกิจ)

..... อาจารย์ที่ปรึกษาร่วม

(รองศาสตราจารย์ ดร. สมเกียรติ งามประเสริฐสิทธิ์)

..... กรรมการ

(ผู้ช่วยศาสตราจารย์ ดร. สงปฏิพย์ พงศ์สถาบดี)

..... กรรมการ

(อาจารย์ ดร. ชวิติ งามเจริญศรีวิชัย)

อุบลรัชต์ ลิ่มประภาสิริกุล : การแจกแจงผลิตภัณฑ์และพฤติกรรมของกำมะถันระหว่างการไฟโรไลซ์ถ่านหินในบรรยากาศแก๊สต่างๆ (PRODUCT DISTRIBUTION AND SULFUR BEHAVIOR DURING COAL PYROLYSIS IN VARIOUS GAS ATMOSPHERES) อาจารย์ที่ปรึกษา : ศ.ดร.ภัทรพรวน ประศาสน์สารกิจ, อาจารย์ที่ปรึกษาร่วม : รศ.ดร.สมเกียรติ งามประเสริฐสิทธิ์, จำนวน 99 หน้า. ISBN 974-17-6797-8.

การขัดสารประกอบกำมะถันของถ่านหินลิกไนต์ถูกดำเนินการโดยกระบวนการไฟโรไลซ์ในเครื่องปฏิกรณ์แบบเบดนิ่ง งานวิจัยนี้ศึกษาผลของอุณหภูมิ เกลา อัตราการไหหลแก๊ส และบรรยากาศแก๊ส ผลของภาวะพบว่าอุณหภูมิเป็นปัจจัยที่สำคัญที่สุดที่มีผลต่อการแจกแจงผลิตภัณฑ์ นอกเหนือจากสมบัติของถ่านหิน ที่อุณหภูมิ 800 องศาเซลเซียส อัตราการไหหลแก๊ส 1.5 ลิตรต่อนาที ในบรรยากาศในตอรเจน พบร่วมอยละการขัดกำมะถันรวมเป็น 65 ชั่วโมง ร้อยละการขัดกำมะถันไฟโรต์, กำมะถันชัลเพต และกำมะถันอินทรีย์เป็น 90, 89 และ 50 ตามลำดับ ในบรรยากาศแก๊สผสมในตอรเจนและไฮโดรเจน และแก๊สผสมในตอรเจนและการรับอนไดออกไซด์ ที่อุณหภูมิ 800 องศาเซลเซียส อัตราการไหหลแก๊ส 1.0 ลิตรต่อนาที พบร่วมอยละการขัดกำมะถันรวมสูงสุดเป็น 66 และ 69 ตามลำดับ ในบรรยากาศแก๊สผสมขัดกำมะถันไฟโรต์ ได้ดีกว่าในบรรยากาศในตอรเจนทุกช่วงอุณหภูมิ เนื่องจากแก๊สคาร์บอนไดออกไซด์มีค่าสัมประสิทธิ์การถ่ายโอนความร้อนสูงกว่า ในบรรยากาศแก๊สผสมทุกช่วงอุณหภูมิให้ค่าการขัดกำมะถันชัลเพตต่ำกว่าในบรรยากาศในตอรเจน การขัดกำมะถันอินทรีย์มีผลมากในช่วงอุณหภูมิสูง (700 – 800 องศาเซลเซียส) สำหรับบรรยากาศในตอรเจน และบรรยากาศแก๊สผสม นอกจากนั้นการขัดกำมะถันในถ่านหินเล้าสูงให้ค่าการขัดกำมะถันรวมต่ำกว่าในถ่านหินเล้าต่ำ

สถาบันวิทยบริการ จุฬาลงกรณ์มหาวิทยาลัย

ภาควิชา	เคมีเทคนิค	ลายมือชื่อนิสิต.....
สาขาวิชา	เคมีเทคนิค	ลายมือชื่ออาจารย์ที่ปรึกษา.....
ปีการศึกษา	2547	ลายมือชื่ออาจารย์ที่ปรึกษาร่วม.....

4672511923 : MAJOR CHEMICAL TECHNOLOGY

KEYWORD: COAL PYROLYSIS / COAL / DESULFURIZATION

UBONRAT LIMPRAPARSIRIKUL : PRODUCT DISTRIBUTION AND SULFUR BEHAVIOR DURING COAL PYROLYSIS IN VARIOUS GAS ATMOSPHERES. THESIS ADVISOR : PROF. PATTARAPAN PRASASSARAKICH, Ph.D, THESIS CO-ADVISOR : SOMKIAT NGAMPRASERTSITH, Dr. de l' INPT., 99 pp. ISBN 974-17-6797-8.

Pyrolysis desulfurization of lignite was performed in a fixed-bed reactor. The experiments were carried out to investigate the effects of temperature, reaction time, gas flow rate and gas atmospheres. The results obtained indicated that, besides coal properties, temperature is the most important factor, which affects the product distribution of pyrolysis. The total sulfur removal of lignite at 800°C and gas flow rate of 1.5 l/min in nitrogen atmosphere was 64% in which pyritic, sulfate and organic sulfur removal was 90, 89 and 50%, respectively. In nitrogen and hydrogen atmosphere and nitrogen and carbondioxide atmosphere, at 800°C and gas flow rate of 1.0 l/min the total sulfur removal was 66 and 69%, respectively. The gas mixture atmosphere gave the higher pyritic sulfur removal than nitrogen atmosphere at all temperatures due to the higher heat transfer coefficient of carbondioxide. But the gas mixture atmosphere yielded the lower sulfate sulfur removal than nitrogen atmosphere. The high temperatures (700 – 800°C) was more effected on the organic sulfur removal for nitrogen and gas mixture atmospheres. In addition, the high-ash coal exhibited the lower sulfur removal than low-ash coal.

สถาบันวิทยบริการ
จุฬาลงกรณ์มหาวิทยาลัย

Department	Chemical Technology	Student's signature.....
Field of study	Chemical Technology	Advisor's signature.....
Academic year	2004	Co-Advisor's signature.....

กิตติกรรมประกาศ

ขอกราบขอบพระคุณศาสตราจารย์ ดร. วัชพวรรณ ประสาสน์สารกิจ อาจารย์ที่ปรึกษาวิทยานิพนธ์ และรองศาสตราจารย์ ดร. สมเกียรติ งามประเสริฐสิทธิ์ อาจารย์ที่ปรึกษาวิทยานิพนธ์ ร่วม ที่ได้กรุณาให้คำปรึกษา แนะนำการทำวิจัย และให้ความเห็นเพื่อปรับปรุงแก้ไขการทำวิจัยให้มีความสมบูรณ์สำเร็จลุล่วงไปด้วยดียิ่ง รวมทั้งกรรมการสอบวิทยานิพนธ์ รองศาสตราจารย์ ดร. พราพจน์ เปี่ยมสมบูรณ์ ผู้ช่วยศาสตราจารย์ ดร. สงบทิพย์ พงศ์สถาบัน และอาจารย์ ดร. ชวัลิต งามจรัสศรีวิชัย ที่ได้ให้คำแนะนำและข้อเสนอแนะต่างๆ

งานวิจัยเรื่อง “การแจกแจงผลิตภัณฑ์และพฤติกรรมของกำลังด้านระหว่างการไฟโรไอล์ส ถ่านหินในบรรจุภัณฑ์แก๊สต่างๆ” สำเร็จลุล่วงได้ด้วยดีโดยได้รับการสนับสนุนจากโครงการพัฒนาบัณฑิตศึกษาและวิจัยด้านเชื้อเพลิงภายใต้โครงการพัฒนาบัณฑิตศึกษาด้านวิทยาศาสตร์และเทคโนโลยี ศูนย์ปิโตรเคมีและเทคโนโลยีปิโตรเคมี รวมถึงทุนบัณฑิตวิทยาลัย ซึ่งผู้จัดตั้งขอขอบพระคุณมา ณ ที่นี่

ขอขอบคุณการไฟฟ้าฝ่ายผลิตแห่งประเทศไทย (โรงไฟฟ้าแม่เมะ) ที่กรุณาอนุเคราะห์ตัวอย่างถ่านหินเพื่อใช้ในการทำวิทยานิพนธ์

ขอขอบคุณบุคลากรภาควิชาเคมีเทคนิคทุกท่าน ที่อำนวยความสะดวกในการใช้ห้องปฏิบัติการและให้คำแนะนำต่างๆ ขอขอบคุณที่ฯ เพื่อนฯ และน้องฯ ในภาควิชาเคมีเทคนิคที่ช่วยเหลือตั้งแต่เริ่มดำเนินการวิจัยและเป็นกำลังใจให้จนกระทั่งทำวิทยานิพนธ์สำเร็จลุล่วง

สุดท้ายนี้ ขอกราบขอบพระคุณบิดา มารดา ญาติพี่น้อง และผู้อุปถั�งหลังที่ได้ให้กำลังใจให้คำปรึกษา ให้ความช่วยเหลือ และให้การสนับสนุนจนสำเร็จการศึกษา

**สถาบันวิทยบรการ
จุฬาลงกรณ์มหาวิทยาลัย**

สารบัญ

หน้า

บทคัดย่อภาษาไทย.....	๔
บทคัดย่อภาษาอังกฤษ.....	๕
กิตติกรรมประกาศ.....	๖
สารบัญ.....	๗
สารบัญตราสาร.....	๘
สารบัญภาพ.....	๙

บทที่

1 บทนำ	1
2 วารสารปริทัศน์	3
2.1 ถ่านหิน.....	3
2.1.1 โครงสร้างและองค์ประกอบของถ่านหิน	3
2.1.2 การจำแนกถ่านหิน.....	6
2.2 ส่วนประกอบของถ่านหิน.....	8
2.2.1 การวิเคราะห์แบบประมาณ.....	9
2.2.2 การวิเคราะห์แบบแยกธาตุ.....	11
2.3 วิธีการพัฒนาถ่านหิน	11
2.4 การใช้ประโยชน์จากถ่านหิน	12
2.5 กำมะถันในถ่านหิน	13
2.5.1 กำมะถันอนินทรีย์.....	13
2.5.2 กำมะถันอนินทรีย์	14
2.6 การขัดกำมะถันในถ่านหิน	15
2.7 ไฟโรไลซิส	18
2.8 การขัดกำมะถันโดยไฟโรไลซิสที่คุณหมูมิตำแหน้.....	22
2.9 งานวิจัยที่เกี่ยวข้อง	25
3 เครื่องมือและวิธีการทดลอง.....	28
3.1 เครื่องมือและคุปกรณ์การทดลอง	28
3.2 ถ่านหินและสารเคมี	31

	หน้า
3.3 การดำเนินการวิจัย	31
3.4 ขั้นตอนการดำเนินการวิจัย	34
3.5 การคำนวน	35
4 ผลการทดลองและวิเคราะห์ผลการทดลอง	37
4.1 การวิเคราะห์สมบัติถ่านหินเริ่มต้น	37
4.2 ผลการออกแบบการทดลองเชิงแฟกทอเรียลในบรรยายกาศแก๊ส ในต่อเจนต่อร้อยละการขาดกำมะถันออกจากถ่านหินแม่เมะ 1	39
4.3 ไฟโรไอลซิสในบรรยายกาศแก๊สในต่อเจน	46
4.3.1 ผลของอุณหภูมิเตาเผา	46
4.3.2 ผลของเวลาไฟโรไอลซิส	50
4.3.3 ผลของอัตราการไฟลแก๊ส	53
4.4 ไฟโรไอลซิสในบรรยายกาศแก๊สต่างๆ	56
4.4.1 ผลของบรรยายกาศแก๊สผสมในต่อเจนและไฮโดรเจน	56
4.4.2 ผลของบรรยายกาศแก๊สผสมในต่อเจนและคาร์บอนไดออกไซด์	59
4.4.3 การเปรียบเทียบผลวิเคราะห์ถ่านหินในบรรยายกาศแก๊สต่างๆ	62
4.5 ผลของชนิดถ่านหินในบรรยายกาศแก๊สต่างๆ	64
4.6 การเปรียบเทียบร้อยละการขาดกำมะถันรวม	67
4.7 ผลการวิเคราะห์ถ่านหินด้วยเครื่อง FT-IR	68
4.8 องค์ประกอบผลิตภัณฑ์แก๊ส	70
5 สรุปผลการทดลองและข้อเสนอแนะ	71
5.1 สรุปผลการทดลอง	71
5.2 ข้อเสนอแนะ	73
รายการอ้างอิง	74
ภาคผนวก	77
ภาคผนวก ก ตัวอย่างการคำนวน	78
ภาคผนวก ข การวิเคราะห์สมบัติถ่านหิน	80
ภาคผนวก ค ตัวอย่างการคำนวนสมบัติของถ่านหินแม่เมะ	91

	หน้า
ภาคผนวก ๕ การวิเคราะห์ผลภัณฑ์ของแข็งด้วย FT - IR	95
ภาคผนวก ๖ การวิเคราะห์ความเข้มข้นของเหล็กด้วย AAS.....	97
ภาคผนวก ๗ การวิเคราะห์ผลิตภัณฑ์แก๊สโดยแก๊สโคลโนทกราฟ.....	98
ประวัติผู้เขียนวิทยานิพนธ์.....	99

สถาบันวิทยบริการ จุฬาลงกรณ์มหาวิทยาลัย

สารบัญตาราง

ตาราง	หน้า
2.1 การจำแนกถ่านหินตามมาตรฐานของสหรัฐอเมริกา	6
2.2 ปฏิกิริยาที่อาจเกิดขึ้นของกำมะถันอินทรีย์ระหว่างไฟโรไลซิสถ่านหิน.....	23
2.3 ปฏิกิริยาที่อาจเกิดขึ้นของกำมะถันอินทรีย์ระหว่างไฟโรไลซิสถ่านหิน	24
3.1 ตัวแปรและระดับของตัวแปรที่ทำการศึกษา.....	32
4.1 สมบัติของถ่านหินแม่เม้าะ.....	38
4.2 ผลการทดลองจากภาวะการทดลองเชิงแฟกทอเรียลทอยี่ลภายใต้บรรยากาศแก๊สในไตรเจน.....	39
4.3 การวิเคราะห์ Factor effect estimate และ SS ของร้อยละการขัดกำมะถันรวมของถ่านหินจากการกระบวนการไฟโรไลซิสถ่านหินในบรรยากาศแก๊สในไตรเจน.....	42
4.4 การวิเคราะห์ความแปรปรวนของร้อยละการขัดกำมะถันรวมของถ่านหินจากการกระบวนการไฟโรไลซิสถ่านหินในบรรยากาศแก๊สในไตรเจน	42
4.5 ร้อยละการขัดกำมะถันรวมของถ่านหินที่ได้จากการทดลองและการคำนวณ และส่วนตกค้าง.....	43
4.6 การวิเคราะห์ Factor effect estimate และ SS ของร้อยละการเปลี่ยนถ่านหินจากการกระบวนการไฟโรไลซิสถ่านหินในบรรยากาศแก๊สในไตรเจน.....	44
4.7 การวิเคราะห์ความแปรปรวนของร้อยละการเปลี่ยนถ่านหินจากการกระบวนการไฟโรไลซิสถ่านหินในบรรยากาศแก๊สในไตรเจน	44
4.8 ร้อยละการเปลี่ยนถ่านหินที่ได้จากการทดลองและการคำนวณ และส่วนตกค้าง.....	45
4.9 ผลของอุณหภูมิไฟโรไลซิสต่อปริมาณกำมะถันและร้อยละการขัดกำมะถันในบรรยากาศแก๊สในไตรเจน.....	48
4.10 ผลของเวลาไฟโรไลซิสถ่านหินต่อปริมาณกำมะถันและร้อยละการขัดกำมะถันในบรรยากาศแก๊สในไตรเจน.....	51
4.11 ผลของอัตราการไฟลแก๊สต่อปริมาณกำมะถันและร้อยละการขัดกำมะถันในบรรยากาศแก๊สในไตรเจน.....	54
4.12 ผลของอุณหภูมิไฟโรไลซิสต่อปริมาณกำมะถันและร้อยละการขัดกำมะถันในบรรยากาศแก๊สผสมในไตรเจนและไฮโดรเจน	57

ตาราง	หน้า
4.13 ผลของอุณหภูมิไฟโรไลซิสต่อปริมาณกำมะถันและร้อยละการขัดกำมะถันใน บรรยากาศแก๊สผสมในตัวเจนและควรบอนไดออกไซด์	60
4.14 ผลของชนิดถ่านหินไฟโรไลส์ในบรรยากาศของแก๊สต่างๆ	65
4.15 การเปรียบเทียบร้อยละการขัดกำมะถันที่ได้จากการวิจัยอื่นๆ กับงานวิจัยนี้	67
4.16 ผลการวิเคราะห์องค์ประกอบแก๊สผลิตภัณฑ์จากการไฟโรไลส์ถ่านหินใน บรรยากาศแก๊สในตัวเจน	70
ฉบับ ¹ ข้อมูลและการของเครื่องแก๊สโครงมาโทกราฟ	98

สถาบันวิทยบริการ จุฬาลงกรณ์มหาวิทยาลัย

สารบัญภาพ

หน้า

ภาพประกอบ	
-----------	--

2.1	โครงสร้างของถ่านหิน	4
2.2	โมเลกุลสมมติของถ่านหิน	5
2.3	โครงสร้างบางส่วนของลิกไนต์	7
2.4	โครงสร้างบางส่วนของซับบิทูมินัส	7
2.5	โครงสร้างบางส่วนของบิทูมินัส	8
2.6	โครงสร้างบางส่วนของแอนตราไซต์	8
2.7	กระบวนการเผาไหม้ถ่านหิน	19
2.8	สมมติฐานการแตกออกของโมเลกุลถ่านหินระหว่างไฟโรไอลชิส	19
2.9	ขั้นตอนในกระบวนการไฟโรไอลชิส	20
2.10	ขั้นตอนในกระบวนการไฮโดรไฟโรไอลชิส	21
3.1	อุปกรณ์กระบวนการไฟโรไอลชิสถ่านหิน	29
3.2	เตาเผาแบบท่อ	30
3.3	เครื่องปฏิกรณ์แบบเบดning	30
3.4	ขั้นตอนการทดลองกระบวนการไฟโรไอลชิส	33
4.1	Normal Probability Plot ของร้อยละการขาดกำมะถันรวมของถ่านหิน	42
4.2ก	กราฟความน่าจะเป็นของส่วนตกค้าง	43
4.2ข	กราฟระหว่างส่วนตกค้างกับค่าการทำนาย	43
4.3	Normal Probability Plot ของร้อยละการเปลี่ยนถ่านหิน	44
4.4ก	กราฟความน่าจะเป็นของส่วนตกค้าง	45
4.4ข	กราฟระหว่างส่วนตกค้างกับค่าการทำนาย	45
4.5ก	ผลของอุณหภูมิต่อองค์ประกอบผลิตภัณฑ์	49
4.5ข	ผลของอุณหภูมิต่อสมบัติถ่านชาร์	49
4.5ค	ผลของอุณหภูมิต่อร้อยละการเปลี่ยนถ่านหินและร้อยละการขาดกำมะถันรวม	49
4.5ง	ผลของอุณหภูมิต่อร้อยละการขาดกำมะถันรูปแบบต่างๆ ได้แก่ไฟโรต์ ชัลเฟต และอินทรีย์	49
4.6ก	ผลของเวลาต่อองค์ประกอบผลิตภัณฑ์	52
4.6ข	ผลของเวลาต่อสมบัติถ่านชาร์	52

ภาคประกอบ	หน้า
-----------	------

4.6ก ผลของเวลาต่อร้อยละการเปลี่ยนถ่านหินและร้อยละการขจัดกำมะถันรวม.....52 4.6ง ผลของเวลาต่อร้อยละการขจัดกำมะถันรูปแบบต่างๆ ได้แก่ ไฟโอล์ฟ ชัลเฟต และอินทรีย์52 4.7ก ผลของอัตราการไฟลแก๊สต่อองค์ประกอบผลิตภัณฑ์55 4.7ง ผลของอัตราการไฟลแก๊สต่อสมบัติถ่านชาร์55 4.7ค ผลของอัตราการไฟลแก๊สต่อร้อยละการเปลี่ยนถ่านหินและร้อยละการขจัด กำมะถันรวม55 4.7ง ผลของอัตราการไฟลแก๊สต่อร้อยละการขจัดกำมะถันรูปแบบต่างๆ ได้แก่ ไฟโอล์ฟ ชัลเฟต และอินทรีย์55 4.8ก ผลของอุณหภูมิต่อองค์ประกอบผลิตภัณฑ์58 4.8ง ผลของอุณหภูมิต่อสมบัติถ่านชาร์58 4.8ค ผลของอุณหภูมิต่อร้อยละการเปลี่ยนถ่านหินและร้อยละการขจัดกำมะถันรวม58 4.8ง ผลของอุณหภูมิต่อร้อยละการขจัดกำมะถันรูปแบบต่างๆ ได้แก่ ไฟโอล์ฟ ชัลเฟต และอินทรีย์58 4.9ก ผลของอุณหภูมิต่อองค์ประกอบผลิตภัณฑ์61 4.9ง ผลของอุณหภูมิต่อสมบัติถ่านชาร์61 4.9ค ผลของอุณหภูมิต่อร้อยละการเปลี่ยนถ่านหินและร้อยละการขจัดกำมะถันรวม61 4.9ง ผลของอุณหภูมิต่อร้อยละการขจัดกำมะถันรูปแบบต่างๆ ได้แก่ ไฟโอล์ฟ ชัลเฟต และอินทรีย์61 4.10ก ผลของอุณหภูมิต่อร้อยละการขจัดกำมะถันรวม63 4.10ง ผลของอุณหภูมิต่อร้อยละการขจัดกำมะถันไฟโอล์ฟ63 4.10ค ผลของอุณหภูมิต่อร้อยละการขจัดกำมะถันชัลเฟต63 4.10ง ผลของอุณหภูมิต่อร้อยละร้อยละการขจัดกำมะถันอินทรีย์63 4.11ก ผลของชนิดถ่านหินต่อร้อยละการขจัดกำมะถันรวม66 4.11ง ผลของชนิดถ่านหินต่อร้อยละการขจัดกำมะถันไฟโอล์ฟ66 4.11ค ผลของชนิดถ่านหินต่อร้อยละการขจัดกำมะถันชัลเฟต66 4.11ง ผลของชนิดถ่านหินต่อร้อยละร้อยละการขจัดกำมะถันอินทรีย์66	หน้า
--	------

ภาพประกอบ	หน้า
4.12 FT-IR สเปกตรัมของถ่านหินลิกไนต์ดิบและถ่านชาร์.....	69
ง1 ตัวอย่างอินฟราเรดสเปกตรัมของ Background	96
จ1 ลักษณะของ Calibration curve	97



สถาบันวิทยบริการ จุฬาลงกรณ์มหาวิทยาลัย

บทที่ 1

บทนำ

1.1 ความเป็นมาและความสำคัญของงานวิจัย

ถ่านหินจัดเป็นแหล่งพลังงานที่สำคัญแหล่งหนึ่งเนื่องจากมีราคาถูกและบริมาณสำรองสูง ในปัจจุบันมีการนำถ่านหินมาใช้มากกว่าร้อยละ 35 ของการใช้พลังงานทั้งหมด แต่เนื่องจากถ่านหินในประเทศไทยเป็นถ่านหินลิกไนต์ที่มีคุณภาพต่ำ สาเหตุมาจากการมีค่าความร้อนต่ำ มีปริมาณเส้าและกำมะถันสูง เมื่อผ่านกระบวนการเผาไหม้มีจึงก่อให้เกิดมลพิษทางสิ่งแวดล้อมและสร้างปัญหาในด้านการกัดกร่อน โดยเฉพาะฝนกรดที่เกิดจากแก๊สซัลเฟอร์ไดออกไซด์ (SO_2) ที่ปลดปล่อยออกมาระหว่างการเผาไหม้ถ่านหิน ดังนั้นการทำความสะอาดถ่านหินโดยการขจัดกำมะถันออกจากถ่านหินจึงมีความจำเป็นเพื่อให้ถ่านหินมีสมบัติที่ดีขึ้น และช่วยลดมลพิษทางอากาศ

ด้วยเหตุนี้จึงมีการศึกษาเพื่อพัฒนากลวานกรรมการขจัดกำมะถันออกจากถ่านหินหรือจากแก๊สที่เกิดจากการเผาไหม้ถ่านหิน ปัจจุบันเทคโนโลยีที่นิยมใช้กันอย่างกว้างขวางในโรงงานอุตสาหกรรมและโรงไฟฟ้า คือกระบวนการขจัดกำมะถันจากฟลูแก๊สที่เกิดจากการเผาไหม้ (Flue Gas Desulfurization, FGD) โดยใช้ปูนขาว (Lime, CaO) หรือหินปูน (Limestone, CaCO_3) ดูดซับแก๊สซัลเฟอร์ไดออกไซด์ อย่างไรก็ได้เทคนิคดังกล่าวต้องใช้ทุนในการก่อสร้างและการดำเนินการสูงมาก และต้องจัดเก็บของเสียในอุปของ เช่นที่เกิดขึ้นด้วย

กระบวนการไฟโรไอลซิส (Pyrolysis) เป็นกระบวนการที่ใช้ในการขจัดกำมะถันที่นำเสนอในนี้และมีการศึกษากันอย่างกว้างขวาง กระบวนการไฟโรไอลซิส คือ การสลายตัวทางความร้อน (Thermal Decomposition) หรือการกลั่นสลายตัว (Destructive Distillation) ในที่จำกัด อาจอาศัยความคุมบรรยายกาศ กระบวนการไฟโรไอลซิสเป็นกระบวนการเปลี่ยนแปลงขั้นต้นของกระบวนการเผาไหม้ กระบวนการแกลิฟิเคชัน (Gasification) และกระบวนการเปลี่ยนแปลงขั้นต้นของเหลว (Liquefaction) และเป็นกระบวนการที่ง่าย มีประสิทธิภาพในการทำความสะอาดถ่านหิน เมื่อถ่านหินผ่านกระบวนการไฟโรไอลซิส สารประกอบกำมะถันที่อยู่ในถ่านหินเกิดการสลายตัวและมีปริมาณลดลง กำมะถันเกือบทั้งหมดเปลี่ยนไปอยู่ในอุปของแก๊สไฮโดรเจนซัลไฟด์ กำมะถันอินทรีย์ซึ่งไม่สามารถขจัดได้โดยการล้างหรือทำความสะอาดด้วยกรดถูกไล่ออกจากโครงสร้างถ่านหินด้วยกระบวนการไฟโรไอลซิส กระบวนการไฟโรไอลซิสทำให้ได้ผลิตภัณฑ์ถ่านชาร์ที่มีปริมาณ

กำหนด์ งานวิจัยนี้เป็นการศึกษากระบวนการไฟโรไลซิสของถ่านหินแม่เม้าเพื่อศึกษาผลของอุณหภูมิ เวลา อัตราการไอลแก๊ส ต่อการเจกเจงผลิตภัณฑ์และพฤติกรรมของกำมะถันที่บรรยายกาศแก๊สต่างๆ ได้แก่ แก๊สในเตราเจน แก๊สผสมในเตราเจนและไฮเตราเจน และแก๊สผสมในเตราเจนและคาร์บอนไดออกไซด์

1.2 วัตถุประสงค์ของงานวิจัย

1. ศึกษากระบวนการไฟโรไลซิส และศึกษาผลของอุณหภูมิ เวลา อัตราการไอลแก๊ส ต่อการเจกเจงผลิตภัณฑ์และพฤติกรรมของกำมะถัน
2. ศึกษากระบวนการไฟโรไลซิสถ่านหินในบรรยายกาศแก๊สต่างๆ

1.3 ประโยชน์ที่คาดว่าจะได้รับ

1. ได้ถ่านหินกำมะถันต์จากกระบวนการไฟโรไลซิสถ่านหิน
2. ได้ผลิตภัณฑ์เป็นเชื้อเพลิงและสารตั้งต้นของอุตสาหกรรมปิโตรเคมี

สถาบันวิทยบริการ
จุฬาลงกรณ์มหาวิทยาลัย

บทที่ 2

สารสารปฏิทัศน์

2.1 ถ่านหิน (Coal)

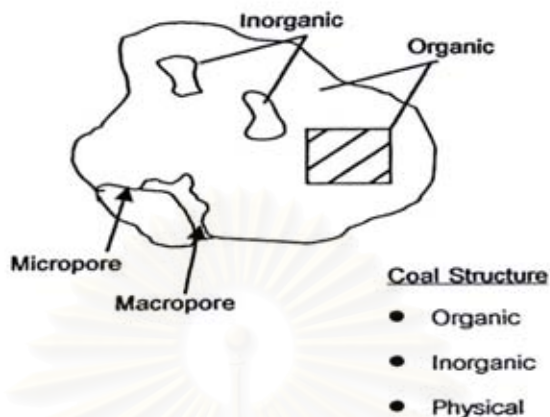
ถ่านหินเป็นเชื้อเพลิงแข็งชนิดหนึ่งที่เกิดขึ้นเองตามธรรมชาติ มีการตั้งสมมติฐานว่าถ่านหินเกิดจากการทับถมของซากพืช พรรณไม้ สิ่งมีชีวิต ชิ้นส่วนของพืช (Vegetable materials) ที่ถูกพัดมา หรือดินโคลนที่มีอินทรีย์ตๆ (Organic materials) ถูกทับถมอยู่ภายใต้พื้นดินที่มีความกดดันและความร้อนสูงเป็นเวลาหลายล้านปี แล้วเกิดปฏิกิริยาทางเคมี พิสิกส์ และทางชีวิทยาจนกระทั่งเกิดแรงกดดัน บีบอัดเรียงตัวเป็นชั้นๆ แปรสภาพเป็นชั้นของถ่านหิน โดยมีธาตุที่เป็นองค์ประกอบสำคัญคือ คาร์บอน ไฮโดรเจน และอาจมีธาตุอื่นเจือปนบ้าง เช่น ออกซิเจน ไนโตรเจน เป็นต้น

ถ่านหินที่มีอายุมากมีลักษณะเนื้อแน่น สีดำ ปริมาณธาตุคาร์บอนในถ่านหินทำให้ค่าความร้อนทางเชื้อเพลิงสูง ถ่านหินชนิดเดียวกันแต่มีแหล่งกำเนิดต่างกัน อาจมีค่าความร้อนทางเชื้อเพลิงไม่เท่ากันได้ ทั้งนี้ขึ้นกับปริมาณคาร์บอนและไฮโดรเจนและค่าความชื้นของถ่านหินนั่นๆ

2.1.1 โครงสร้างและองค์ประกอบของถ่านหิน [1,2]

ถ่านหินโดยทั่วไปมีองค์ประกอบหลักคือ คาร์บอน เป็นธาตุที่เป็นองค์ประกอบมากที่สุด และอยู่เป็นโครงสร้างในโมเลกุลของถ่านหินที่เป็นส่วนอินทรีย์ (Organic coal matrix) ซึ่งเป็นส่วนของถ่านหินที่ให้พลังงาน นอกจากนี้ยังมีองค์ประกอบที่เป็นไฮโดรเจน ออกซิเจน ไนโตรเจน และภัณฑ์ เป็นองค์ประกอบอยู่เล็กน้อย เรียกว่า Maceral matter และยังมีธาตุอื่น ๆ ที่รวมเป็นสารประกอบอนินทรีย์แทรกอยู่ในเนื้อถ่านหินหรือรวมตัวเป็นก้อนอย่างเห็นได้ชัด ซึ่งเรียกว่า Mineral matter (Crystalline inorganic compound) อยู่ระหว่างจัดกระจาดทั่วไปในเนื้อถ่านหิน เมื่อนำถ่านหินมาใช้เป็นเชื้อเพลิงสารประกอบอินทรีย์เกิดการเผาไหม้และให้ความร้อน เกิดผลิตภัณฑ์ที่เป็นแก๊ส ส่วนที่เหลือจากการเผาไหม้คือเถ้า (Ash) ซึ่งเป็นส่วนของสารประกอบแร่ธาตุ แต่ส่วนประกอบของแร่ธาตุบางส่วนเมื่อเกิดการเผาไหม้ไม่เกิดเป็นเถ้า เช่น ที่อุณหภูมิสูง ๆ ภัณฑ์ไฟไวต์ถูกออกอิกซ์ไดร์ และถลวยตัวให้แก๊สซัลเฟอร์ไดออกไซด์ ส่วนคาร์บอนต์ถลวยตัวให้แก๊สคาร์บอนไดออกไซด์ ส่วนเหล็กถูกเปลี่ยนสภาพให้อยู่ในรูปของสารประกอบออกไซด์ของเหล็ก

ซึ่งเป็นส่วนประกอบของเก้า โครงสร้างโมเลกุลของถ่านหินแบ่งออกเป็น 2 ส่วนตามสมบัติเคมี คือ ส่วนโครงสร้างอินทรีย์ (Organic structure) และส่วนที่เป็นองค์ประกอบแปรรูปตามรูปที่ 2.1



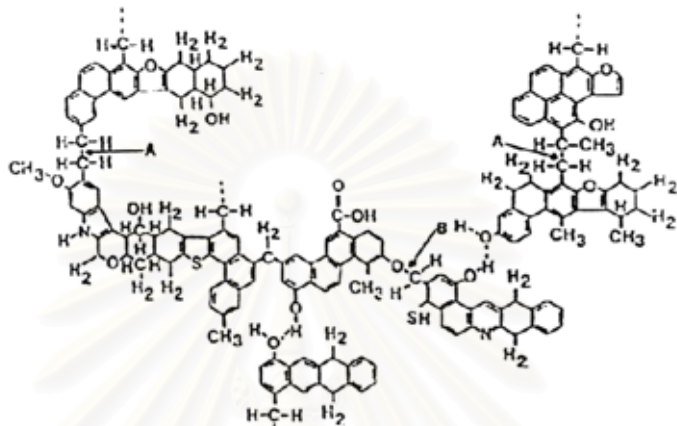
รูปที่ 2.1 โครงสร้างของถ่านหิน [1]

1) โครงสร้างอินทรีย์

โครงสร้างทางเคมีของถ่านหินประกอบด้วยคาร์บอน ไฮโดรเจน อออกซิเจน และมีปริมาณของกำมะถันและไนโตรเจนเป็นส่วนน้อย เมื่อคิดจากพื้นฐานของอัตราส่วนโดยน้ำหนักของอะตอมธาตุ (Atomic ratio) พบร่วมกับไฮโดรเจนเป็นส่วนประกอบที่สำคัญในโครงสร้างถ่านหินซึ่งเมื่อศักดิ์ของถ่านหินสูงขึ้น อัตราส่วนโดยน้ำหนักของอะตอมไฮโดรเจนต่อคาร์บอนและอออกซิเจนต่อคาร์บอนมีค่าลดลง ส่วนกำมะถันและไนโตรเจนมีน้อยมากจนคิดว่าไม่มีส่วนสำคัญ

จากการศึกษาสารประกอบอินทรีย์ในโครงสร้างของถ่านหินโดยใช้ Spectroscopy chromatography เพื่อศึกษาโครงสร้างทางเคมีของถ่านหินหรือสูตรโมเลกุลของถ่านหินนั้น ยังไม่เป็นที่ทราบแน่นอน ทั้งๆ ที่มนุษย์จัดการถ่านหินมาใช้ประโยชน์ในรูปแบบต่างๆ มาเป็นเวลานาน แต่พอจะทราบว่าโครงสร้างทางเคมีของถ่านหินประกอบด้วยกลุ่มโมเลกุลวงแหวนและอะโรเมติก (Aromatics) และไฮโดรแอโรเมติก (Hydroaromatics) เกาะอยู่ด้วยเป็นกลุ่มๆ แต่ละกลุ่มอาจเชื่อมกันอยู่ด้วยแขนของโมเลกุลอะลิฟติก (Aliphatic) ที่อ่อนแอ ภายใต้กลุ่มแต่ละกลุ่มยังมีวงแหวนที่มีอะตอมของธาตุออกซิเจนหรือกำมะถันหรือในไนโตรเจนประกอบอยู่กับคาร์บอน รวมทั้งกลุ่มที่ทำหน้าที่ความเป็นกรด – เปส อีเทอร์ และอื่นๆ หมุนพังค์ชันซึ่งแทนด้วยไฮโดรเจนในวงแหวน เช่น ไฮดรอกซี คาร์บօกซี อะมิโน และไทดอลส์ ดังแสดงเป็นโมเลกุลสมมติในรูปที่ 2.2 ซึ่งโครงสร้างของสารประกอบอินทรีย์ต่างๆ เชื่อมโยงด้วยพันธะเคมีเป็นพอลิเมอร์เชื่อมขวาง (Crosslinked polymer) และมีบางส่วนที่ไม่เป็นโครงสร้างพอลิเมอร์ จากการวัดความสามารถของ

การเป็นผลึก (Crystallinity) ของถ่านหินโดยใช้ X-ray scattering technique พบร้า เมื่อศักดิ์ของถ่านหินสูงขึ้น วงแหวนแอโรเมติกเชื่อมกันมากขึ้นและผลึกมีลักษณะคล้ายแก้วไฟต์ และเมื่อไม่เกิดข่องถ่านหินได้รับความร้อน เกิดการลายตัว ซึ่งปัจจัยที่สำคัญคือ จำนวนไฮโดรเจนที่มีอยู่ในโมเลกุลวงแหวนไฮโดรแอโรเมติก และแขนอะลิฟติก ซึ่งแตกตัวออกง่ายที่สุด ทำให้กลุ่มโมเลกุลวงแหวนแตกออกเป็นกลุ่มๆ จำนวนมาก



รูปที่ 2.2 ไม่เกิดสมมติของถ่านหิน [2]

2) ส่วนประกอบที่เป็นแร่ธาตุ

สารประกอบแร่ธาตุที่พบมากที่สุดในถ่านหินคือ ซิลิคอน นอกจากนี้ยังประกอบด้วยอะลูมิเนียม เหล็ก แคลเซียม แมกนีเซียม โซเดียม และโพแทสเซียม รวมตัวกันเป็นสารประกอบ หรือ รวมตัวกับอะตอมของธาตุอื่นๆ เกิดเป็นสารประกอบต่างๆ ซึ่งสามารถแบ่งกลุ่มของสารประกอบได้คือ

1. กลุ่มคาร์บอเนต (Carbonate) เช่น แคลไซต์ (Calcite) โดโลไมต์ (Dolomite) และแอนเคอร์ไට์ (Ankerite) เป็นต้น
2. กลุ่มซัลไฟต์ (Sulfide) ที่พบมากคือ มาრ์คาไซต์ (Marcasite) และไไฟเรต์ (Pyrite)
3. กลุ่มซัลเฟต (Sulfate) เป็นแร่ธาตุที่พบหลังจากการเกิดออกซิเดชันของไไฟเรต์ ได้แก่ ยิปซัม (Gypsum) และแอนไฮไดรต์ (Anhydrite) เป็นต้น
4. กลุ่มซิลิเกต (Silicate) หรือ กลุ่มอะลูมิโนซิลิเกต (Aluminosilicate) หรือดินเหนียว (Clay) ซึ่งเป็นหมุ่แร่ธาตุที่มีมากที่สุดในถ่านหิน เช่น อิลลิต (Illite) และเคลโอลิไนต์ (Kaolinite) เป็นต้น
5. แร่ธาตุอื่นๆ เช่น ควอตซ์ (Quartz) และเฟลเดอร์สปาร์ (Feldspar) เป็นต้น

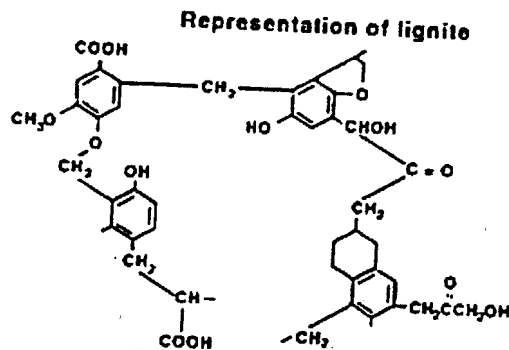
2.1.2 การจำแนกถ่านหิน [3,4,5]

ถ่านหินแบ่งออกเป็นชนิดต่างๆตามศักดิ์ของถ่านหินที่ได้จากการเปลี่ยนแปลงที่เกิดขึ้น คือ ลิกไนต์ (Lignite) ชับบิตูมินัส (Subbituminous) บิตูมินัส (Bituminous) และแอนแทรคิท (Anthracite) ดังแสดงไว้ในตารางที่ 2.1 ตาม ASTM, D388-92A (American Society for testing and Materials)

ตารางที่ 2.1 การจำแนกถ่านหินตามมาตรฐานของสหรัฐอเมริกา [5]

Class	Group	Fixed Carbon Limited, percent (Dry, mineral Matter -Free Basis)		Volatile Matter Limits percent (Dry, mineral Matter -Free Basis)		Calorific Value Limits Btu /pound (moisture, mineral Matter -Free Basis)		Agglomerating Character
		Equal or Greater Than	Less than	Greater than	Equal or less Than	Equal or Greater Than	Less than	
1. Anthracite	1. Meta anthracite	98	2	nonagglomerating
	2. Anthracite	92	98	2	8	
	3. Semianthracite	86	92	8	14	
2 Bituminous	1. Low volatile bituminous coal	78	86	14	22	commonly agglomerating
	2. Medium volatile bituminous coal	69	78	22	31	
	3. High volatile A bituminous coal	...	69	31	...	14000	...	
	4. High volatile B bituminous coal	13000	14000	
	5. High volatile C bituminous coal	11500	13000	
						10500	11500	agglomerating
3. Subbituminous	1. Subbituminous A coals	10500	11500	nonagglomerating
	2. Subbituminous B coals	9500	10500	
	3. Subbituminous C coals	8300	9500	
4. Lignite	1. Lignite A	6300	8300	nonagglomerating
	2. Lignite B	6300	

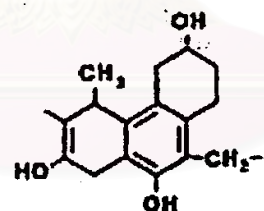
- ลิกไนต์ (Lignite) มีรากศัพท์มาจากภาษาลาติน Lignum ซึ่งหมายถึง ไม้ถ่านหิน ลิกไนต์มีความเป็นถ่านหินน้ำอยู่ที่สุด มีคุณภาพต่ำที่สุด จัดเป็นถ่านหินอ่อน (Soft coal) จึงมีร่องรอยของเนื้อไม้ มีสีน้ำตาล มีความชื้นและสารระเหยสูง มีปริมาณออกซิเจนค่อนข้างสูง มีค่าความร้อนต่ำใกล้กับเชลลูลอส โครงสร้างเป็นแผ่น โครงสร้างบางส่วนของลิกไนต์ ดังแสดงในรูป 2.3



รูปที่ 2.3 โครงสร้างบางส่วนของลิกไนต์ [6]

2. ชั้บบิทูมินัส (Subbituminous) เป็นถ่านหินศักดิ์สูงถัดจากลิกไนต์ บางที่เรียกว่า ลิกไนต์ดำ (Black lignite) มีลักษณะผิวน้ำเงินไม่เห็นเป็นชั้น สีน้ำตาลคล้ำยื่ื้ี้ผึ้ง โดยทั่วไปให้ค่าความร้อนประมาณ $8300 - 11500$ บีทียู/ปอนด์ มีความชื้นสูงคือประมาณ $15 - 30\%$ และมีปริมาณถ้าสูงด้วย แต่เนื่องจากมีสมบัติจุดไฟติดง่าย และไม่เยิ่มเกราะเป็นก้อน จึงเป็นที่นิยมใช้เป็นเชื้อเพลิงในระบบเผาใหม่ขนาดใหญ่ โครงสร้างบางส่วนของชั้บบิทูมินัส ดังแสดงในรูป 2.4

Representation of sub-bituminous



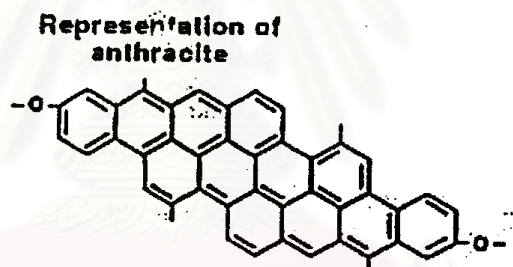
รูปที่ 2.4 โครงสร้างบางส่วนของชั้บบิทูมินัส [6]

3. บิทูมินัส (Bituminous) เป็นถ่านหินศักดิ์สูงขึ้น มีความเป็นถ่านหินมากขึ้น จัดเป็นถ่านหินแข็งชนิดหนึ่ง มีความเป็นมันวาวมากขึ้น เนื้อแน่นไม่ป่วยภูเป็นชั้นของเนื้อไม้ แต่ยังคงมีปริมาณสารระเหยสูงทำให้เผาใหม่ได้ดี ให้ความร้อนสูง ใช้เวลาในการแปรสภาพค่อนข้างยาวนาน และเป็นวัตถุดีที่ดีในการผลิตเชื้อเพลิงสังเคราะห์ทั้งแก๊สและของเหลว ถ่านหินบิทูมินัสบางกลุ่มมีสมบัติการเยิ่มเกราะเป็นก้อนเมื่อให้ความร้อนที่เหมาะสมที่จะนำไปผลิตถ่านโค้กคุณภาพดีที่ใช้ถุงเหล็กและโลหะอื่นๆ โครงสร้างบางส่วนของบิทูมินัส ดังแสดงในรูปที่ 2.5



รูปที่ 2.5 โครงสร้างบางส่วนของบิทูมินัส [6]

4. แอนතราไซต์ (Antracite) เป็นถ่านหินศักดิ์สูงที่สุด มีความแข็งเปราะ มีสีดำเป็นเนื้อเดียวกัน มีปริมาณคาร์บอนสูงใกล้เคียงกับกราไฟต์ และมีความชื้นและสารระเหยต่ำ ถึงแม้จะมีคุณภาพดีแต่ติดไฟได้ยากและอัตราการเผาไหม้ช้าจึงไม่นิยมใช้เป็นเชื้อเพลิงโดยตรง แต่นำมาใช้ในการถุงโลหะมากกว่า โครงสร้างบางส่วนของแอนතราไซต์ ดังแสดงในรูปที่ 2.6



รูปที่ 2.6 โครงสร้างบางส่วนของแอนතราไซต์ [6]

จากโครงสร้างของถ่านหินพบว่าเมื่อถ่านหินมีศักดิ์สูงขึ้น มีปริมาณคาร์บอนที่สูงขึ้น สัดส่วนไออกไซเจนต่อการ์บอนลดลง คุณลักษณะความเป็นอะโรมาติกเพิ่มขึ้น และมีสัดส่วนของสารระเหย (Volatile fraction) ลดลง

2.2 ส่วนประกอบของถ่านหิน

ส่วนประกอบของถ่านหินสามารถเสนอได้ 2 รูปแบบ คือ ผลการวิเคราะห์แบบประมาณ (Proximate analysis) และผลการวิเคราะห์แบบแยกธาตุ (Ultimate analysis) ในหน่วยร้อยละ โดยน้ำหนัก โดยที่การวิเคราะห์แบบประมาณคือ การหาความชื้น (Moisture) สารระเหย (Volatile

matter) คาร์บอนคงตัว (Fixed carbon) และเก้า (Ash) ส่วนการวิเคราะห์แบบแยกธาตุเป็นการบวกค่าของเก้า คาร์บอน ไฮโดรเจน ในต่อเนื่อง กำมะถัน และออกซิเจน

2.2.1 การวิเคราะห์แบบประมาณ (Proximate analysis)

การวิเคราะห์แบบประมาณ เป็นการวิเคราะห์กลุ่มของประกอบในถ่านหินออกเป็นความชื้น เก้า สารระเหยและคาร์บอนคงตัว ความชื้นและเก้าเป็นส่วนสารประกอบอินทรีย์ที่เหลือปนมากับเนื้อถ่านหิน ส่วนสารประกอบอินทรีย์ประกอบด้วยสารระเหยและคาร์บอนคงตัว มักนิยมเรียกสองส่วนนี้รวมกันว่า ส่วนที่เผาไหม้ได้ (Combustibles)

1. ความชื้น (Moisture)

ถ่านหินที่มีอายุน้อยที่สุดมีความชื้นมาก เมื่ออายุมากขึ้นแรงดันต่างๆบนผิวโลกที่กดทับลงบนแนวนถ่านหินและความร้อนทำให้ความชื้นลดลง ความชื้นในถ่านหินมี 2 แบบ คือ

- ก. ความชื้นที่ติดแน่นอยู่ในถ่านหิน (Inherent moisture) เกิดจากสมบัติของถ่านหิน การดูดความชื้นเข้าไปในเนื้อถ่านหินเป็นปริมาณมากหรือน้อยขึ้นกับอายุของถ่านหิน อุณหภูมิและความชื้น ณ แหล่งกำเนิด
- ข. ความชื้นอิสระ (Free or accidental moisture) เป็นความชื้นที่ถ่านหินดูดได้ที่ผิวซึ่งจะสูญเสียไปเมื่อทิ้งไว้ในอากาศ

ความชื้นมีผลต่อถ่านหินในแง่ต่างๆ คือ ทำให้ถ่านหินมีน้ำหนักมากขึ้น สิ้นเปลืองค่าขนส่ง เมื่อนำถ่านหินมาเผาไหม้ ความชื้นจะระเหยกล่ายเป็นไอโดยดึงความร้อนให้สูญเสียไปกับฟลูแก๊ส ในรูปของความร้อนที่ทำให้อุณหภูมิเพิ่ม (Sensible heat) และค่าความร้อนแห่งของการกล่ายเป็นไอ (Latent heat) แต่มีข้อดี คือ เมื่อความชื้นระเหยไป เนื้อถ่านหินจะมีความพูน ทำให้อากาศแทรกผ่านเข้าไปทำปฏิกิริยาได้ดี

ค่าความชื้นหาได้จากน้ำหนักที่สูญเสียไปหลังจากการอบถ่านหินบดละเอียดจนผ่านตะแกรง ขนาด 250 ไมโครเมตร ภายในตัวที่กำหนดที่อุณหภูมิ 105-110 องศาเซลเซียส เป็นเวลา 1 ชั่วโมง น้ำส่วนที่เป็นความชื้น (Inherent moisture) จะระเหยออกมาก ส่วนน้ำที่เป็นส่วนประกอบทั้งอินทรีย์และอินทรีย์ (Coherent moisture) ยังคงอยู่ในถ่านหิน

2. เก้า (Ash)

เก้า คือ ส่วนที่เหลือของสารอนินทรีย์ภายหลังจากการเผาไหม้ สารอนินทรีย์ในถ่านหิน แบ่งได้เป็น 2 ประเภท คือ

- ก. ratio ที่จำเป็นต่อการเจริญเติบโตของพืชถูกทับถมพร้อมซากอินทรีย์ และปรากวีเป็นองค์ประกอบในถ่านหินด้วย เช่น ออกไซด์ของโพแทสเซียม โซเดียม แมกนีเซียม แคลเซียม และซิลิกอน เป็นต้น
- ข. สารอนินทรีย์ที่ทับถมลงบนแนวของถ่านหินขณะที่กำลังเกิดการสะสมตัว ได้แก่ ยิปซัม กำมะถันไฟไรต์ หินดินดาน และดิน เป็นต้น

โดยทั่วไปพบว่าสารอนินทรีย์มากกว่าร้อยละ 95 ประกอบด้วยแร่ 3 ชนิด คือ คาลิโโนนต์ (Kalionite) แคลไซต์ (Calcite) และกำมะถันไฟไรต์ (Pyrite) ในเก้าถ่านหินมากกว่าร้อยละ 95 ประกอบด้วย ซิลิกอนไดออกไซด์ (SiO_2) อะลูมินา (Al_2O_3) เฟอริกออกไซด์ (Fe_2O_3) และแคลเซียม ออกไซด์ (CaO) ที่เหลืออีกร้อยละ 5 เป็นแมกนีเซียมออกไซด์ (MgO) โซเดียมออกไซด์ (Na_2O) โพแทสเซียมออกไซด์ (K_2O) และไทเทเนียมไดออกไซด์ (TiO_2)

ถ่านหินเมื่อถูกเผาไหม้จะปล่อยสารระเหยออกมาระหว่างการเผาไหม้ เกิดรูปน้ำขึ้นรอบๆ อนุภาคถ่านหิน แก๊สที่เหลืออยู่ในอนุภาคซึ่งเป็นอนินทรีย์ สารพากเหล็ก แมกนีเซียม โซเดียม และซับออกไซด์ของซิลิกอนไดออกไซด์ ไม่สามารถดันออกมายังด้านนอกมาได้ง่าย ภายในอนุภาคถ่านหินจึงเกิดรูปน้ำขึ้นภายใน ไอของสารอนินทรีย์ดังกล่าวจะทำให้ออนุภาคของถ่านหินแตกออกเป็นส่วนเล็กๆ ปล่อยไอของสารต่างๆ ออกมานอกจากที่แตกออกมีขนาดต่างๆ ตั้งแต่ 0.1 – 50 ไมโครเมตร เรียกอนุภาคเหล่านี้ว่า เก้า ซึ่งบางส่วนจะเก็บน้ำของส่วนถ่ายโอนความร้อน และบางส่วนปล่อยออกซูบรอยากาศ ความสัมพันธ์ของร้อยละของแร่ธาตุกับร้อยละของเก้าโดยประมาณคือ

$$\% \text{ แร่ธาตุ} (\text{Mineral Matter}) = 1.08(\% \text{ เก้า}) + 0.55(\% \text{ กำมะถัน}) \quad (2.1)$$

3. สารระเหย (Volatile matter)

สารระเหย คือ ส่วนที่สลายตัวจากถ่านหินเมื่อได้รับความร้อนในที่ที่ไม่สามารถอยู่ในช่วงเวลาและอุณหภูมิที่กำหนด องค์ประกอบของถ่านหินที่สลายตัวง่ายระเหยออกมาระยะตัวเป็น 3 องค์ประกอบสำคัญ คือ แก๊ส น้ำมันทาร์ และของเหลวไสเมิลามิเนีย (Ammonia liquor) ซึ่งละลายอยู่ในน้ำจากการแตกตัวของโมเลกุลที่มีองค์ประกอบซึ่งไม่ใช่ความชื้นอิสระ สารระเหยสามารถหาได้จากน้ำหนักที่สูญเสียไป (หักความชื้นออกแล้ว) หลังจากการอบถ่านหินบดละเอียด

ขนาด 250 ไมโครเมตร ภายในตัวภูมิ 950 องศาเซลเซียส เป็นเวลา 7 นาที โดยไม่ให้สัมผัสกับอากาศเพื่อกลั่นถ่ายถ่านหินให้ส่วนที่ระเหยได้ออกมา

4. คาร์บอนคงตัว (Fixed carbon)

คาร์บอนคงตัวเป็นส่วนที่เสียของโครงสร้างไม่หลุดของถ่านหินประกอบด้วยคาร์บอนเป็นส่วนใหญ่แต่ไม่ทั้งหมด ในการวิเคราะห์ได้จากการคำนวณผลต่าง คือ

$$\% \text{Fixed Carbon} = 100 - (\% \text{Moisture} + \% \text{Ash} + \% \text{Volatile matter}) \quad (2.2)$$

2.2.2 การวิเคราะห์แบบแยกธาตุ (Ultimate analysis)

การวิเคราะห์ธาตุต่างๆ ที่สำคัญในถ่านหิน คือ คาร์บอน ไฮโดรเจน กำมะถัน และไนโตรเจน บางครั้งมีการวิเคราะห์ฟอสฟอรัสและคลอรีนด้วย ส่วนออกซิเจนเป็นผลต่างระหว่าง 100 กับผลรวมของร้อยละธาตุของค่าประกอบทั้งหมด และร้อยละความชื้นและเหล้า การวิเคราะห์ธาตุกระทำโดยการกลั่นถ่ายถ่านหินในภาวะออกซิไดส์อย่างรุนแรงจนกระทั่งกลাযเป็นสารประกอบออกไซด์ แล้วหาปริมาณออกไซด์ที่เกิดด้วยวิธีทางเคมี หรือทางกายภาพ ปัจจุบันเครื่องมือ CHNS elemental analyzer ใช้วิเคราะห์ธาตุ คาร์บอน ไฮโดรเจน กำมะถัน และไนโตรเจน ได้พร้อมกัน กระบวนการผลแบบแยกธาตุแสดงเป็นร้อยละโดยมวลและรายงานร้อยละความชื้นและร้อยละเหล้าร่วมด้วย

2.3 วิธีการพัฒนาถ่านหิน [3]

วิธีการพัฒนาถ่านหินมี 2 วิธีการ คือ

1. การพัฒนาเทคนิคการใช้ถ่านหินโดยตรง

การพยายามค้นหาเทคนิคใหม่ๆ หรือปรับปรุงเทคนิคการใช้ถ่านหินที่มีอยู่เดิมให้มีประสิทธิภาพมากยิ่งขึ้น โดยสามารถนำไปใช้กับถ่านหินที่มีคุณภาพต่างๆ กันได้ และสามารถลดมลพิษที่เกิดจากการเผาไหม้ถ่านหินให้น้อยลงด้วย เทคนิคเหล่านี้ช่วยให้การนำถ่านหินมาใช้เป็นพลังงานเชื้อเพลิงได้อย่างกว้างขวางยิ่งขึ้น เทคนิคหนึ่งที่ใช้คือ นำถ่านหินบดละเอียดผสมกับน้ำมัน (Coal-oil mixture หรือ COM) เพื่อใช้เป็นพลังงานเชื้อเพลิงสำหรับทดแทนน้ำมันในเตาเผา หรือหม้อต้มน้ำที่มีอยู่เดิมในอุตสาหกรรมต่างๆ เทคนิค COM นี้สามารถใช้ถ่านหินผสมได้ถึงร้อยละ

20 – 50 แต่เป็นการแก้ปัญหาในระยะสั้น เทคนิคใหม่อีกวิธีหนึ่งคือ การสร้างอุปกรณ์การเผาถ่านหินที่เรียกว่า ฟลูอิเดซ์เบด (Fluidized bed combustion) ที่มีการปรับปรุงระบบการเผาถ่านหินให้มีประสิทธิภาพดีกว่าเตาเผาชนิดเดิม ซึ่งปัจจุบันมีการใช้ในอุตสาหกรรมบางประเทศแล้ว

2. การพัฒนาเทคนิคการผลิตแก๊สและน้ำมันสังเคราะห์จากถ่านหิน

เนื่องจากปริมาณไฮโดรเจนในถ่านหินค่อนข้างต่ำเมื่อเทียบกับเชื้อเพลิงธรรมชาติชนิดอื่นๆ ดังนั้นการแปรสภาพถ่านหินให้เป็นแก๊สหรือน้ำมันต้องอาศัยกระบวนการเปลี่ยนแปลงทางเคมีที่ซับซ้อน เพื่อให้มีการเพิ่มปริมาณไฮโดรเจนพร้อมกับลดปริมาณของออกซิเจน กำมะถัน และไนโตรเจนด้วย ในปัจจุบันนี้การผลิตแก๊สจากถ่านหินมีหลายวิธี วิธีที่ใช้มาตั้งแต่สมัยก่อนสังคมโลกครั้งที่ 2 คือ กระบวนการเลอร์ก (Lurgi process) ซึ่งเป็นวิธีที่นิยมใช้ในประเทศสาธารณรัฐแอฟริกาใต้และประเทศไทย รวมถึงในประเทศไทย กระบวนการใช้แก๊สจากถ่านหินในปัจจุบัน ส่วนใหญ่ใช้วิธี Winkler fluidized bed และคوبเปอร์ทอตซ์ (Koppers – Totzed; KT) เป็นการนำถ่านหินมาผลิตแก๊สเพื่อนำไปใช้ผลิตปุ๋ยและเคมิคอล นอกจากนี้ยังได้มีการค้นคว้าหาวิธีการผลิตแก๊สจากถ่านหินโดยวิธีต่างๆ ที่จะทำให้การผลิตแก๊สเป็นไปอย่างมีประสิทธิภาพสูงขึ้นด้วย

2.4 การใช้ประโยชน์จากถ่านหิน

1. การเผาไหม้ถ่านหินเพื่อใช้เป็นเชื้อเพลิงในการสันดาปโดยตรง (Direct combustion) หรือใช้เป็นวัตถุดิบในกระบวนการผลิตและให้ความร้อน
2. คาร์บอนไนเซชัน (Carbonization) เป็นกระบวนการกลั่นสลายถ่านหินในที่ที่ไม่มีอากาศ โดยให้ความร้อนแก่ถ่านหินจนได้ถ่านหินที่กล้ายางเป็นถ่านหินอบที่มีคุณภาพดี มีความชื้นและสารระเหยลดลง ผลิตภัณฑ์หลัก คือ ถ่านโค้ก (Coke) และผลผลิตพลอยได้คือ แก๊สถ่านหิน และของเหลวจากเวทอร์ท แต่คุณภาพและปริมาณของผลิตภัณฑ์ทั้งหมดที่ได้จากการคาร์บอนไนเซชันกับคุณภาพ มีอัตราการให้ความร้อน ความดัน และขนาดของถ่านหินด้วย
3. แก๊สฟิเชชัน (Gasification) เป็นกระบวนการผลิตแก๊สเชื้อเพลิงจากถ่านหิน โดยทำปฏิกิริยาออกซิเดชันเพียงบางส่วนกับอากาศ และออกซิเจนและ/or ไนโตรเจน
4. กระบวนการแปรรูปเป็นของเหลว (Liquefaction) เป็นการเปลี่ยนแปลงทางเคมีที่ซับซ้อน เพื่อเพิ่มปริมาณไฮโดรเจนแก่ถ่านหิน เมื่อถ่านหินมีปริมาณไฮโดรเจนค่อนข้างต่ำเมื่อเทียบกับผลิตภัณฑ์ปิโตรเลียมอื่น นอกจากนี้เป็นการลดปริมาณออกซิเจน กำมะถัน และ

ในโตรเจน กระบวนการนี้จะมีการเติมไฮดรเจนกาย ให้กาวที่มีคุณภาพ และความดันสูง รวมถึงอาจมีการใช้ตัวเร่งปฏิกิริยาเพื่อให้เกิดปฏิกิริยาได้อย่างรวดเร็ว และเป็นการควบคุม คุณภาพของผลิตภัณฑ์ด้วย โดยผลิตภัณฑ์ที่ได้มีลักษณะเป็นข่องเหลว สามารถนำมากลั่น เพื่อใช้เป็นเชื้อเพลิงต่อไปได้

2.5 กำมะถันในถ่านหิน [7]

กำมะถันเป็นธาตุในถ่านหินที่ทำให้เกิดการกัดกร่อนคุณภาพน้ำแข็งและก่อให้เกิดมลพิษ ภายในห้องการเผาไหม้ถ่านหิน ปริมาณกำมะถันที่มีอยู่ในถ่านหินอาจพบตั้งแต่ร้อยละ 0.1 ถึงมาก กว่าร้อยละ 10 โดยน้ำหนัก กำมะถันในถ่านหินแบ่งได้เป็น 2 ประเภทใหญ่ๆ คือ

2.5.1 กำมะถันอนินทรีย์ (Inorganic sulfur) แบ่งเป็น 2 รูปแบบ คือ

ก) กำมะถันไฟไร็ต (Pyrite sulfur)

กำมะถันไฟไร็ตเกิดจากกำมะถันอนินทรีย์สลายตัวแล้วทำปฏิกิริยากับสารละลายที่มีเหล็ก หรือทองแดงเป็นองค์ประกอบ ตกผลึกในช่องว่างหรือรอยแตกในชั้นถ่านหิน พบร่วมกับในลักษณะของสารประกอบโลหะชั้ลไฟด์คือ กำมะถันไฟไร็ตและมาრคาไซต์ (Marcasite) ซึ่งมีสูตรโมเลกุลเหมือนกันคือ FeS_2 แต่มีโครงสร้างผลึกและสมบัติทางกายภาพแตกต่างกัน โดยกำมะถันไฟไร็ตมีโครงสร้างผลึกแบบลูกบาศก์ มีความถ่วงจำเพาะประมาณ 5 ส่วนมาarcasite มีโครงสร้างแบบรอมบิก (Rhombic) มีความถ่วงจำเพาะประมาณ 4.87 เมื่อเทียบกับถ่านหินซึ่งมีความถ่วงจำเพาะอยู่ระหว่าง 1.3-1.8 จากความถ่วงจำเพาะที่แตกต่างกันนี้ทำให้สามารถแยกกำมะถันไฟไร็ตบางส่วนออกจากถ่านหินได้โดยวิธีทางกายภาพ นอกจานนี้ยังอาจพบสารประกอบชัลไฟด์ในรูปอื่น เช่น สฟาเลอไรต์ (Sphalerite, ZnS) กาลีนา (Galena, PbS) คัลโคไฟไร็ต (CuFeS_2) ไฟโรไทต์ (Fe_{1-x}S) อะซีโนไฟไร็ต (Asenopyrite , FeAsS) และอื่นๆ ในปริมาณเล็กน้อย

ขนาดของไฟไร็ตในถ่านหิน pragayoy ในหลายรูปแบบ คือ ไฟไร็ตอีพิเจนติก (Epigenetic pyrite) ขนาดใหญ่กว่า 50 ไมโครเมตร ไฟไร็ตซินเจนติก (Syngenetic pyrite) เป็นผลึกที่มีขนาด 5-50 ไมโครเมตร และ Finely intergrown และ Ultrafine pyrite เป็นผลึกที่มีขนาดเล็กกว่า 5 ไมโครเมตร สามารถแบ่งลักษณะไฟไร็ตที่พบได้เป็น

1. Authogenic primary deposit pyrites เป็นไฟร์ตที่แทรกอยู่ในเนื้อถ่านหินไม่สามารถแยกหรือจัดออกจากถ่านหินโดยวิธีทางกายภาพ มี 2 รูปแบบ คือ

- Framboidal pyrite เป็นเม็ดกลมเล็กๆ เส้นผ่าศูนย์กลาง 10-40 ไมโครเมตร อาจพบกระจายอยู่ทั่วไปหรือเกาะเป็นกลุ่ม
- เป็นไฟร์ตที่เข้าไปแทนที่ส่วนที่เป็นเนื้อไม้และเปลือกไม้ของพืช ทำให้เห็นเป็นรูปร่างของพืชนั้น

2. Authogenic secondary deposit pyrites เป็นไฟร์ตที่เกิดขึ้นภายหลังกระบวนการเกิดถ่านหิน พบแทรกอยู่ตามแนวแตกของถ่านหิน ประกอบด้วยผลึกเล็กๆ อาจเกาะกันเป็นแผ่นหรือถ้ารอยแตกนั้นใหญ่อาจเกาะกันเป็นก้อนใหญ่ ไฟร์ตชนิดนี้สามารถแยกออกจากถ่านหินได้ง่ายโดยวิธีทางกายภาพ เพราะไม่ว่าจะอยู่ในเนื้อถ่านหิน

๔) กำมะถันซัลเฟต (Sulfate sulfur)

กำมะถันซัลเฟตพบในลักษณะของโลหะซัลเฟต เช่น แอนไฮไಡร์ต (CaSO_4) ยิปซัม ($\text{CaSO}_4 \cdot 2\text{H}_2\text{O}$) แบบเรียมซัลเฟต (BaSO_4) ไอโอกอนซัลเฟต (FeSO_4) คอปเปอร์ซัลเฟต (CuSO_4) แมกนีเซียมซัลเฟต (MgSO_4) โดยปกติจะพบกำมะถันซัลเฟตในถ่านหินน้อยเมื่อเทียบกับกำมะถันไฟร์ตและกำมะถันอินทรีย์

2.5.2 กำมะถันอินทรีย์ (Organic sulfur) [8]

กำมะถันอินทรีย์กระจายอยู่ทั่วไปในถ่านหินประมาณร้อยละ 30-70 ของปริมาณกำมะถันรวมในถ่านหิน และมีโครงสร้างพันธะเคมีหลายรูปแบบที่ซับซ้อน Garcia-Labiano และคณะ [8] เสนอว่ากำมะถันอินทรีย์ที่พบในถ่านหินอาจประกอบด้วยวงแหวนแอโรเมติกหรือหมุ่ฟังก์ชันอะลิฟาติก โดยทั่วไปแบ่งได้เป็นเมอร์แคปแทน (Mercaptans, R-SH) อะลิฟาติกและเอริลซัลไฟด์ (Aliphatic and Aryl sulfides, R-S-R') ไดซัลไฟด์ (Disulfides, R-S-S-R') ไทโอลีน (Thiophenes) ซึ่งเป็นสารประกอบแอโรเมติกที่มีกำมะถันเป็นส่วนหนึ่งของวงแหวน ประมาณร้อยละ 40-70 ของกำมะถันอินทรีย์ในถ่านหินมีโครงสร้างเป็นไทโอลีนและอนุพันธ์ของไทโอลีน กระบวนการเกิดถ่านหินอาจเป็นสาเหตุทำให้กำมะถันอินทรีย์เปลี่ยนรูปจากเมอร์แคปแทนเป็นรูปอะลิฟาติกและเอริลซัลไฟด์และไทโอลีนในที่สุด

กำมะถันอินทรีย์ซึ่งประกอบด้วยหมุ่ฟังก์ชันอะลิฟาติกมีโครงสร้างไม่เสถียรมากนักจึงสามารถแก้สไไฮโดรเจนซัลไฟด์ได้ง่าย ส่วนวงแหวนแอโรเมติกมีเสถียรภาพมากกว่า เนื่องจาก

กำมะถันมีเรโซแนนซ์ (Resonance) ในวงแหวนทำให้พันธุ์คาร์บอนและกำมะถันที่จับกันเสถียรมากขึ้นจึงไม่สามารถใช้วิธีทางกายภาพขัดได้ ต้องใช้วิธีทางเคมีเพื่อทำลายพันธุ์เคมีระหว่างกำมะถันและคาร์บอน ปฏิกิริยาที่เหมาะสมในการขจัดกำมะถันไฟไวร์ตี้ไม่ได้กับกำมะถันอินทรีย์ เพราะกำมะถันอินทรีย์มีโครงสร้างเสถียรกว่าและไม่ว่องไวในการเกิดปฏิกิริยาเท่ากำมะถันไฟไวร์ต์

การวิเคราะห์ปริมาณกำมะถันอินทรีย์ไม่สามารถวิเคราะห์ได้โดยตรง เนื่องจากมีโครงสร้างที่ซับซ้อน ดังนั้นการหาปริมาณกำมะถันอินทรีย์คำนวนจากปริมาณกำมะถันรวมหักออกตัวยปริมาณกำมะถันไฟไวร์ต์และกำมะถันชัลเฟต์ ดังสมการ

$$\text{กำมะถันอินทรีย์} = \text{กำมะถันรวม} - \text{กำมะถันไฟไวร์ต์} - \text{กำมะถันชัลเฟต์ \quad (2.3)}$$

2.6 การขจัดกำมะถันในถ่านหิน [9]

การขจัดกำมะถันในถ่านหินต้องคำนึงถึงการนำถ่านหินมาใช้งาน วิธีการขจัดกำมะถันในถ่านหินแบ่งตามช่วงเวลาของการขจัดดังนี้ คือ

1. การขจัดกำมะถันก่อนการเผาไหม้

การขจัดกำมะถันก่อนการเผาไหม้ถ่านหิน เป็นการลดปริมาณกำมะถันในถ่านหิน ก่อนนำถ่านหินไปใช้เป็นเชื้อเพลิงในการเผาไหม้ โดยอาจใช้วิธีทางกายภาพ เคมี หรือชีวภาพ นอกจากนี้ยังมีกระบวนการไฟฟ้าไร้สายทำให้ถ่านหินถลายตัวเป็นถ่านชาาร์ กระบวนการแก๊สฟิเกชัน (Gasification) หรือกระบวนการเปลรูปเป็นของเหลว (Liquefaction)

2. การขจัดกำมะถันระหว่างการเผาไหม้

การขจัดกำมะถันระหว่างการเผาไหม้ถ่านหิน เป็นการเติมสารบางชนิดลงไประหว่างการเผาไหม้ เพื่อร่วมตัวกับกำมะถันที่ถลายน้ำจากการเผาไหม้ เกิดเป็นสารประกอบที่สามารถแยกออกได้ เช่น การเติมปูนขาว (Lime, CaO) หรือหินปูน (Limestone, CaCO₃) เมื่อถ่านหินเผาไหม้ แก๊สชัลเฟต์หรือออกไซด์ถูกขจัดและเปลี่ยนไปอยู่ในรูปของสารประกอบแคลเซียมชัลเฟต์ (CaSO₄) ซึ่งสามารถขจัดได้ง่าย โดยใช้เครื่องขจัดฝุ่นไฟฟ้าสถิต (Electrostatic precipitator) หรือถุงกรอง (Filter bag)

3. การขจัดกำมะถันหลังการเผาไหม้

การขจัดกำมะถันหลังการเผาไหม้โดยใช้สารเคมี เช่น ปูนขาวหรือหินปูน ดูดซับแก๊สชัลเฟต์ได้อย่างดีที่สุดที่ออกแบบกับฟลูแก๊สหลังการเผาไหม้ (FGD, Flue gas desulfurization) วิธีการ

นี้มีประสิทธิภาพในการขจัดกำมะถันสูงมาก อย่างไรก็ตาม ค่าใช้จ่ายในการลงทุนและดำเนินการสูงมาก เช่นกัน นอกจากนี้ยังมีปัญหาในการจัดการกับของเสียในรูปของเข็งที่เกิดขึ้นอีกด้วย

กระบวนการขจัดกำมะถันในถ่านหิน

เนื่องจากปริมาณถ่านหินและกำมะถันในถ่านหิน เป็นส่วนสำคัญที่ต้องคำนึงในการนำถ่านหินมาใช้งาน ดังนั้นจึงมีวิธีการลดปริมาณถ่านหินเพื่อเพิ่มค่าความร้อน และการขจัดกำมะถันเพื่อลดปัญหาลักษณะเป็นพิษ กระบวนการขจัดกำมะถันและถ่านหินนำถ่านหินไปเผาให้เหลือ แบ่งได้เป็น 2 วิธี คือ วิธีทางกายภาพ และวิธีทางเคมี

1. วิธีทางกายภาพในการขจัดกำมะถัน

วิธีทางกายภาพในการขจัดกำมะถัน เป็นวิธีปรับปรุงคุณภาพถ่านหินโดยอาศัยสมบัติทางกายภาพขจัดกำมะถันอนินทรีย์และถ่านหิน สมบัติทางกายภาพ เช่น ค่าความถ่วงจำเพาะซึ่งถ่านหินมีค่าอยู่ระหว่าง 1.2-1.7 เมื่อเทียบกับกำมะถันอนินทรีย์ที่มีค่าอยู่ในช่วง 4.9-5.0 และ Noncombustible ash มีค่าอยู่ระหว่าง 2.0-2.6 จากค่าดังกล่าวสามารถนำมาใช้เป็นประโยชน์ในกระบวนการแยกกำมะถันอนินทรีย์และถ่านหินได้ สมบัติของพื้นผิว (Surface properties) เป็นสมบัติทางกายภาพอีกอย่างหนึ่งที่ใช้ในกระบวนการ Froth Flotation เพื่อแยกถ่านหินและถ่านหินออกจากกันโดยอาศัยสมบัติความชอบน้ำ (Hydrophilic) ของถ่านหิน อย่างไรก็ตาม วิธีทางกายภาพมีประสิทธิภาพค่อนข้างต่ำในการขจัดกำมะถันและไม่สามารถขจัดกำมะถันอนินทรีย์ได้ เนื่องจากกำมะถันอนินทรีย์แห้งตัวอยู่ในส่วนที่ซับซ้อนของโครงสร้างถ่านหิน ซึ่งอาจใช้วิธีทางเคมีจัดการได้

กระบวนการขจัดกำมะถันในถ่านหินโดยใช้วิธีทางกายภาพซึ่งอาศัยสมบัติทางกายภาพดังที่กล่าวมาแล้วนั้นแบ่งได้เป็น 2 กระบวนการ คือ

ก) Dry Mechanical Separation Process

ตัวอย่างของกระบวนการนี้คือ Magness process เป็นกระบวนการที่อาศัยเทคนิค Dry low intensity magnetic โดยอาศัยไอออนเพนตาการ์บอนิล (Ironpentacarbonyl, Fe(CO)₅) ที่ความดันบรรยากาศ อุณหภูมิ 170 องศาเซลเซียส ไอออนคาร์บอนิลจะสลายตัวเกิดเป็นสารที่มีสมบัติทางแม่เหล็กกับถ่านหินและกำมะถันไฟไวร์ท์ท่านั้น กำมะถันไฟไวร์ทและถ่านหินจะแยกออกจากกันในเครื่อง Magnetic separator

๑) Wet Mechanical Separation Process

ตัวอย่างของกระบวนการนี้ได้แก่ Froth Flotation ซึ่งใช้ในการแยกกำมะถันไฟโรต์และถ่านหินจากถ่านหินบดละเอียด โดยผ่านฟองอากาศไปใน Coal slurry อาศัยสมบัติการไม่ชอบน้ำ (Hydrophobic) ของถ่านหิน และสมบัติการชอบน้ำ (Hydrophilic) ของพากแร่ธาตุต่างๆ การรวมกลุ่มกับน้ำมันเป็นอีกตัวอย่างของกระบวนการซึ่งใช้ไดกับถ่านหินที่มีขนาดเล็กกว่า 200 เมช อาศัยหลักการแพร่กระจายของถ่านหินในสารละลายโดยเติมน้ำมันไปในสารละลายที่มีถ่านหินแพร่กระจายอยู่ นำมันจะจับตัวกับอนุภาคถ่านหินที่มีสมบัติการไม่ชอบน้ำรวมตัวเป็นกลุ่มอยู่บนน้ำ ในขณะที่ส่วนที่เป็นแร่ธาตุและไฟโรต์ซึ่งมีสมบัติความชอบน้ำจะมีลักษณะล่องล้ำ จึงสามารถขัดกำมะถันไฟโรต์และถ่านหินได้

2. วิธีทางเคมีในการขัดกำมะถัน

วิธีทางเคมีในการขัดกำมะถัน เป็นกระบวนการปรับปรุงคุณภาพถ่านหิน โดยอาศัยสารเคมีทำปฏิกิริยากับถ่านหิน ภายใต้ภาวะปฏิกิริยาที่เหมาะสม และอาจทำร่วมกับวิธีทางกายภาพ ได้ ซึ่งวิธีทางเคมีนี้ สามารถขัดกำมะถันอนินทรีย์ได้ดี แต่ขัดกำมะถันอนินทรีย์ได้ต่ำเนื่องจากพันธะระหว่างคาร์บอนและกำมะถันในโครงสร้างถ่านหินมีความเสถียรมาก นอกจานนี้ยังต้องเสียค่าใช้จ่ายในการใช้สารเคมี และต้องดำเนินการภายใต้ภาวะที่เหมาะสมในการเกิดปฏิกิริยา ปฏิกิริยาทางเคมีที่สำคัญในการขัดกำมะถัน ได้แก่ ปฏิกิริยาไฮโดรเจน (Hydrogenation) ปฏิกิริยาเรตักชัน (Reduction) ปฏิกิริยาออกซิเดชัน (Oxidation) ปฏิกิริยากับสารละลายเบส เป็นต้น

ในระยะที่ผ่านมา มีงานวิจัยและการพัฒนาที่นำหลักการไฟโรไลซิสเพื่อมาสลายสารประกอบกำมะถันอนินทรีย์และอนินทรีย์ให้กล้ายเป็นแก๊สแล้วทำการละลายแก๊สนั้นภายหลังกระบวนการไฟโรไลซิสให้ผลิตภัณฑ์ที่สะอาด ได้แก่ แก๊ส ของเหลว และถ่านชาร์ สารประกอบกำมะถันที่เกิดขึ้นส่วนใหญ่อยู่ในรูปแก๊สไฮโดรเจนชัลไฟลด์ ซึ่งสามารถขัดได้สะดวกโดยใช้ปูนขาว โดยปูนขาว (CaO) สามารถเปลี่ยนเป็นแคลเซียมชัลไฟลด์ (CaS) เมื่อทำปฏิกิริยากับแก๊สไฮโดรเจนชัลไฟลด์ได้ถึงร้อยละ 100 ขณะที่ปูนขาวขัดแก๊สชัลไฟลด์ได้ออกไซด์ ไดร์ก็อยู่ละ 62 ตั้งสม การ 2.4 และ 2.5

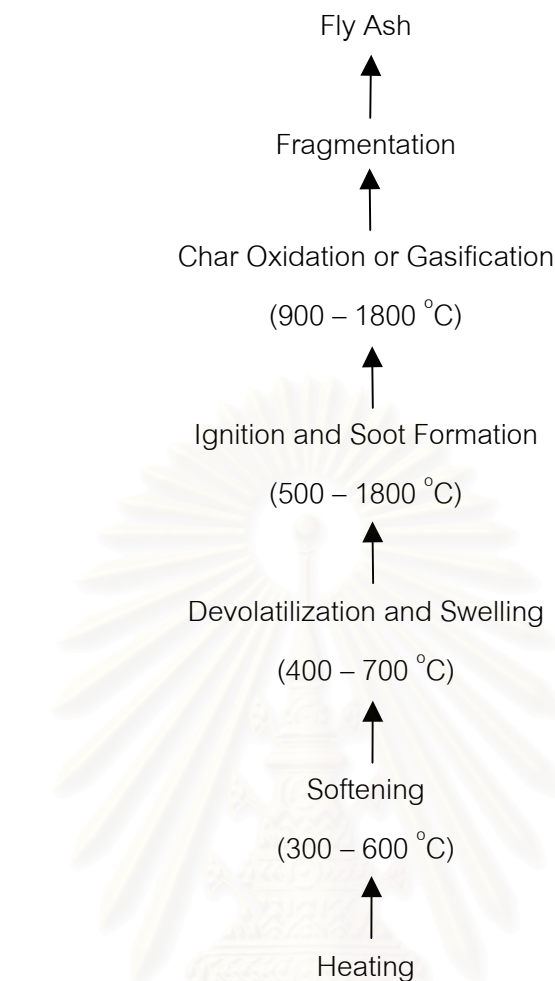


2.7 ไฟโรไอลซิส (Pyrolysis) [2]

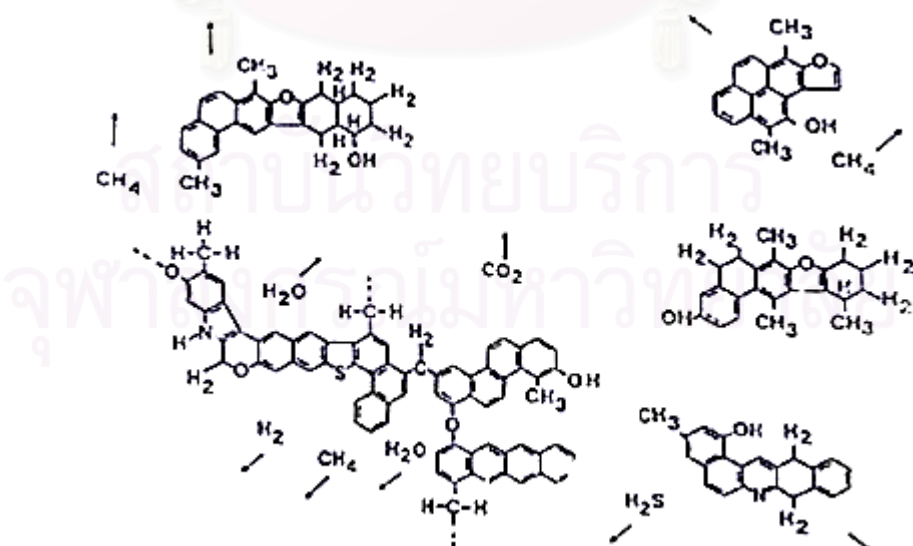
กระบวนการไฟโรไอลซิส คือ การ слایต์ว่างความร้อน (Thermal Decomposition) หรือ การกำลั่นสลายตัว (Destructive Distillation) ในที่จำกัดอาจาศหรือควบคุมบรรยายกาศ กระบวนการไฟโรไอลซิสเป็นกระบวนการเปลี่ยนแปลงขั้นต้นของกระบวนการเผาไหม้ กระบวนการแก๊สification และการบูรณาการเปลี่ยนแปลงขั้นต้นของกระบวนการเผาไหม้ เป็นกระบวนการแก๊สification และกระบวนการเปลี่ยนแปลงขั้นต้นของเหลว (Liquefaction) และเป็นกระบวนการที่ง่าย มีประสิทธิภาพในการทำความสะอาดถ่านหิน เมื่อถ่านหินผ่านกระบวนการไฟโรไอลซิส สารประกอบกำมะถันในถ่านหินเกิดการสลายตัวและมีปริมาณลดลง กำมะถันเกือบทั้งหมดเปลี่ยนไปอยู่ในรูปของแก๊สไฮโดรเจนชั้ลไฟฟ์ กำมะถันอินทรีย์ซึ่งไม่สามารถจัดได้โดยการล้างหรือทำความสะอาดด้วยกรดถูกไอล์ออกจากโครงสร้างถ่านหินด้วยกระบวนการไฟโรไอลซิส กระบวนการไฟโรไอลซิสทำให้ได้ผลิตภัณฑ์ถ่านหินที่มีปริมาณกำมะถันต่ำ กระบวนการเผาไหม้ถ่านหินแสดงดังรูปที่ 2.7

สำหรับกระบวนการไฟโรไอลซิส เมื่อได้รับความร้อนไม่เลกุลของถ่านหินเริ่มอ่อนตัวและแตกออกโดยเฉพาะไม่เลกุลระหว่างหมู่อะลิฟาติกด้วยกัน และระหว่างหมู่อะลิฟาติกกับออกซิเจนแตกออกได้ง่าย การแตกออกของพันธะเหล่านี้ทำให้เกิดกลุ่มไมเลกุลที่มีขนาดเล็กลงปนเป็นผลิตภัณฑ์ของเหลวและแก๊ส รูปที่ 2.8 แสดงสมมติฐานการแตกออกของไมเลกุลถ่านหินระหว่างการสลายตัวทางความร้อน ที่อุณหภูมิต่ำโครงสร้างวงแหวนแอโรเมติกมีการจัดเรียงตัวกันในม่าน้อยมาก โครงสร้างอะลิฟาติกหรือไฮโดรแอโรเมติก (Hydroaromatic) ของถ่านหินสลายตัว ได้แก๊สคาร์บอนไดออกไซด์ (CO_2) จากหมู่คาร์บออกซิล (Carboxyl), น้ำจากหมู่ไฮดรอกซิล (Hydroxyl), แก๊สไฮโดรคาร์บอนจากหมู่อะลิฟาติก, แก๊สไฮโดรเจนชัลไฟฟ์ (H_2S) จากเมอร์แคปแทน (Mercaptans) และแก๊สคาร์บอนมอนออกไซด์ (CO) บางส่วนจากหมู่อีเทอร์ (Ether) ที่อุณหภูมิสูงโครงสร้างวงแหวนแอโรเมติกเกิดการแตกตัวและจัดเรียงตัวใหม่ ได้แก๊สไฮโดรเจน (H_2) จากไฮโดรเจนในแอโรเมติก, แก๊สคาร์บอนไดชัลไฟฟ์ (CS_2) จากไธโอลีฟีน (Thiophenes), แก๊สไฮโดรเจนเซียนไนเตอร์ (HCN) จากวงแหวนไฮโดรเจน และแก๊สคาร์บอนมอนออกไซด์จากหมู่อีเทอร์

จุฬาลงกรณ์มหาวิทยาลัย



รูปที่ 2.7 กระบวนการเผาไหม้ถ่านหิน [9]

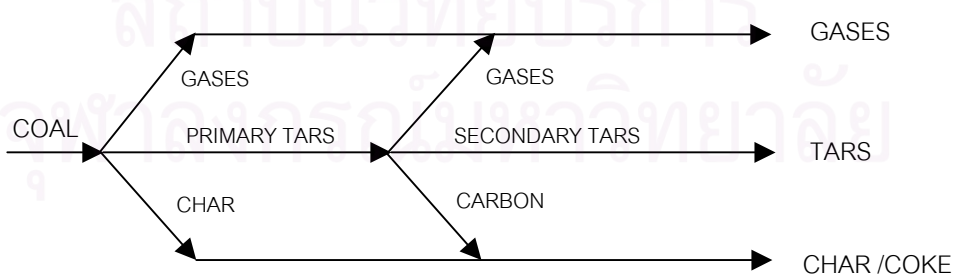


รูปที่ 2.8 สมมติฐานการแตกออกของโมเลกุลถ่านหินระหว่างไฟโรไลซิส [2]

เมื่อก่อการหินผ่านกระบวนการไฟฟ์โรไลซิส ถ่านหินสูญเสียน้ำหนักเนื่องจากการระเหยไปของน้ำและสารระเหย องค์ประกอบอินทรีย์และอนินทรีย์ในถ่านหินเกิดการเปลี่ยนแปลงทั้งด้านกายภาพและเคมี ผลิตภัณฑ์หลักที่ได้ประกอบด้วยของแข็งที่มีโครงข่ายเป็นองค์ประกอบเป็นส่วนใหญ่เรียกว่า ถ่านชาร์ ส่วนผลิตภัณฑ์อื่นๆ ได้แก่ ของเหลวและแก๊ส ปริมาณผลิตภัณฑ์ขึ้นอยู่กับปัจจัยต่างๆ มากมาย อาทิ เช่น อุณหภูมิ อัตราการให้ความร้อน บรรยากาศ ความดัน ขนาดของถ่านหิน เหลาที่ใช้ ชนิดของถ่านหิน และชนิดของเครื่องปฏิกรณ์ เป็นต้น น้ำหนักที่หายไปคือ การเปลี่ยนไปเป็นแก๊ส (CH_4 , CO , CO_2 , H_2O , สารประกอบไฮโดรคาร์บอนเบ้าและอื่นๆ) และน้ำมันทาร์ซึ่งมีสถานะเป็นของเหลวที่อุณหภูมิห้อง โดยทั่วไปเป็นขั้นตอนการเกิดน้ำมันทาร์ดำเนินไปตามขั้นตอนต่อไปนี้ [10]

- ก. เกิดปฏิกิริยาการแตกออกของโมเลกุลขนาดใหญ่ของถ่านหิน (Depolymerization) ได้โมเลกุลที่มีขนาดเล็กลงเรียกว่า เมตาพลาส (Metaplast)
- ข. โมเลกุลเมتاพลาสเกิดปฏิกิริยาการรวมตัวกันอีกครั้ง (Repolymerization)
- ค. โมเลกุลที่มีขนาดเบาเคลื่อนที่จากผิวของอนุภาคถ่านหินโดยการระเหย (Vaporization) การพา (Convection) และการแพร่ในสถานะแก๊ส (Gas-phase diffusion) ร่วมกัน
- ง. เมื่อได้รับความร้อน โมเลกุลภายในอนุภาคถ่านหินเคลื่อนที่สูบัดโดยการพาและการแพร่ไปตามรูปนี้ สำหรับถ่านหินที่มีเนื้อแข็ง และเคลื่อนที่มากับของเหลวหรือฟองแก๊สสำหรับถ่านหินที่มีเนื้อค่อน

ส่วนถ่านชาร์เกิดจากอนุภาคที่ไม่ระเหยออกไป หรือที่ควบแน่นกลับเข้ามาอีกครั้ง ขั้นตอนในกระบวนการไฟฟ์โรไลซิสแสดงดังรูปที่ 2.9



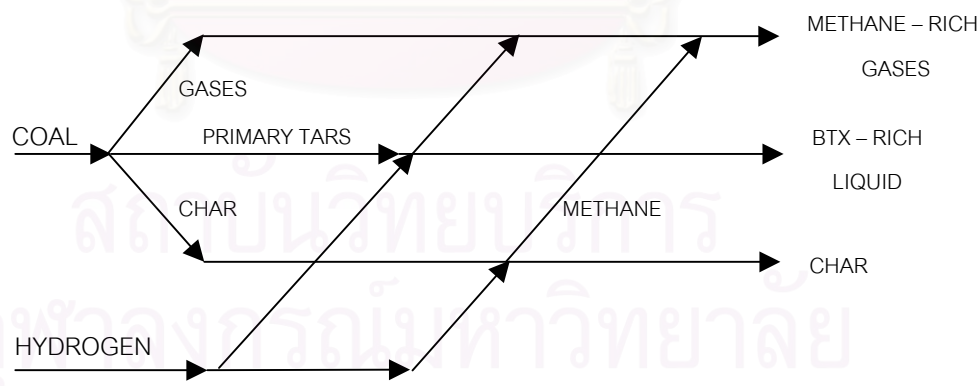
รูปที่ 2.9 ขั้นตอนในกระบวนการไฟฟ์โรไลซิส [11]

ไฟโรไอลซิสสามารถแบ่งได้เป็น 2 ประเภท ตามอุณหภูมิที่ใช้ คือ

ก. ไฟโรไอลซิสที่อุณหภูมิต่ำ (Low temperature pyrolysis) ช่วงอุณหภูมิไม่เกิน 800 องศาเซลเซียส ให้ผลิตกัณฑ์ถ่านcharที่มีรูปธูน มีความกว้างไวในการเกิดปฏิกิริยาสูง ลักษณะของถ่านcharค่อนข้างอ่อนและเปราะไว้กวัน เหมาะสำหรับใช้เป็นเชื้อเพลิงทั่วไป

ข. ไฟโรไอลซิสที่อุณหภูมิสูง (High temperature pyrolysis) ช่วงอุณหภูมิมากกว่า 800 องศาเซลเซียส ให้ผลิตกัณฑ์ถ่านcharที่มีลักษณะแข็งและไม่ว่องไวในการเกิดปฏิกิริยา ถ่านcharนี้ใช้มากในกระบวนการการถุงเหล็ก กระบวนการไฟโรไอลซิสให้ผลิตกัณฑ์แก๊สปริมาณสูงมากและผลิตกัณฑ์น้ำมันทาร์ปริมาณต่ำ

กระบวนการสำคัญอีกกระบวนการหนึ่ง ซึ่งมีหลักการคล้ายกับไฟโรไอลซิส คือ ไฮโดรไฟโรไอลซิส กระบวนการนี้เป็นการสลายตัวทางความร้อนภายใต้บรรยากาศไฮโดรเจน เป็นขั้นตอนที่อยู่ระหว่างกระบวนการผลิตของเหลว และการผลิตเชื้อเพลิงแก๊สสมบูรณ์ (Integral gasification) แก๊สไฮโดรเจนทำหน้าที่ยับยั้งการแตกตัวทางความร้อนของน้ำมันทาร์ที่เกิดขึ้นในช่วงแรก ทำให้ผลิตกัณฑ์ที่ได้ประกอบด้วย น้ำมันทาร์ ของเหลว รวมทั้งสารประกอบแอกโรมะติก โดยเฉพาะเป็นชีน โทลูอีน และไฮลีน และบางส่วนเกิดปฏิกิริยาไฮโดรแกสฟิเคชัน (Hydrogasification) ของถ่านcharได้ ผลิตกัณฑ์เป็นแก๊สไฮโดรคาร์บอน โดยเฉพาะมีเทนและอีเทน ปฏิกิริยาเหล่านี้ขึ้นอยู่กับเวลา อุณหภูมิ และความดัน ไฮโดรไฟโรไอลซิสนี้ส่วนมากใช้ในการผลิตเชื้อเพลิงพิเศษ (Premium fuel) ในรูปของมีเทน ขั้นตอนในกระบวนการไฮโดรไฟโรไอลซิสแสดงดังรูปที่ 2.10



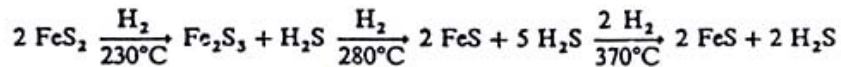
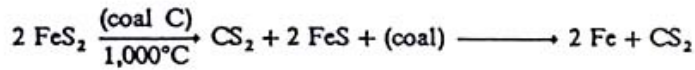
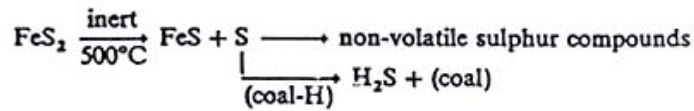
รูปที่ 2.10 ขั้นตอนในกระบวนการไฮโดรไฟโรไอลซิส [11]

2.8 การขัดกำมะถันโดยไฟโรไลซิสที่อุณหภูมิต่ำ [12]

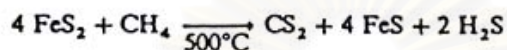
ไฟโรไลซิสสามารถขัดได้ทั้งกำมะถันอินทรีย์และอนินทรีย์ โดยสารประกอบกำมะถันในถ่านหินจะถลวยตัวและกระจายไปในผลิตภัณฑ์ต่างๆ พฤติกรรมของสารประกอบกำมะถันระหว่างไฟโรไลซิสขึ้นอยู่กับปัจจัย-many เช่น ศักดิ์ของถ่านหิน บริมาณและรูปแบบของกำมะถันที่กระจายตัวในถ่านหิน ปริมาณและชนิดของสารประกอบแร่ธาตุ รวมทั้งภาวะที่ใช้ในการทดลองถ่านหินที่มีศักดิ์สูงกว่าจะมีรูปแบบขององค์ประกอบกำมะถันที่มีความเสถียรมากกว่า (สารประกอบไฮโอฟินิก) ทำให้ขัดได้ยากกว่า Gryglewicz [13] รายงานว่าสารประกอบแร่ธาตุในถ่านหินอาจทำหน้าที่ยับยั้งหรือเร่งปฏิกิริยาการเกิดสารประกอบกำมะถัน สารประกอบแร่ธาตุ เช่น แคลไซด์, โดโลไมต์ หรือชิติไซด์ อาจทำปฏิกิริยา กับแก๊สไฮโดรเจนชัลไฟฟ์ที่เกิดขึ้นระหว่างกระบวนการไฟโรไลซิส กลยุทธ์เป็นโลหะชัลไฟฟ์ป่นไปในถ่านชาร์ ดังนั้นปริมาณกำมะถันที่ยังเหลืออยู่ในถ่านชาร์จะจึงขึ้นอยู่กับปริมาณสารประกอบกำมะถันที่ระยะไฟโรไลซิส

ในระหว่างไฟโรไลซิส กำมะถันไฟไวท์ถลวยตัวไปเป็นเฟอรัสชัลไฟฟ์ (Ferrous sulfide, FeS) และธาตุกำมะถัน โดยขึ้นอยู่กับข้อจำกัดทางจนพลศาสตร์ กลุ่มนักวิจัย Ibarra และคณะ [14] เสนอผลงานสอดคล้องกับ Khan [12] ว่าการเปลี่ยนแปลงนี้จะเริ่มต้นที่ประมาณ 450 ถึง 500 องศาเซลเซียส และสมบูรณ์ที่ประมาณ 850 องศาเซลเซียส โดยเกิดการเปลี่ยนแปลงสูงสุดในช่วงอุณหภูมิระหว่าง 630 ถึง 700 องศาเซลเซียส ที่อุณหภูมิสูงกว่านี้ (1000 องศาเซลเซียส) กำมะถันไฟไวท์อาจจะเกิดปฏิกิริยา กับคาร์บอนได้แก๊สคาร์บอนไดชัลไฟฟ์ Sugawara K. และคณะ [15] รายงานว่าในระหว่างไฟโรไลซิส กำมะถันชัลไฟฟ์เกิดปฏิกิริยาเป็นกำมะถันชัลไฟฟ์ (Sulfite sulfur) เท่านั้น และส่วนใหญ่ถลวยหมดไปที่อุณหภูมิประมาณ 500 องศาเซลเซียสขึ้นไป กำมะถันชัลไฟฟ์ที่อาจเหลือหลังไฟโรไลซิสจะอยู่ในรูปแคลเซียมชัลไฟฟ์ ซึ่งมีเสถียรภาพทางความร้อนค่อนข้างสูง ตัวอย่างปฏิกิริยาของกำมะถันอินทรีย์แสดงดังตารางที่ 2.2

ตารางที่ 2.2 ปฏิกิริยาที่อาจเกิดขึ้นของกำมะถันอินทรีย์ระหว่างไฟโรไอลซิสกับหิน [12]



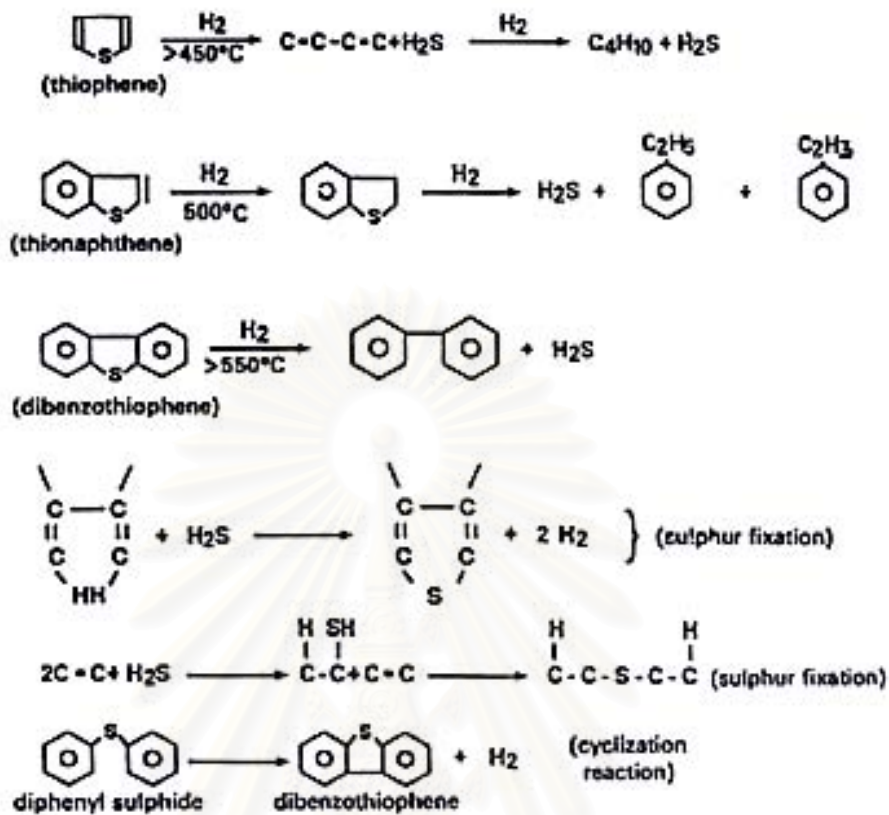
Similar reactions are possible between CO and FeS₂:



กลไกการสลายตัวของกำมะถันอินทรีย์ไม่เป็นที่เข้าใจแน่นัก เนื่องจากความซับซ้อนภายในโครงสร้าง อายุ่งไวร์ก์ดี Lin และคณะ [16] รายงานว่ากำมะถันอินทรีย์จะเริ่มสลายตัวที่ อุณหภูมิต่ำกว่า 600 องศาเซลเซียส พันธะ C-S อ่อนแอกว่า C-C (พลังงานในการสลายพันธะ 272 และ 342 กิโลจูลต่อมิล ตามลำดับ) จึงน่าจะสลายออกได้่ายกกว่า สำหรับไฟโรไอลซิสที่ อุณหภูมิสูงกว่า 600 องศาเซลเซียส โครงสร้างที่เป็นรูปrunionของถ่านหินจะถูกทำลายและอาจยับยั้ง การปลดปล่อยกำมะถันจากถ่านหิน อายุ่งไวร์ก์ตาม Ibarra และคณะ เสนอว่ากำมะถันอินทรีย์ สลายตัวสูงสุดในช่วงอุณหภูมิระหว่าง 500 ถึง 560 องศาเซลเซียส ขณะที่ Khan พบว่าสาร ประกอบอะลิฟาติกส่วนใหญ่สลายตัวที่อุณหภูมิระหว่าง 500 องศาเซลเซียส ไดเอтиลซัลไฟด์ (Diethyl sulfide) เริ่มสลายตัวที่ประมาณ 400 องศาเซลเซียส ไปเป็นแก๊สไฮโดรเจนซัลไฟด์ และเมอร์แคป แทน ส่วนอะลิฟาติกและเออริลซัลไฟด์, เมอร์แคปแทน และไดซัลไฟด์ สลายตัวที่อุณหภูมิระหว่าง 700 และ 800 องศาเซลเซียส สารประกอบไฟโอลิฟินคู่เสถียรภาพมาก ซึ่งสลายตัวได้น้ำงที่ อุณหภูมิ 800 องศาเซลเซียสขึ้นไป แต่ส่วนใหญ่ยังคงอยู่ในผลิตภัณฑ์ถ่านชาร์ ตัวอย่างปฏิกิริยา ของกำมะถันอินทรีย์แสดงดังตารางที่ 2.3

จุฬาลงกรณ์มหาวิทยาลัย

ตารางที่ 2.3 ปฏิกิริยาที่อาจเกิดขึ้นของกำมะถันอินทรีย์ระหว่างไฟโรไอลซิสต่านหิน [12]



นอกจากนี้ Ibarra และคณะ [17] รายงานเพิ่มเติมสอดคล้องกับ Gryglewicz และคณะ [18] ว่ากำมะถันอินทรีย์จะเพิ่มขึ้นในช่วงที่กำมะถันไฟไวร์ต์เกิดการสลายตัวเนื่องจากธาตุกำมะถัน หรือแก๊สไฮโดรเจนซัลไฟด์ที่เกิดขึ้นสามารถสร้างพันธะ C-S กับ Coal matrix ขึ้นมาใหม่ทำให้ปริมาณกำมะถันในถ่านชาร์ฟเพิ่มขึ้น สอดคล้องกับสมการการจับยึดกำมะถัน (Sulfur fixation) ที่เสนอโดย Khan แสดงดังตารางที่ 2.3

ผลิตภัณฑ์แก๊สส่วนใหญ่ที่เกิดขึ้นจะอยู่ในรูปแก๊สไฮโดรเจนซัลไฟด์ และคาร์บอนิลซัลไฟด์ (COS) และที่อุณหภูมิสูง (สูงกว่า 850 องศาเซลเซียส) แก๊สทั้งสองชนิดอาจเกิดปฏิกิริยาต่อไปเป็นแก๊สคาร์บอนไดออกไซด์ Khan เสนอไว้ดังสมการ



2.9 งานวิจัยที่เกี่ยวข้อง

Quanrun และคณะ [19] ศึกษาผลของแร่ธาตุต่อพฤติกรรมของกำมะถันระหว่างการไฟโรไอล์ส์ถ่านหินที่ความดันสูง โดยใช้ถ่านหินที่ผ่านและไม่ผ่านการล้างด้วยกรดไฮโดรคลอริก/กรดไฮโดรฟลูออิค (HCl/HF) และกรดไฮโดรคลอริก/กรดไฮโดรฟลูออิค/กรดไนโตริก (HCl/HF/HNO₃) ในเครื่องปฏิกรณ์แบบเบดนิง ภายใต้ความดัน 2 เมกะ帕斯คัล พบร่วมกับการสลายตัวของกำมะถันไฟไวต์อยู่ในช่วงอุณหภูมิระหว่าง 450 – 550 องศาเซลเซียส สำหรับกำมะถันอินทรีพบว่าที่ช่วงอุณหภูมิสูงจะดีกว่าต้นที่ต่ำ เนื่องจากการกำมะถันไฟไวต์เปลี่ยนเป็นกำมะถันอินทรี เมื่อเปรียบเทียบผลการขัดกำมะถันรวมของการถ่านหินพบว่าถ่านหินที่ไม่ผ่านการล้างด้วยกรดให้ค่าการขัดกำมะถันที่สูงกว่า เนื่องจากถ่านหินที่ไม่ผ่านการล้างด้วยกรดมีสารประกอบแร่ธาตุไปจับกำมะถันเกิดเป็นสารประกอบกำมะถันบนถ่านชาาร์

Semra [20] ศึกษาการขัดกำมะถันจากถ่านหินลิกไนต์ตุรกีด้วยกระบวนการไฟโรไอลซิสที่บรรยายกาศแก๊สต่างๆ พบร่วมกับการไฟโรไอล์ส์ถ่านหินในบรรยายกาศคาร์บอนไดออกไซด์ให้ค่าการขัดกำมะถันอินทรีและกำมะถันอนินทรีเพิ่มขึ้นเมื่อมีการเพิ่มอุณหภูมิ การขัดกำมะถันอินทรีในบรรยายกาศแก๊สคาร์บอนไดออกไซด์ให้ค่าการขัดกำมะถันสูงที่อุณหภูมิสูง สำหรับการล้างถ่านหินด้วยกรดไฮโดรคลอริก (HCl) ให้ค่าการขัดกำมะถันอนินทรีสูงแต่การขัดกำมะถันอินทรีต่ำ สำหรับการล้างถ่านหินด้วยกรดไฮโดรคลอริก/กรดไฮโดรฟลูออิค (HCl/HF) มีผลอย่างมากต่อการขัดกำมะถันอินทรีและกำมะถันอนินทรี เนื่องจากการถ่ายโอนมวลและความร้อนมากขึ้นเมื่อเทียบกับถ่านหินที่ไม่ผ่านการล้างด้วยกรด

Haoquan และคณะ [21] ศึกษาการเจาะแจงผลิตภัณฑ์และพฤติกรรมของกำมะถันในกระบวนการไฟโรไอลซิสถ่านหินที่ความดันบรรยายกาศ ผลการวิจัยพบว่าอุณหภูมิเป็นปัจจัยที่สำคัญที่สุดที่มีผลต่อการเจาะแจงผลิตภัณฑ์และการขัดกำมะถันออกจากถ่านหิน นอกจากนี้จากสมบัติของถ่านหิน แก๊สผลิตภัณฑ์จากกระบวนการไฟโรไอลซิส ได้แก่ แก๊สคาร์บอนมอนอกไซด์ (CO) และแก๊สคาร์บอนไดออกไซด์ (CO₂) ขึ้นกับปริมาณออกซิเจนในถ่านหิน สำหรับแก๊สผลิตภัณฑ์ที่มีกำมะถันเป็นองค์ประกอบ ได้แก่ แก๊สไฮโดรเจนซัลไฟด์ และแก๊สคาร์บอนมอนิลซัลไฟด์ (H₂S และ COS) ขึ้นกับปริมาณกำมะถันในถ่านหิน การขัดกำมะถันในกระบวนการไฟโรไอลซิสที่ภาวะต่างกันขัดได้ร้อยละ 15 - 40 ขึ้นกับชนิดของถ่านหิน อุณหภูมิ และเวลา

Hu [22] ศึกษาการขัดจำกัดกำมะถันจากถ่านหินด้วยกระบวนการไฟโรไอลซิสที่ภาวะปริมาณอากาศแก๊สต่างๆ โดยไฟโรไอล์สถ่านหินลิกไนต์ที่มีกำมะถันร้อยละ 0.72 โดยน้ำหนัก จนถึงอุณหภูมิ 400, 450, 500, 550, 600, 650 และ 700 องศาเซลเซียส ในบรรยากาศในต่อเจน และบรรยากาศแก๊สผสมเอทิลีนและในต่อเจน พบว่าบรรยากาศแก๊สผสมเอทิลีนและในต่อเจนที่อุณหภูมิต่ำให้ผลการขัดจำกัดกำมะถันที่ดีกว่า เนื่องจากเอทิลีนช่วยให้เกิดการปล่อยออกของกำมะถันในถ่านหิน และที่อุณหภูมิสูงในบรรยากาศแก๊สผสมเกิดการสูญเสียน้ำหนักของถ่านหินต่ำ เนื่องจากปฏิกิริยาของเอทิลีนกับถ่านหิน

Yongqin และคณะ [23] ศึกษาประสิทธิภาพในการขัดจำกัดกำมะถันจากถ่านหินด้วยกระบวนการไฟโรไอลซิสในเครื่องปฏิกรณ์ฟลูอิเดอร์เบด พบว่าตัวแปรที่สำคัญของกระบวนการไฟโรไอลซิสคือ อุณหภูมิ เวลา และบรรยากาศแก๊ส ภาวะที่ดีที่สุดของการขัดจำกัดกำมะถันด้วยกระบวนการไฟโรไอลซิสขึ้นกับชนิดของถ่านหิน การสะสมของกำมะถันอินทรีย์ในถ่านชาร์เกิดขึ้นเนื่องจากปฏิกิริยาระหว่างกำมะถันอินทรีย์และกำมะถันอนินทรีย์ สำหรับการไฟโรไอล์สถ่านหินในบรรยากาศแก๊สผสมออกซิเจนและในต่อเจน ($0.6\% O_2-N_2$) พบว่าช่วยเพิ่มประสิทธิภาพในการขัดจำกัดกำมะถันเนื่องจากเกิดปฏิกิริยาระหว่างออกซิเจนและสารประกอบกำมะถันได้ดี

Ibarra และคณะ [14] ศึกษาการปล่อยออกของสารประกอบกำมะถันระหว่างกระบวนการไฟโรไอลซิสที่อุณหภูมิต่ำโดยใช้เครื่องปฏิกรณ์แบบเบดนิงในบรรยากาศในต่อเจนที่อุณหภูมิต่างๆ จนถึง 850 องศาเซลเซียส ด้วยอัตราการให้ความร้อน 5 องศาเซลเซียสต่อนาที พบว่าแก๊สไฮโดรเจนชัลไฟด์ได้จากการถลอกตัวของกำมะถันไฟโรต์ บริมาณของกำมะถันรวมที่ถูกขจัดจากถ่านหินด้วยกระบวนการไฟโรไอลซิสอยู่ในช่วงร้อยละ 35 – 64 การไฟโรไอล์สที่อุณหภูมิต่ำกว่า 700 องศาเซลเซียส ให้ค่าการขัดจำกัดกำมะถันได้ถึงร้อยละ 90 ซึ่งเพียงพอสำหรับกระบวนการไฟโรไอลซิส

Gryglewicz [13] ศึกษาพฤติกรรมของกำมะถันระหว่างการไฟโรไอล์สถ่านหินไปแลนด์ จำกัดกำมะถันสูง โดยไฟโรไอล์สถ่านหินที่มีกำมะถันร้อยละ 4.9 โดยน้ำหนัก ที่อุณหภูมิ 330 – 1700 องศาเซลเซียส ในบรรยากาศแก๊สจากกระบวนการไฟโรไอลซิสพบว่าอุณหภูมิ 360 – 700 องศาเซลเซียส จำกัดกำมะถันไฟโรต์เปลี่ยนเป็นเฟอร์สชัลไฟด์ (FeS) และในช่วงอุณหภูมิ 450 – 600 องศาเซลเซียส เกิดการสะสมของกำมะถันอินทรีย์ในถ่านชาร์ควบคู่กันไป การไฟโรไอล์สถ่านหินที่อุณหภูมิ 1700 องศาเซลเซียส ไม่สามารถขัดจำกัดกำมะถันชัลไฟด์ได้อย่างสมบูรณ์

Gryglewicz [24] ศึกษาประสิทธิภาพของกระบวนการไฟโรไลซิสที่อุณหภูมิสูงต่อการขัดกำมะถันออกจากการถ่านหิน ไฟโรไลส์ถ่านหินไปแลนด์ที่มีปริมาณกำมะถันร้อยละ 0.37 – 4.90 โดยนำหัวนากที่อุณหภูมิ 1000 องศาเซลเซียส พบร่วมกับไนโตรเจนของปริมาณการขัดกำมะถันลดลงเมื่อศักดิ์ของถ่านหินสูงขึ้น และประสิทธิภาพในการขัดกำมะถันของกระบวนการไฟโรไลซิสขึ้นกับปริมาณกำมะถันรวมในถ่านชาร์และปริมาณของกำมะถันรูปแบบต่างๆ ในถ่านหินตั้งต้น

Sugawara และคณะ [15] ศึกษาผลของการอัตราชารให้ความร้อนและอุณหภูมิต่อการขัดกำมะถันจากถ่านหินบิทูมินัสด้วยกระบวนการไฟโรไลซิส โดยเครื่องวิเคราะห์ทางความร้อน (Thermogravimetric analyzer, TGA) ในบรรยากาศแก๊สไนโตรเจน และอัตราชารให้ความร้อน 20 – 100 องศาเซลเซียสต่อนาที พบร่วมกับกำมะถันถูกขัดได้ดีในช่วงอุณหภูมิ 500 - 700 องศาเซลเซียส และปริมาณกำมะถันที่อยู่ในถ่านชาร์ขึ้นกับอัตราชารให้ความร้อนและอุณหภูมิสุดท้ายของกระบวนการไฟโรไลซิส สำหรับการไฟโรไลส์ถ่านหินโดยเตาปฏิกิริยานแบบตกอิสระ (Free fall pyrolyzer) ขัดกำมะถันได้ดีที่อัตราชารให้ความร้อนสูง

สมฤดิ ริมพะสุต [25] ศึกษาจลนพลศาสตร์การสลายตัวของกำมะถันในถ่านหินระหว่างการเผาในเชื้อน จำกัดตัวอย่างถ่านหินแม่เมะและบ้านปูในเตาเผาแบบท่อ (Tubular furnace) ที่อุณหภูมิ 400 ถึง 700 องศาเซลเซียส ตั้งแต่เวลา 0 ถึง 90 นาที พบร่วมกับการเพิ่มอุณหภูมิและเวลาทำให้ขัดกำมะถันได้ดีขึ้น โดยเฉพาะกำมะถันไฟโรต์และกำมะถันชัลเฟต ส่วนกำมะถันอินทรีมีการเปลี่ยนแปลงน้อยมาก สำหรับถ่านหินแม่เมะกำมะถันไฟโรต์และกำมะถันชัลเฟตสลายตัวสมบูรณ์ที่อุณหภูมิ 500 องศาเซลเซียส เวลา 90 นาที และ 600 องศาเซลเซียส เวลา 10 นาที ตามลำดับ สำหรับถ่านหินบ้านปูพบว่ากำมะถันไฟโรต์และกำมะถันชัลเฟตสลายตัวสมบูรณ์ที่ 700 องศาเซลเซียส เวลา 20 และ 10 นาที ตามลำดับ

ฉัตรชัย ชนศรีสุข [26] ศึกษาการขัดกำมะถันจากถ่านหินลิกไนต์แม่เมะโดยไฟโรไลส์ที่อุณหภูมิต่ำ พบร่วมกับอุณหภูมิมีผลอย่างมากต่อประสิทธิภาพในการขัดกำมะถันจากถ่านหินร้อยละการขัดกำมะถันอินทรีสูงขึ้นอย่างรวดเร็วเมื่ออุณหภูมิสูงขึ้นจนถึง 600 องศาเซลเซียส สำหรับกำมะถันไฟโรต์และกำมะถันชัลเฟตพบว่า การเพิ่มอุณหภูมิมีผลให้การขัดกำมะถันเพิ่มขึ้นจนถึงอุณหภูมิ 700 องศาเซลเซียส เมื่อไฟโรไลส์ถ่านหินที่อุณหภูมิเดียวกัน พบร่วมกับบรรยากาศแก๊สไอกอิโตรเจนให้ผลการขัดกำมะถันอินทรีที่สูงกว่าในบรรยากาศแก๊สไนโตรเจนมากนัก เมื่อพิจารณาทางด้านเศรษฐศาสตร์การไฟโรไลส์ถ่านหินในบรรยากาศแก๊สไนโตรเจนจึงมีความเหมาะสมมากกว่า

บทที่ 3

เครื่องมือและวิธีการทดลอง

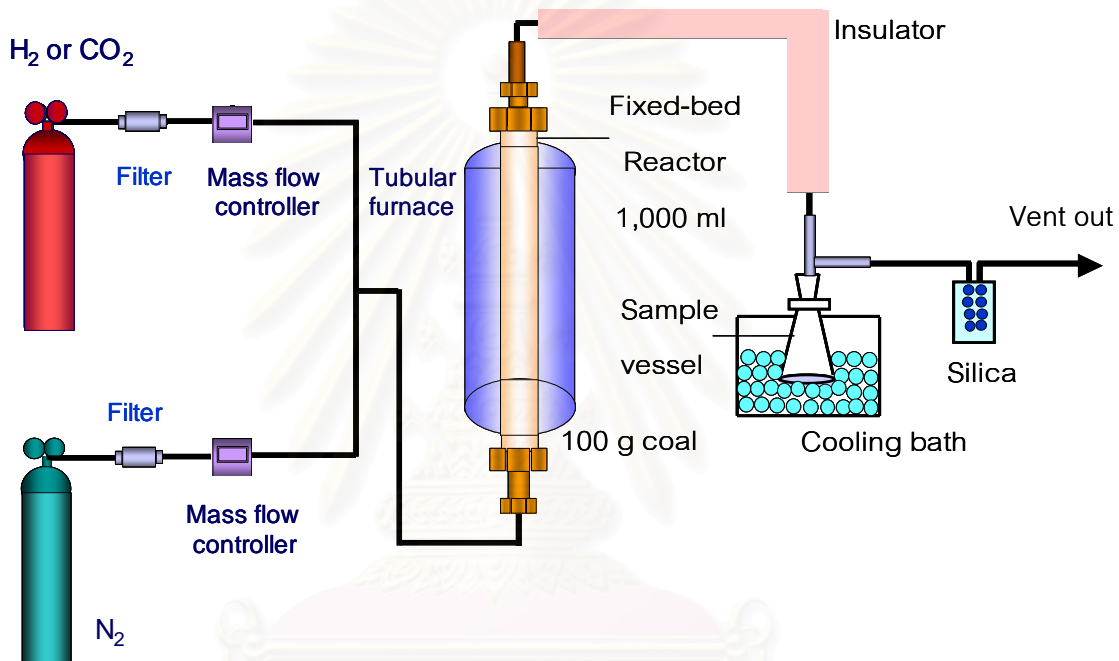
งานวิจัยนี้ศึกษาผลของตัวแปรต่าง ๆ ที่มีต่อการแจกแจงผลิตภัณฑ์ และพฤติกรรมของ
กำมะถันระหว่างการไฟโรไลส์ถ่านหินในบรรยายกาศแก๊สต่างๆ การทดลองไฟโรไลซิสเพื่อหาภาวะที่
เหมาะสมในการขัดกำมะถันออกจากถ่านหินลิกไนต์ แบ่งการทดลองออกเป็น 2 ส่วนคือ ส่วนที่
หนึ่งเป็นการทดลองภายใต้บรรยายกาศของแก๊สไนโตรเจน และส่วนที่สองเป็นการทดลองภายใต้
บรรยายกาศของแก๊สผสมไนโตรเจนและไฮโดรเจน, แก๊สผสมไนโตรเจนและคาร์บอนไดออกไซด์ ทุก
การทดลองศึกษาปริมาณผลิตภัณฑ์ที่ได้จากการburning ไฟโรไลซิสคือ ปริมาณถ่านชาร์น้ำมัน
ทาร์รวมกับน้ำ แก๊ส และวิเคราะห์ผลิตภัณฑ์ถ่านชาร์เพื่อหาภาวะที่เหมาะสมของการขัด
กำมะถันออกจากถ่านหิน

ตัวแปรของการศึกษาคือ อุณหภูมิ เวลา อัตราการไหลแก๊ส ชนิดของถ่านหิน และปริมาณการซึมของแก๊ส ได้แก่ แก๊สในตรรжен แก๊สผงสมในตรรженและไฮดรรเจน และแก๊สผงสมในตรรженและการบอนไดออกไซด์

3.1 เครื่องมือและอุปกรณ์การทดลอง

- เครื่องบดถ่านหินชนิดหยาบและชนิดละเอียด
 - เครื่องร่อนแยกและตะแกรงร่อนถ่านหินขนาด 250 ไมครอน (เบอร์ 60)
 - เตาอบ (Oven)
 - เตาเผาแบบท่อ (Tubular Furnace) Carbolite model CTF12/75/700/201 แสดงในรูปที่ 3.2
 - เครื่องปฏิกรณ์แบบเบดนิ่งทำจากท่อสแตนเลส 316 (Stainless steel tube 316) ตามมาตรฐาน ASTM A269 เส้นผ่าศูนย์กลางภายนอก 1.80 นิ้ว ความหนา 0.035 นิ้ว และความยาว 24 นิ้ว แสดงในรูปที่ 3.3
 - ตัวกรอง (Filter) ผลิตโดย Swagelok ความละเอียดของไส้กรอง 0.5 ไมโครเมตร
 - เครื่องควบคุมอัตราการไหลแก๊ส (Mass flow controller) Aalborg model GFC 171 ควบคุมอัตราการไหลแก๊สได้สูงสุด 2.0 ลิตรต่อนาที
 - ถังหล่อเย็น (Cooling bath) Heto model OBN 18

9. เครื่องมือฟูริเคนส์ทรายสฟอร์ม อินฟราเรดสเปกโตรมิเตอร์ (Fourier Transform Infrared Spectrometer, FT – IR) Thermo model DF3C206A
10. เครื่องบ่อกำบัสแคลอริเมเตอร์ (Oxygen Bomb Calorimeter) Parr Instrument Company model 1341EE
11. เครื่องแก๊สโครมาโทกราฟ (Gas Chromatograph) Hewlett Packard 5890 series II พร้อมดีเทคเตอร์ (Detector) แบบ TCD และมี 3 คอลัมน์ คือ Molecular sieve, Plot Q และ OV-1สำหรับวิเคราะห์องค์ประกอบของผลิตภัณฑ์แก๊ส



รูปที่ 3.1 อุปกรณ์กระบวนการไฟโรไลซ์ถ่านหิน

สถาบันวิทยบริการ
จุฬาลงกรณ์มหาวิทยาลัย



รูปที่ 3.2 เตาเผาแบบท่อ (Tubular Furnace)



รูปที่ 3.3 เครื่องปฏิกรณ์แบบเบดนิ่ง (Fixed-bed reactor)

3.2 ถ่านหินและสารเคมี

1. ถ่านหินลิกไนเต็ดบดละเอียดผ่านตะแกรงร่องเบอร์ 60 (ขนาดน้ำอยกว่า 250 ไมโครเมตร) จากการไฟฟ้าฝ่ายผลิตแห่งประเทศไทย (โรงไฟฟ้าแม่เมะ) จังหวัดลำปาง
2. แก๊สไนโตรเจน 99.99% จากบริษัท ยูไนเต็ด อินดัสเตรียลแก๊ส จำกัด, แก๊สไฮโดรเจน 99.99% จากบริษัทเอนไทร์โรเมต และแก๊สคาร์บอนออกไซด์ จากบริษัทเพรากซ์แอร์
3. แอมโมเนียมไฮド록ไซด์เข้มข้น (conc. NH_4OH) จาก Panreac
4. กรดไฮโดรคลอวิคเข้มข้น (conc. HCl) จาก J.T.Baker
5. สารละลายแบปรี้ยมคลอไรด์ (BaCl_2) จาก Merck
6. สารละลายซิลเวอร์ไนเตรต (AgNO_3) จาก Prolabo
7. น้ำ bromine คอมตัว (Br_2 water) จาก Panreac
8. เอทานอล (Ethanol) จาก Panreac
9. สารละลายเมทิลออเรนจ์ (Methyl Orange) จาก May and Baker
10. สารละลายแلنทานัมคลอไรด์ (LaCl_3) จาก APS
11. กรดไนต์ริก (HNO_3) จาก Panreac
12. กระดาษกรองเบอร์ 1 และเบอร์ 42 จาก Whatman

3.3 การดำเนินงานวิจัย

3.3.1 การออกแบบการทดลองกระบวนการไฟโรไลซิสถ่านหินในบรรยายกาศในต่อเจน

งานวิจัยส่วนนี้ศึกษาตัวแปรต่างๆ ที่มีผลต่อการแยกแยะผลิตภัณฑ์ และพฤติกรรมของกำมะถันระหว่างการไฟโรไลซ์ถ่านหินในบรรยายกาศแก๊สไนโตรเจน เนื่องจากกระบวนการไฟโรไลซ์ดังกล่าวเป็นกระบวนการขั้นต้นที่สำคัญที่ช่วยขจัดกำมะถันออกจากถ่านหินได้อย่างมีประสิทธิภาพ จึงมีการออกแบบการทดลองเพื่อหาภาวะที่เหมาะสมของกระบวนการทดลอง

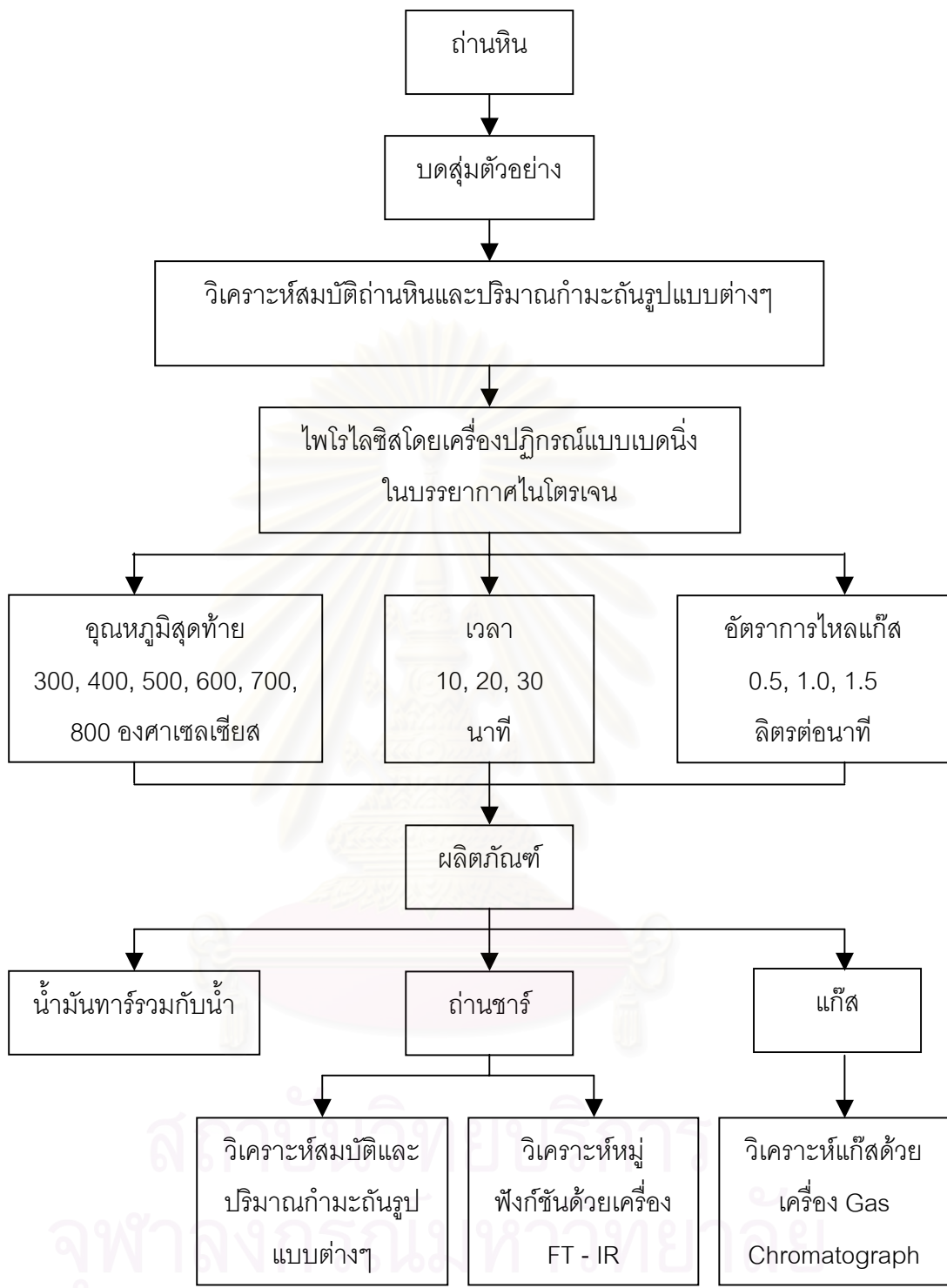
การออกแบบการทดลองเป็นแบบแฟกทอเรียล โดยแต่ละตัวแปรมี 2 ระดับ และทำการทดลองควบคุกการทดลอง ตัวแปรที่ทำการศึกษามี 3 ตัวแปร คือ อุณหภูมิ เวลา และอัตราการไฟลแก๊ส ตามตารางที่ 3.1 จำนวนการทดลองคือ 2^3 การทดลอง พร้อมทั้งตรวจสอบความเป็นเส้นตรงของการออกแบบการทดลองนี้

ตารางที่ 3.1 ตัวแปรและระดับของตัวแปรที่ทำการศึกษา

ตัวแปร	ระดับต่ำ(-)	ระดับสูง(+)
อุณหภูมิ (องศาเซลเซียส)	300	800
เวลา (นาที)	10	30
อัตราการไหลแก๊ส (ลิตรต่อนาที)	0.5	1.5

3.3.2 ศึกษาผลของตัวแปรต่างๆ ได้แก่ อุณหภูมิของเตาเผาแบบท่อ (200–900 องศาเซลเซียส) เวลา (5–40 นาที) อัตราการไหลแก๊ส (0.25–1.75 ลิตรต่อนาที) ศึกษาผลของบรรยายกาศแก๊สผสม และศึกษาผลของชนิดถ่านหิน ขั้นตอนการทดลองของกระบวนการไฟโรไอลซิสดังแสดงในรูปที่ 3.4

**สถาบันวิทยบริการ
จุฬาลงกรณ์มหาวิทยาลัย**



รูปที่ 3.4 ขั้นตอนการทดลองกระบวนการไฮโดรเจน

3.4 ขั้นตอนการดำเนินงานวิจัย

3.4.1 การเตรียมตัวอย่างถ่านหิน

1. ตากถ่านหินทิ้งไว้ที่อุณหภูมิห้องเพื่อให้ความชื้นอิสระจนกระทั่งน้ำหนักคงที่
2. บดถ่านหินให้มีขนาดเล็กด้วยเครื่องบดหยาบและบดละเอียดตามลำดับ
3. นำถ่านหินที่ผ่านการบดละเอียดมากรองผ่านตะแกรงเบอร์ 60 จากนั้นตากถ่านหินจนมีความชื้นสมดุลกับอากาศประมาณ 3 วัน

3.4.2 วิเคราะห์สมบัติถ่านหินเบื้องต้น [28-34]

1. การวิเคราะห์แบบประมาณ (Proximate Analysis, ASTM D3173 – D3175)
2. การวิเคราะห์แบบแยกธาตุ (Ultimate Analysis)
3. การวิเคราะห์ค่าความร้อน (Gross Calorific Value, ASTM D2015) ปริมาณกำมะถันรวมและรูปแบบกำมะถันในถ่านหิน (Total sulfur and forms of sulfur, ASTM D3177 และ ASTM D2492) ได้แก่ กำมะถันซัลเฟต กำมะถันไฟโรต์ และ กำมะถันอินทรีย์

3.4.3 การไฟโรไลส์ถ่านหิน

1. ชั่งถ่านหินปริมาณ 100 กรัม ใส่ลงในเครื่องปฏิกิริณ์
2. นำเครื่องปฏิกิริณ์วางลงในเตาเผาแบบท่อ โดยให้ตำแหน่งของถ่านหินในเครื่องปฏิกิริณ์อยู่ตรงกลางเตาเผา ประกอบเครื่องมือและอุปกรณ์ต่างๆพร้อมกับทดสอบอย่างรัด จากนั้นตั้งค่าอุณหภูมิที่เตาเผา โดยระบบของเครื่องควบคุมอุณหภูมนีอัตราการให้ความร้อนประมาณ 15 - 20 องศาเซลเซียสต่อนาที อัตราการไหลดแก๊ส 0.5 – 1.5 ลิตรต่อนาที และเวลาของไฟโรไลซิส 10 - 30 นาที โดยเริ่มจับเวลาเมื่ออุณหภูมิภายในเครื่องปฏิกิริณ์ลงค่าที่กำหนดไว้
3. เมื่อครบระยะเวลาของไฟโรไลซิส ปิดเตาเผาและแก๊สที่ไหลดผ่านเครื่องปฏิกิริณ์ จากนั้นยกเครื่องปฏิกิริณ์แบบเบดนิ่งออกจากการเผาไว้ที่อุณหภูมิห้อง และรอจนกระทั่งเครื่องปฏิกิริณ์เย็น
4. วิเคราะห์ผลิตภัณฑ์แก๊สด้วยเครื่องไมโครแก๊สโคลมาโทกราฟ
5. ชั่งน้ำหนักผลิตภัณฑ์ของเหลว และผลิตภัณฑ์ของแข็งหรือถ่านชาร์ทลังการไฟโรไลส์ถ่านหิน เก็บถ่านชาร์ทที่ได้นำไปวิเคราะห์สมบัติต่างๆ ต่อไป

3.4.4 การวิเคราะห์ผลิตภัณฑ์แก๊สด้วยเครื่องแก๊สโครมาโทกราฟ

เครื่องแก๊สโครมาโทกราฟที่ใช้วิเคราะห์ คือ Agilent 3000A Micro GC ซึ่งประกอบด้วย ตีเทคเตอร์แบบ TCD และคอลัมน์ 3 คอลัมน์คือ Molecular sieve, Plot Q และ OV-1 โดยข้อมูล และภาวะของเครื่องแก๊สโครมาโทกราฟ แสดงในภาคผนวก ฉ

3.4.5 วิเคราะห์สมบัติของถ่านชาร์หลังการไฟโรไลส์ถ่านหิน

1. การวิเคราะห์แบบประมาณ (Proximate analysis, ASTM D3173 – D3175)
2. การวิเคราะห์ค่าความร้อน (Gross Calorific Value, ASTM D2015) ปริมาณ กำมะถันรวมและรูปแบบกำมะถันในถ่านหิน (Total sulfur and forms of sulfur, ASTM D3177 และ ASTM D2492) ได้แก่ กำมะถันชัลเฟต์ กำมะถันไฟไวร์ และ กำมะถันอินทรีย์
3. การวิเคราะห์หมุพังค์ชันของโมเลกุลในถ่านชาร์ โดยใช้เครื่องมือฟูเรียร์ ทรายสฟอร์ม อินฟราเรดスペกโตรมิเตอร์ (Fourier Transform Infrared Spectrometer, FT – IR) ด้วยเทคนิค KBr-pellet ดังแสดงในภาคผนวก ง

3.5 การคำนวณ

1. การคำนวณร้อยละการเปลี่ยนถ่านหิน

$$\text{ร้อยละการเปลี่ยนของถ่านหิน (af)} = \frac{100 [(W_{\text{coal,af}} - W_{\text{char}}) / W_{\text{coal,af}}]}{}$$

2. การคำนวณร้อยละผลได้ของเหลว

$$\text{ร้อยละผลได้ของเหลว (af)} = \frac{100 [W_{\text{liq}} / W_{\text{coal,af}}]}{}$$

3. การคำนวณร้อยละผลได้ของแข็ง

$$\text{ร้อยละผลได้ของแข็ง (af)} = \frac{100 [W_{\text{char}} / W_{\text{coal,af}}]}{}$$

4. การคำนวณร้อยละผลได้แก๊สผลิตภัณฑ์

$$\text{ร้อยละผลได้แก๊สผลิตภัณฑ์ (af)} = 100 - \text{ร้อยละผลได้ของเหลว} - \text{ร้อยละผลได้ของแข็ง}$$

โดย W_{char} = น้ำหนักถ่านชาร์หลังไฟโรไลซ์

W_{liq} = น้ำหนักของผลิตภัณฑ์ของเหลว (น้ำมันทาร์รวมกับน้ำ)

$W_{\text{coal,af}}$ = น้ำหนักของถ่านหินที่ปราศจากเถ้า (ash-free)

5. การคำนวณร้อยละการขาดกำมะถัน

$$\text{ร้อยละการขาดกำมะถัน} = [(S_0 - (S \times Y))/S_0] \times 100$$

โดย S_0 = ร้อยละกำมะถันเริ่มต้นในถ่านหิน

S = ร้อยละกำมะถันในถ่านชาร์

Y = สัดส่วนของน้ำหนักถ่านชาร์ต่อน้ำหนักถ่านหินเริ่มต้น

S_0 คือ กำมะถันรวม, กำมะถันไฟเซอร์, กำมะถันชัลเฟต และกำมะถันอินทรี

สถาบันวิทยบริการ
จุฬาลงกรณ์มหาวิทยาลัย

บทที่ 4

ผลการทดลองและวิจารณ์ผลการทดลอง

งานวิจัยนี้ศึกษาผลของตัวแปรต่างๆ ที่มีต่อการแยกแจงของผลิตภัณฑ์ และพฤติกรรมของกำมะถันระหว่างการไฟโรไลซ์ถ่านหินในบรรยายกาศแก๊สต่างๆ ตัวแปรที่ใช้ในการศึกษาประกอบด้วย อุณหภูมิ เวลา อัตราการไอลแก๊ส ชนิดถ่านหิน และบรรยายกาศแก๊ส ได้แก่ แก๊สในตัวเรนแก๊สสมในตัวเรนและไฮโดรเจน และแก๊สสมในตัวเรนและคาร์บอนไดออกไซด์ งานวิจัยนี้แสดงผลของตัวแปรต่อร้อยละการเปลี่ยนถ่านหิน ร้อยละการขัดกำมะถันออกจากถ่านหิน หมุนฟังก์ชันของโมเลกุลในถ่านชาร์ และองค์ประกอบผลิตภัณฑ์แก๊ส

4.1 การวิเคราะห์สมบัติถ่านหินเริ่มต้น

การวิเคราะห์แบบประมาณ (Proximate Analysis) เป็นการวิเคราะห์เบื้องต้นเพื่อหาสมบัติของถ่านหิน โดยวิเคราะห์ตามมาตรฐาน ASTM D3173 – D3175 (ภาคผนวก ช) ได้แก่ เถ้าสารระเหย และคาร์บอนคงตัว การวิเคราะห์แบบแยกธาตุใช้เครื่องวิเคราะห์แบบแยกธาตุ (C, H, N, elemental analyzer) การวิเคราะห์ปริมาณกำมะถันรวมตามมาตรฐาน ASTM D3177 และปริมาณรูปแบบกำมะถันตามมาตรฐาน ASTM D2492 ได้แก่ กำมะถันชัลเพต กำมะถันไฟวาร์ต และกำมะถันอินทรีย์ แสดงผลดังตารางที่ 4.1

ผลการวิเคราะห์สมบัติของถ่านหินทั้งสองชนิด พบร่วมถ่านหินทั้งสองมีปริมาณเถ้า และปริมาณคาร์บอนคงตัวที่ต่างกันอย่างเห็นได้ชัด โดยถ่านหินแม่เมะ 1 และแม่เมะ 2 มีปริมาณเถ้าร้อยละ 15.6, 33.8 ตามลำดับ และมีปริมาณคาร์บอนคงตัวร้อยละ 45.6, 28.4 ตามลำดับ แสดงให้เห็นว่า ถ่านหินแม่เมะ 1 มีคุณภาพดีกว่า เนื่องจากมีปริมาณเถ้าต่ำกว่า และมีปริมาณคาร์บอนคงตัวสูงกว่า อย่างไรก็ตามถ่านหินทั้งสองชนิดมีปริมาณกำมะถันที่ไม่แตกต่างกัน โดยถ่านหินแม่เมะ 1 และแม่เมะ 2 มีปริมาณกำมะถันรวม 3.36, 3.53 ตามลำดับ จากผลดังกล่าว แสดงให้เห็นว่าถ่านหินทั้งสองชนิดมีสมบัติที่ต่างกันคือ ปริมาณเถ้าและคาร์บอนคงตัวต่างกัน จึงเป็นตัวอย่างที่เหมาะสมในการนำมาวิจัยเพื่อศึกษาผลของคุณภาพถ่านหินและปริมาณเถ้าต่อการขัดกำมะถันออกจากถ่านหิน

ตารางที่ 4.1 สมบัติของถ่านหินแม่มา乍

	แม่มา乍1	แม่มา乍2
<u>การวิเคราะห์แบบประมาณ (%Dry basis)</u>		
เล้า	15.6	33.8
สารระเหย	38.8	37.8
คาร์บอนคงตัว	45.6	28.4
<u>การวิเคราะห์แบบแยกธาตุ (%Dry basis)</u>		
คาร์บอน	49.3	34.2
ไฮโดรเจน	3.54	5.32
ไนโตรเจน	0.85	1.36
กำมะถัน	3.36	3.53
ออกซิเจน	27.4	21.9
เล้า	15.6	33.8
ค่าความร้อน (MJ/kg)	18.0	17.8
<u>รูปแบบของกำมะถัน (%Dry basis)</u>		
กำมะถันไฟไวต์	0.71	0.44
กำมะถันชัลเฟต	0.52	0.42
กำมะถันอินทรีย์	2.13	2.67

สถาบันวิทยบริการ
จุฬาลงกรณ์มหาวิทยาลัย

4.2 ผลการออกแบบการทดลองเชิงแฟกทอเรียลในบรรยายกาศแก๊สในต่อเจนต่อร้อยละการขัดจำกัดนักเรียนจากถ่านหินแม่เมะ 1

งานวิจัยนี้ศึกษาผลของตัวแปรต่างๆ ต่อการขัดจำกัดนักเรียนจากถ่านหินโดยกระบวนการไฟฟ์โอลีซิสในบรรยายกาศแก๊สต่างๆ การทดลองเบื้องต้นด้วยวิธีแฟกทอเรียลเป็นการศึกษาไฟฟ์โอลีซิสภายใต้บรรยายกาศของแก๊สในต่อเจน ผลของตัวแปร ได้แก่ อุณหภูมิ (A) เวลา (B) และอัตราการไหลแก๊ส (C) โดยออกแบบเชิงแฟกทอเรียลแบบ 2^3 ซึ่งมีการทดลองรวมทั้งหมด 8 การทดลอง และสามารถเขียนลำดับมาตรฐานของการทดลองร่วมปัจจัยที่เกิดขึ้นทั้งหมดได้เป็น [1], a, b, ab, c, ac, bc และ abc ภาวะและผลของการทดลองแสดงดังตารางที่ 4.2

ตารางที่ 4.2 ผลการทดลองจากภาวะการทดลองเชิงแฟกทอเรียลภายใต้บรรยายกาศแก๊สในต่อเจน

การทดลอง	ตัวแปร			ปริมาณ	ปริมาณ	ปริมาณ	การขัดจำกัด	การเปลี่ยน
	A	B	C	แก๊ส (%)	ของเหลว (%)	ถ่านชาร์จ (%)	กำมะถันรวม (%)	กำมะถันรวม (%)
[1]	-	-	-	0.08	1.33	98.6	3.43	12.8
a	+	-	-	7.38	30.5	62.1	3.30	47.1
b	-	+	-	0.12	1.79	98.1	3.37	14.7
ab	+	+	-	8.35	32.0	59.7	3.13	51.9
c	-	-	+	0.13	2.25	97.6	3.50	11.9
ac	+	-	+	13.8	33.3	52.9	3.27	55.5
bc	-	+	+	0.38	4.97	94.7	3.45	15.8
abc	+	+	+	17.3	36.8	45.9	3.02	54.0
A (องศาเซลเซียส)			:	300(-), 800(+)				
B (นาที)			:	10(-), 30(+)				
C (ลิตรต่อนาที)			:	0.5(-), 1.5(+)				

จากผลการทดลองพบว่าในบรรยายกาศแก๊สในต่อเจน ร้อยละการขัดจำกัดนักเรียนจากถ่านหินอยู่ในช่วงประมาณร้อยละ 10 – 65 ร้อยละการเปลี่ยนถ่านหินอยู่ในช่วงประมาณ 1 - 54 ร้อยละการขัดจำกัดนักเรียนรวมสูงสุด 64.3 และร้อยละการเปลี่ยนถ่านหินสูงสุด 54.0 ที่อุณหภูมิ 800 องศาเซลเซียส เวลา 30 นาที และอัตราการไหลแก๊ส 1.5 ลิตรต่อนาที จากผลการทดลองข้างต้นนำไปวิเคราะห์ค่า Factor effect estimate และ Sum of Square (SS) เพื่อตรวจสอบผลของตัวแปร

กระบวนการแสดงดังตารางที่ 4.3 สำหรับร้อยละการขัดจำกัดภัยคุกคาม และตารางที่ 4.6 สำหรับร้อยละการเปลี่ยนถ่านหิน ผลของตัวแปรต่างๆ สร้างเป็น Normal probability plot ของการไฟเซอร์ไซส์ถ่านหินในบรรยากาศแก๊สไนโตรเจนแสดงในรูปที่ 4.1 และรูปที่ 4.2

จาก Normal probability plot ในรูปที่ 4.1 และรูปที่ 4.2 พบร่วมกันที่เปลี่ยนแปลงของจากกิจกรรม คือ ตัวแปร A และ C คือ อุณหภูมิ และอัตราการไหลแก๊ส ตามลำดับ วิเคราะห์ค่าความแปรปรวน (Analysis of variance) เพื่อตรวจสอบผลของตัวแปรกระบวนการแสดงดังตารางที่ 4.4 และตารางที่ 4.7 จากตารางเมื่อพิจารณาค่า F_0 ที่มากกว่า F_c คือ 7.71 พบร่วมกันที่ตัวแปร A คือ อุณหภูมิ ตัวแปรเดียวที่มีผลต่อร้อยละการขัดจำกัดภัยคุกคามของถ่านหินและร้อยละการเปลี่ยนถ่านหิน

แบบจำลองการทดแทนสำหรับการทำนายค่าร้อยละการขัดจำกัดภัยคุกคาม คือ

$$\begin{aligned}\hat{Y} &= \hat{\beta}_0 + \hat{\beta}_1 x_1 + \hat{\beta}_3 x_3 \\ &= 34.2 + 20.4 x_1 + 2.63 x_3\end{aligned}\quad (4.1)$$

แบบจำลองการทดแทนสำหรับการทำนายค่าร้อยละการเปลี่ยนถ่านหิน คือ

$$\begin{aligned}\hat{Y}^* &= \hat{\beta}_0^* + \hat{\beta}_1^* x_1 + \hat{\beta}_3^* x_3 \\ &= 23.8 + 21.0 x_1 + 3.43 x_3\end{aligned}\quad (4.2)$$

โดย \hat{Y} และ \hat{Y}^* คือ ค่าการทำนายการขัดจำกัดภัยคุกคาม และการเปลี่ยนถ่านหิน ตามลำดับ
 x_1 คือ ตัวแปรที่ถูกเข้ารหัสของอุณหภูมิ
 x_3 คือ ตัวแปรที่ถูกเข้ารหัสของอัตราการไหลแก๊ส
 $\hat{\beta}_0$ และ $\hat{\beta}_0^*$ คือ ค่าเฉลี่ยของผลตอบทั้งหมด
 $\hat{\beta}$ และ $\hat{\beta}^*$ ค่าสัมประสิทธิ์การทดแทน

คำนวณค่าจากแบบจำลองการทดแทน (สมการ 4.1 – 4.2) และดังตารางที่ 4.5 และ 4.8 ผลดังกล่าวนำไปสร้างกราฟความน่าจะเป็นของส่วนตกลัก (Normal probability plot of residual) และกราฟระหว่างส่วนตกลักกับค่าการทำนาย แสดงดังรูปที่ 4.2 สำหรับร้อยละการขัดจำกัดภัยคุกคาม และรูปที่ 4.4 และร้อยละการเปลี่ยนถ่านหิน

จากรูปที่ 4.2 ก) และ รูปที่ 4.4 ก) พบร่วมกันที่มีแนวโน้ม เป็นเส้นตรง ซึ่งสนับสนุนข้อสรุปที่ว่า A และ C เป็นปัจจัยที่มีผลอย่างมีนัยสำคัญต่อร้อยละการ

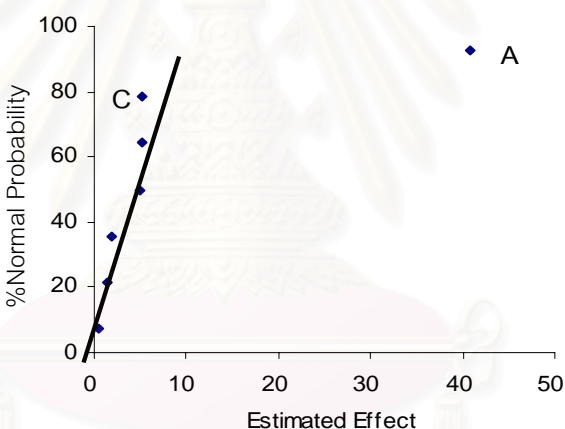
ข้อจัดกำมะถันรวมและร้อยละการเปลี่ยนถ่านหิน จากรูปที่ 4.2 ข) และรูปที่ 4.4 ข) เป็นกราฟของส่วนตกลดค้างกับค่าการทำนาย ไม่พบสิ่งผิดปกติแสดงให้เห็นว่าไม่มีความสัมพันธ์ระหว่างส่วนตกลดค้างกับค่าการทำนายและค่าความแปรปรวนมีค่าคงที่ ผลที่ได้ดังกล่าวไม่สอดคล้องกับสมมติฐานการวิเคราะห์ความแปรปรวนที่ตั้งไว้อาจเนื่องมาจากตัวแปร A คือ อุณหภูมิเป็นปัจจัยหลักที่มีผลต่อกระบวนการมากกว่าปัจจัยอื่นๆ เป็นผลให้ปัจจัยอื่นๆ ไม่แสดงผลให้เห็นในการวิเคราะห์ความแปรปรวน

จากการออกแบบการทดลองนี้พบว่าภาวะที่เหมาะสมสำหรับกระบวนการไฟโรไอลิชในบรรยายกาศแก๊สในตอรเจนคือ อุณหภูมิ 800 องศาเซลเซียส เวลา 30 นาที และอัตราการไหลดแก๊ส 1.5 ลิตรต่อนาที ดังนั้นภาวะการทดลองนี้ไปขยายผลเพื่อศึกษาผลของตัวแปรอุณหภูมิ เวลา และอัตราการไหลดแก๊สต่อไป

สถาบันวิทยบริการ
จุฬาลงกรณ์มหาวิทยาลัย

ตารางที่ 4.3 การวิเคราะห์ Factor effect estimate และ Sum of Square (SS) ของร้อยละการ
ขัดกำมะถันรวมของถ่านหินจากการไฟฟ้าไอลซิสถ่านหินในบรรยายกาศแก๊ส
ไนโตรเจน

การทดลอง	Regression coefficient	Contrast	Effect Estimate	SS	%Contribution
Overall avg.	34.2	-	-	-	-
A	20.4	164	40.9	3345.6	95.25
B	2.42	19	4.84	46.9	1.33
C	2.63	21	5.25	55.2	1.57
AB	0.98	8	1.96	7.68	0.22
AC	2.55	20	5.09	51.89	1.48
BC	0.75	6	1.51	4.55	0.13
ABC	0.26	2	0.53	0.56	0.02



รูปที่ 4.1 Normal probability plot ของร้อยละการขัดกำมะถันรวมของถ่านหิน

ตารางที่ 4.4 การวิเคราะห์ความแปรปรวนของร้อยละการขัดกำมะถันรวมของถ่านหินจาก
กระบวนการไฟฟ้าไอลซิสถ่านหินในบรรยายกาศแก๊สไนโตรเจน

ปัจจัย	SS	Df	MS	Fo	P-value	Fc
A	3345.6	1	3345.6	206.9	1.36E-04	7.71
B	46.9	1	46.9	2.90	1.64E-01	7.71
C	55.2	1	55.2	3.41	1.38E-01	7.71
Error	64.7	4	16.2			
Total	3512.3	7				

$F_{0.05,1,4} = 7.71$ ที่ช่วงความเชื่อมั่นร้อยละ 95

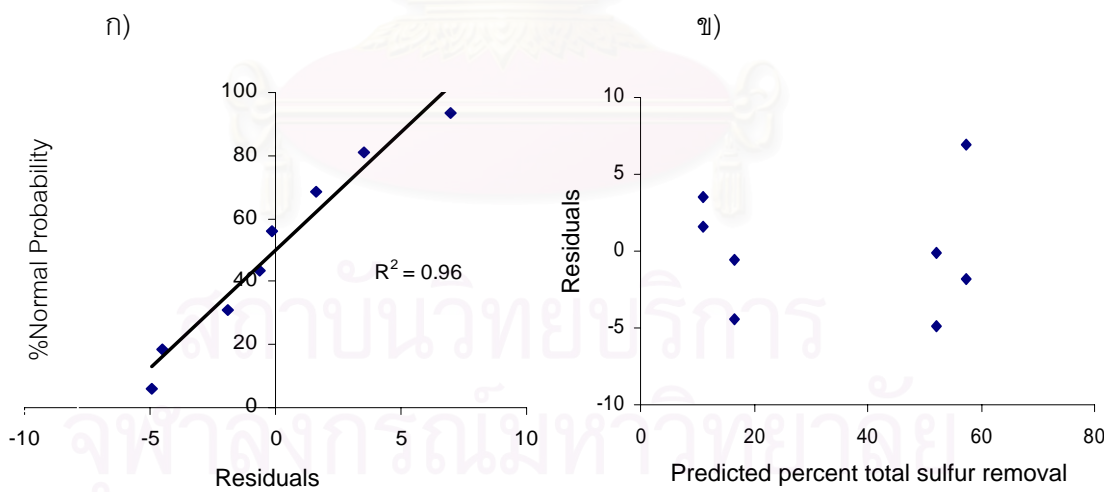
ตารางที่ 4.5 ร้อยละการขจัดกำมะถันรวมของถ่านหินที่ได้จากการทดลองและการคำนวณ
และส่วนตกลงค้าง

การทดลอง	การขจัดกำมะถันรวมของถ่านหิน (%)		
	Y	\hat{Y}	ε
[1]	12.8	11.2	1.60
a	47.1	52.1	-4.93
b	14.7	11.2	3.50
ab	51.9	52.1	-0.17
c	11.9	16.4	-4.48
ac	55.5	57.3	-1.87
bc	15.8	16.4	-0.62
abc	64.3	57.3	6.97

Y คือ ร้อยละการขจัดกำมะถันรวมจากการทดลอง

\hat{Y} คือ ร้อยละการขจัดกำมะถันรวมจากการคำนวณ Regression model

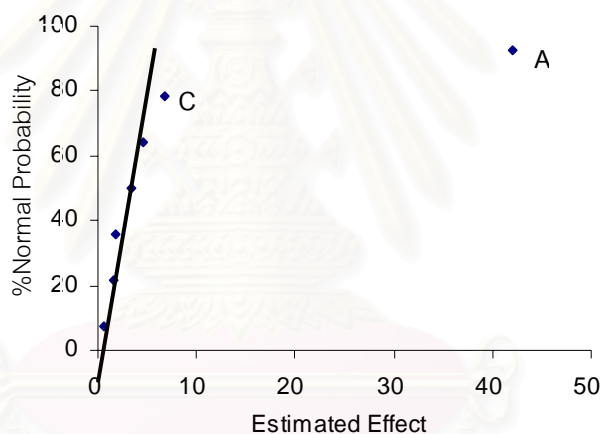
$$\varepsilon = Y - \hat{Y}$$



รูปที่ 4.2 ผลการคำนวณร้อยละการขจัดกำมะถันรวม ก) กราฟความน่าจะเป็นของส่วนตกลงค้าง
ข) กราฟระหว่างส่วนตกลงค้างกับค่าการทำนาย

ตารางที่ 4.6 การวิเคราะห์ Factor effect estimate และ Sum of Square (SS) ของร้อยละการเปลี่ยนถ่านหินจากการไฟฟ้าไอลซิสถ่านหินในบรรยายกาศแก๊สในต่อเจน

การทดลอง	Regression coefficient	Contrast	Effect Estimate	SS	%Contribution
Overall avg.	23.8	-	-	-	-
A	21.0	168	42.1	3542.7	95.4
B	1.61	13	3.22	20.7	0.56
C	3.43	27	6.85	93.9	2.53
AB	0.74	6	1.48	4.40	0.12
AC	2.32	19	4.65	43.2	1.16
BC	0.88	7	1.77	6.25	0.17
ABC	0.27	2	0.53	0.57	0.22



รูปที่ 4.3 Normal probability plot ของร้อยละการเปลี่ยนถ่านหิน

ตารางที่ 4.7 การวิเคราะห์ความแปรปรวนของร้อยละการเปลี่ยนถ่านหินจากการไฟฟ้าไอลซิสถ่านหินในบรรยายกาศแก๊สในต่อเจน

ปัจจัย	SS	Df	MS	Fo	P-value	Fc
A	3542.7	1	3542.7	260.4	8.62E-05	7.71
B	20.7	1	20.7	1.52	2.85E-01	7.71
C	93.3	1	93.3	6.90	5.83E-02	7.71
Error	54.4	4	13.6			
Total	3711.7	7				

$$F_{0.05,1,4} = 7.71 \text{ ที่ชี้ว่างความเชื่อมั่นร้อยละ } 95$$

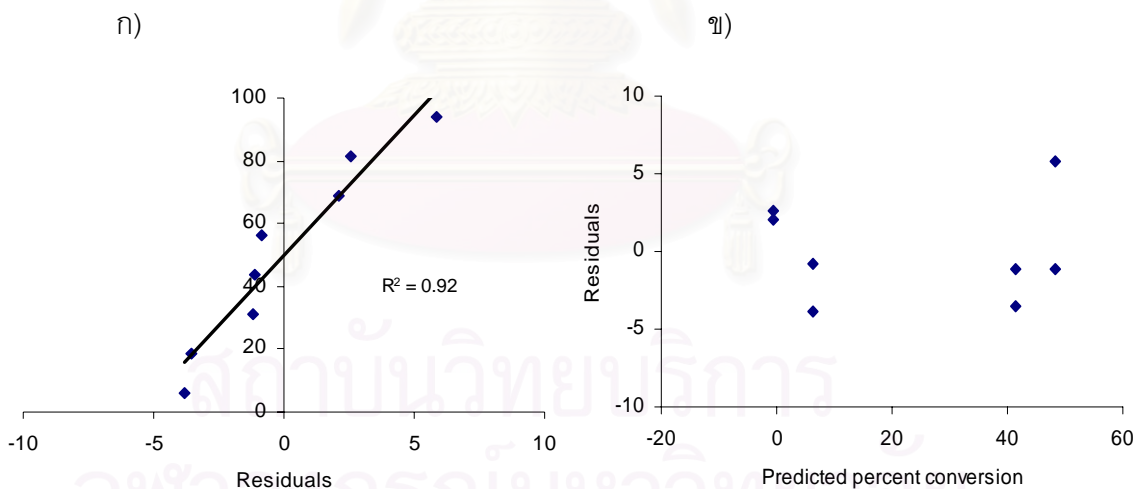
ตารางที่ 4.8 ร้อยละการเปลี่ยนถ่านหินที่ได้จากการทดลองและการคำนวณ และส่วนตกลงค้าง

การทดลอง	การเปลี่ยนถ่านหิน (%)		
	Y^*	\hat{Y}^*	ε^*
[1]	1.41	-0.66	2.07
a	37.9	41.4	-3.52
b	1.91	-0.66	2.57
ab	40.3	41.4	-1.12
c	2.38	6.19	-3.81
ac	47.1	48.3	-1.18
bc	5.35	6.19	-0.84
abc	54.1	48.3	5.82

Y^* คือ ร้อยละการขัดกำมะถันรวมจากการทดลอง

\hat{Y}^* คือ ร้อยละการขัดกำมะถันรวมจากการคำนวณ Regression model

$$\varepsilon^* = Y^* - \hat{Y}^*$$



รูปที่ 4.4 ผลการคำนวณร้อยละการเปลี่ยนถ่านหิน ก) กราฟความน่าจะเป็นของส่วนตกลงค้าง
ข) กราฟระหว่างส่วนตกลงค้างกับค่าการทำนาย

4.3 ไฟโรไลซิสในบรรยายการแก๊สในต่อเจน

4.3.1 ผลของอุณหภูมิเตาเผา

การศึกษาผลของอุณหภูมิในช่วง 200 – 900 องศาเซลเซียส ภาวะคงที่คือเวลา 30 นาที และอัตราการไอลแก๊ส 1.5 ลิตรต่อนาที ผลของอุณหภูมิต่อปริมาณกำมะถันและร้อยละการจัดกำมะถันในบรรยายการในต่อเจนแสดงดังตารางที่ 4.9

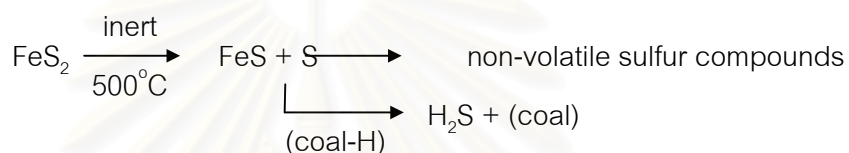
ผลการทดลองแสดงให้เห็นว่าการเพิ่มอุณหภูมิทำให้การเปลี่ยนถ่านหิน (%conversion) เพิ่มขึ้น องค์ประกอบบินทรีและอนินทรีในถ่านหินเกิดการเปลี่ยนแปลงทั้งด้านกายภาพและเคมี ได้ปริมาณผลิตภัณฑ์ถ่านชาร์ทที่มีรูพูน ค่อนข้างอ่อนเปราะไว้คwan การสูญเสียน้ำหนักของถ่านหิน เกิดขึ้นเนื่องจากสารระเหยและความชื้นรวมทั้งคาร์บอนคงตัวบางส่วนที่มีพันธะอ่อนแอเกิดการ สลายตัวได้ง่ายเมื่อได้รับความร้อนจากอุณหภูมิที่สูงขึ้น จนกระทั่งองค์ประกอบในผลิตภัณฑ์ของ แข็งเหลือเพียงคาร์บอนเป็นส่วนใหญ่ ที่อุณหภูมิสูงๆ (สูงกว่า 700 องศาเซลเซียส) มีแนวโน้มว่า ถ่านหินเกิดการสูญเสียน้ำหนักเพียงเล็กน้อย Schlosberg [2] อธิบายว่าเนื่องมาจากคาร์บอนใน โครงสร้างที่ซับซ้อนของถ่านหินเกิดการจัดเรียงตัวใหม่ (rearrangement) เป็นพันธะที่แข็งแรงกว่าเดิม การเพิ่มอุณหภูมิจึงมีผลเพียงเล็กน้อย ดังแสดงในรูปที่ 4.5 ก) ผลการทดลองนี้สอดคล้องกับ งานวิจัยของ ฉัตรชัย ชนครีสุข [26] ที่ศึกษาผลของอุณหภูมิต่อการจัดกำมะถันจากถ่านหินโดย ไฟโรไลส์ที่อุณหภูมิต่ำ เมื่อเพิ่มอุณหภูมิ ปริมาณถ่านชาร์จะลดลงในขณะที่ปริมาณน้ำมันทาร์รวม กับน้ำและแก๊สเพิ่มสูงขึ้น และที่ช่วงอุณหภูมิระหว่าง 700 – 900 องศาเซลเซียส มีการสูญเสียน้ำหนักเพียงเล็กน้อย

(จากรูปที่ 4.5 ข) พบว่าเมื่ออุณหภูมิเพิ่มขึ้น คาร์บอนคงตัวเพิ่มขึ้น เถ้ามีค่าคงที่ ส่วนสาร ระเหยมีค่าลดลง เนื่องจากอุณหภูมิที่เพิ่มขึ้นทำให้สารระเหยที่อยู่ในถ่านหินออกมากขึ้น และ เนื่องจากร้อยละคาร์บอนคงตัวมีค่ามากขึ้นจึงทำให้ถ่านหินมีค่าความร้อนเพิ่มขึ้นด้วยดังแสดงใน ตารางที่ 4.9

(จากรูปที่ 4.5 ค) พบว่าเมื่ออุณหภูมิเพิ่มขึ้น ร้อยละการเปลี่ยนถ่านหินและร้อยละการจัด กำมะถันมีแนวโน้มเพิ่มสูงขึ้น ปริมาณกำมะถันรวมในถ่านชาร์ลดลงจนต่ำสุดและคงที่ Lin และ คณะ [16] อธิบายว่าที่อุณหภูมิสูงโครงสร้างที่เป็นรูพูนของถ่านหินถูกทำลาย โครงสร้างที่ซับซ้อน ของถ่านหินเกิดการเปลี่ยนแปลงและขัดขวางการปล่อยออกของสารประกอบกำมะถัน ร้อยละการ

ขัดกำมะถันในถ่านชาร์มีค่าคงที่ ที่อุณหภูมิ 800 องศาเซลเซียส ได้ร้อยละการขจัดกำมะถันรวมสูงสุด 64.3

จากขุปที่ 4.5 ง) พบว่าเมื่ออุณหภูมิสูงขึ้นร้อยละกำมะถันไฟไวต์ ในถ่านชาร์เหลือน้อยมาก ที่อุณหภูมิ 800 องศาเซลเซียส คือร้อยละการขจัดกำมะถันไฟไวต์สูงสุดเท่ากับ 89.8 ผลการทดลองนี้สอดคล้องกับผลวิจัยของ Ibarra และคณะ [14] และ Khan [12] ซึ่งอธิบายว่าการเพิ่มอุณหภูมิมีผลทำให้กำมะถันไฟไวต์ (FeS_2) слaly ตัวเป็นเฟอร์ฟัลไฟฟ์ (FeS) และกำมะถัน (S) ซึ่งจะทำปฏิกิริยากับไฮโดรเจนของถ่านหิน (coal-H) ได้ผลิตภัณฑ์แก๊สไฮโดรเจนฟัลไฟฟ์ (H_2S) ทำให้กำมะถันไฟไวต์ลดลง ดังสมการ



กำมะถันฟัลไฟต์มีปริมาณไม่มากนักในถ่านหินและ слaly ตัวได้รับความร้อน เมื่อผ่านกระบวนการไฟโรไอลซิสพบว่า การเพิ่มอุณหภูมิสามารถ слaly กำมะถันฟัลไฟต์ในบรรยากาศในต่อเนื่องได้เป็นอย่างดี ที่อุณหภูมิ 800 องศาเซลเซียส ได้ร้อยละการขจัดกำมะถันฟัลไฟต์สูงสุดเท่ากับ 88.7

กำมะถันอินทรีสามารถขจัดได้ดีเมื่ออุณหภูมิเพิ่มขึ้นไม่เกิน 700 องศาเซลเซียส ได้ร้อยละการขจัดกำมะถันอินทรีสูงสุดเท่ากับ 53.0 ที่อุณหภูมิสูงกว่านี้ร้อยละกำมะถันอินทรีในถ่านชาร์เพิ่มขึ้นดังตารางที่ 4.9 เนื่องจากเมื่อผ่านกระบวนการไฟโรไอลซิส กำมะถันอินทรีในถ่านหินกระจายอยู่ในผลิตภัณฑ์ทั้งสามได้แก่ แก๊ส (ไฮโดรเจนฟัลไฟฟ์เป็นส่วนใหญ่) ของเหลว (น้ำมันทาร์รวมกับน้ำ) และถ่านชาร์ โดยปฏิกิริยาผันกลับเกิดได้ระหว่างกำมะถันอินทรีในถ่านชาร์และในแก๊สไฮโดรเจนฟัลไฟฟ์ ทำให้ร้อยละกำมะถันอินทรีในถ่านชาร์เพิ่มขึ้น จากผลการทดลองนี้ยังพบว่ากำมะถันไฟไวต์มีผลต่อการ слaly ตัวของกำมะถันอินทรี โดยเมื่อเพิ่มอุณหภูมิทำให้กำมะถันอินทรีลดลงแต่เมื่อถึงช่วงอุณหภูมิการ слaly ตัวของกำมะถันไฟไวต์ (ประมาณ 700 องศาเซลเซียส) กำมะถันอินทรีในถ่านชาร์กลับเพิ่มขึ้น

ผลการวิจัยนี้สอดคล้องกับงานวิจัยของ Semra [20] ที่ศึกษาผลของอุณหภูมิในบรรยากาศในต่อเนื่อง พบว่าการขจัดกำมะถันอินทรีเพิ่มขึ้นเมื่อเพิ่มอุณหภูมิอย่างเร็วจนถึง 500

องศาเซลเซียส และชั่วลงตั้งแต่ 500 ถึง 550 องศาเซลเซียส เมื่อถึงอุณหภูมิ 600 องศาเซลเซียส การขยายจัดกำมะถันอินทรีมีอัตราช้าลง และไม่เปลี่ยนแปลงที่ 700 และ 800 องศาเซลเซียส

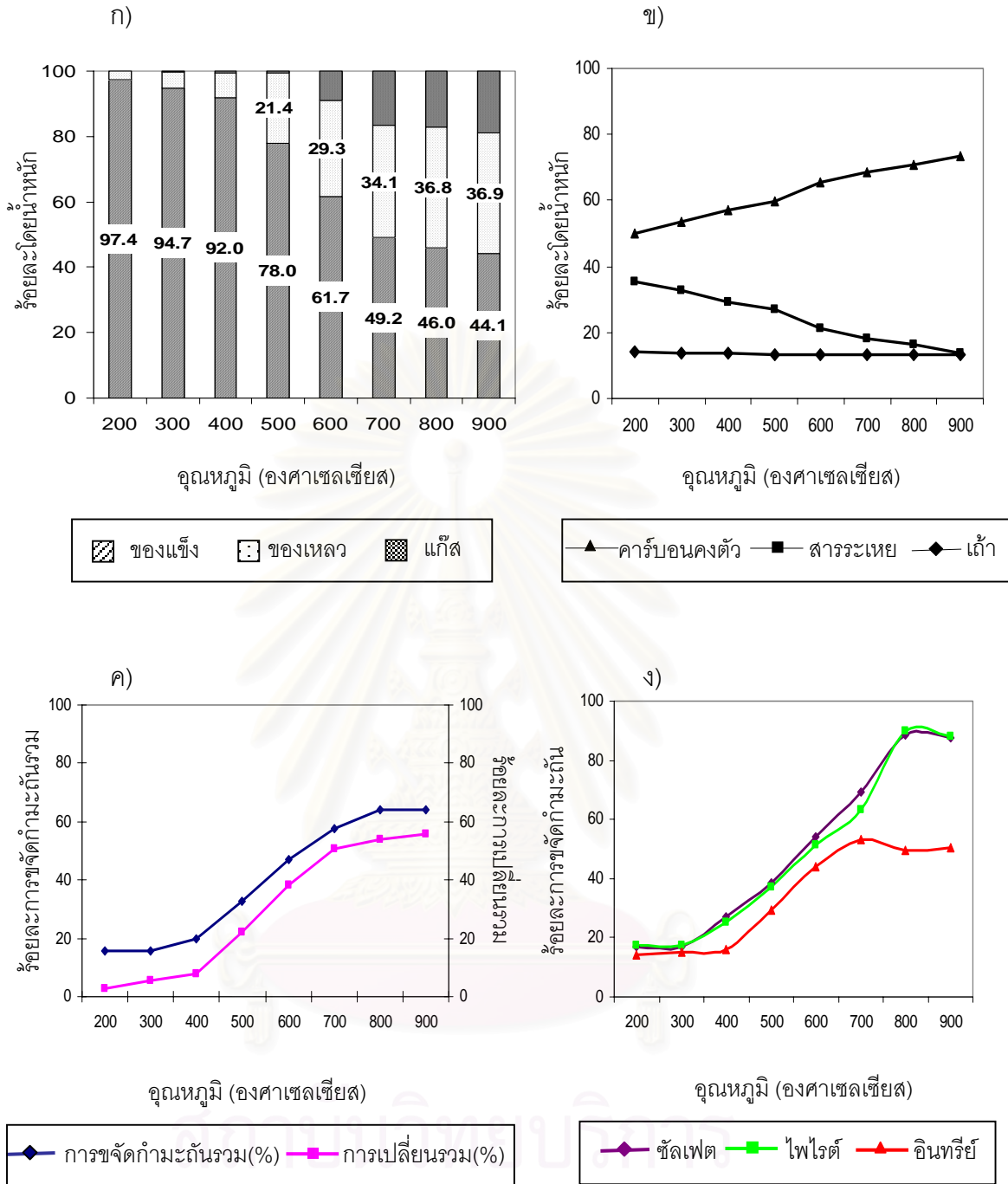
จากผลการทดลองในส่วนนี้ได้ว่าอุณหภูมิ 800 องศาเซลเซียส เป็นอุณหภูมิที่เหมาะสมในการทดลองไฟโรไอลิซิสเพื่อศึกษาผลของตัวแปรอื่นๆ ต่อไป

ตารางที่ 4.9 ผลของอุณหภูมิไฟโรไอลิซิสต่อปริมาณกำมะถันและร้อยละการขยายจัดกำมะถันของถ่านหินแม่เม้าท์ 1 ในบรรยากาศแก๊สในตัวเรือน

		อุณหภูมิ (องศาเซลเซียส)								
		เริ่มต้น	200	300	400	500	600	700	800	900
การเปลี่ยนถ่านหิน (%) (af)	-	2.64	5.35	8.02	22.0	38.3	50.8	54.0	55.8	
<u>องค์ประกอบของผลิตภัณฑ์ (%)</u>										
แก๊ส	-	0.09	0.38	0.51	0.59	9.00	16.7	17.2	18.9	
ไขขงเหลว	-	2.55	4.97	7.51	21.4	29.3	34.1	36.8	36.9	
ถ่านชาาร์	-	97.4	94.7	92.0	78.0	61.7	49.2	46.0	44.1	
<u>การวิเคราะห์แบบประมาณถ่านชาาร์ (%)</u>										
เต้า	15.6	14.2	13.8	13.5	13.4	13.3	13.3	13.1	13.1	
สารระเหย	38.8	35.6	32.8	29.4	26.8	21.2	18.1	16.3	13.5	
คาร์บอนคงตัว	45.6	50.2	53.4	57.1	59.7	65.5	68.6	70.6	73.4	
<u>ปริมาณของกำมะถัน (%)</u>										
ไฟโรต์	0.71	0.69	0.72	0.67	0.66	0.65	0.61	0.18	0.22	
ชัลเฟต	0.52	0.52	0.53	0.48	0.48	0.45	0.38	0.15	0.17	
อินทรี	2.13	2.16	2.21	2.24	2.22	2.24	2.34	2.69	2.75	
กำมะถันรวม	3.36	3.37	3.45	3.38	3.35	3.34	3.34	3.02	3.14	
ค่าความร้อน (MJ/kg)	18.0	20.6	21.0	21.2	22.3	23.2	24.1	24.5	26.3	
<u>การขยายจัดกำมะถัน (%)</u>										
ไฟโรต์	-	17.6	17.4	25.1	37.3	51.3	63.1	89.8	88.1	
ชัลเฟต	-	17.1	17.2	27.0	38.7	54.0	69.3	88.7	87.5	
อินทรี	-	14.4	14.9	16.2	29.6	43.9	53.0	49.7	50.6	
กำมะถันรวม	-	15.5	15.8	19.8	32.6	47.0	57.7	64.3	64.3	

ภาวะ: เวลา 30 นาที, อัตราการไหลแก๊ส 1.5 ลิตรต่อนาที

af = ash-free basis



รูปที่ 4.5 ผลของอุณหภูมิไฟโรไลซิสต้านพิษต่อร้อยละการขจัดกำมะถันในบรรยายกาศแก๊ส
ในต่อเนื่อง ที่ภาวะคงที่คือเวลา 30 นาที และอัตราการไนลอนแก๊ส 1.5 ลิตรต่อนาที: ก) องค์ประกอบกับผลิตภัณฑ์ ข) สมบัติสถานชาร์ค) ร้อยละการเปลี่ยนถ่านพิษและร้อยละการขจัดกำมะถันรวม ง) ร้อยละการขจัดกำมะถันรูปแบบต่างๆ ได้แก่ ไฟโรต์ ชัลเฟต และอินทรีร์

4.3.2 ผลของเวลาไฟโรไลซิส

การศึกษาผลของเวลาในช่วง 5 - 40 นาที ภาวะคงที่คืออุณหภูมิ 800 องศาเซลเซียส และอัตราการไอลแก๊ส 1.5 ลิตรต่อนาที ผลของเวลาไฟโรไลซิสต่อปริมาณกำมะถันและร้อยละการขัดกำมะถันในบรรยายกาศแก๊สในตัวเจนแสดงดังตารางที่ 4.10

ผลการทดลองแสดงให้เห็นว่าการเพิ่มเวลาทำให้การเปลี่ยนถ่านหิน (%conversion) เพิ่มเล็กน้อยคือถ่านหินมีแนวโน้มการสูญเสียน้ำหนักเพียงเล็กน้อย เนื่องจากช่วงอุณหภูมิสูงควรบอนในโครงสร้างที่ขับช้อนของถ่านหินเกิดการจัดเรียงตัวใหม่เป็นพันธะที่แข็งแรงกว่าเดิม โดยที่ช่วงเวลา 5 - 40 นาที ได้ปริมาณถ่านชาร์มีค่าไม่แตกต่างกันมากนัก ดังแสดงในรูปที่ 4.6 ก) ได้ปริมาณน้ำมันทาร์รวมกับน้ำและแก๊สเพิ่มขึ้นเพียงเล็กน้อยเท่านั้น ผลการทดลองดังกล่าวแสดงว่าเวลา มีผลต่อกระบวนการเพียงเล็กน้อยที่อุณหภูมิสูงเมื่อเทียบกับการศึกษาผลการเปลี่ยนแปลงอุณหภูมิ ในหัวข้อ 4.3.1

จากรูปที่ 4.6 ข) พบร่วมกับการเพิ่มชั้น คาร์บอนคงตัวเพิ่มขึ้น เก้ามีค่าคงที่ ส่วนสารระเหย มีค่าลดลง เนื่องจากเวลาที่เพิ่มขึ้นทำให้สารระเหยที่อยู่ในถ่านหินออกมากขึ้น และร้อยละ ควรบอนคงตัวมีค่าเพิ่มขึ้นทำให้ถ่านหินมีค่าความร้อนมากขึ้นด้วย

จากรูปที่ 4.6 ค) พบร่วมกับการเพิ่มชั้น ร้อยละการเปลี่ยนถ่านหินและร้อยละการขัด กำมะถันรวมเพิ่มขึ้นเพียงเล็กน้อย การศึกษาไฟโรไลซิสที่อุณหภูมิสูง 800 องศาเซลเซียส ถ่านชาร์มีปริมาณกำมะถันรวมลดลงอย่างรวดเร็วเหลือ 3.04 ที่เวลา 20 นาที ได้ร้อยละการขัดกำมะถันรวม 61.1

จากรูปที่ 4.6 ง) พบร่วมกับการเพิ่มชั้น ทำให้ปริมาณกำมะถันรูปแบบต่างๆ ในถ่านชาร์ลดลงเพียงเล็กน้อย เช่นเดียวกับปริมาณกำมะถันรวม ที่เวลา 20 นาที พบร่วมกับร้อยละการขัด กำมะถันไฟโรต์ กำมะถันชัลเฟต และกำมะถันอินทรีย์เป็น 87.5, 87.8 และ 45.7 ตามลำดับ ผลดังกล่าวเห็นได้ว่าร้อยละการขัดกำมะถันอินทรีย์มีค่าต่ำกว่ามาก เนื่องจากโครงสร้างที่ขับช้อนกว่า ของกำมะถันอินทรีย์ ทำให้ขัดได้ยากกว่า เมื่อเพิ่มเวลาต่อไป ร้อยละการขัดกำมะถันทั้งสามชนิดมีแนวโน้มเพิ่มขึ้นเพียงเล็กน้อย จึงสรุปได้ว่าเวลา มีผลต่อการขัดกำมะถันที่อุณหภูมิสูงเพียงเล็กน้อย การทดลองนี้สอดคล้องกับงานวิจัยของ Semra [20] พบร่วมกับมีผลต่อการขัดกำมะถัน

ในช่วงแรกจนถึง 15 นาที และเมื่อเพิ่มเวลาต่อไปจนถึง 30 นาที ให้ค่าร้อยละการขจัดเพิ่มขึ้นเพียงเล็กน้อยทั้งในกำมะถันໄไฟร์ต์ และกำมะถันอินทรี

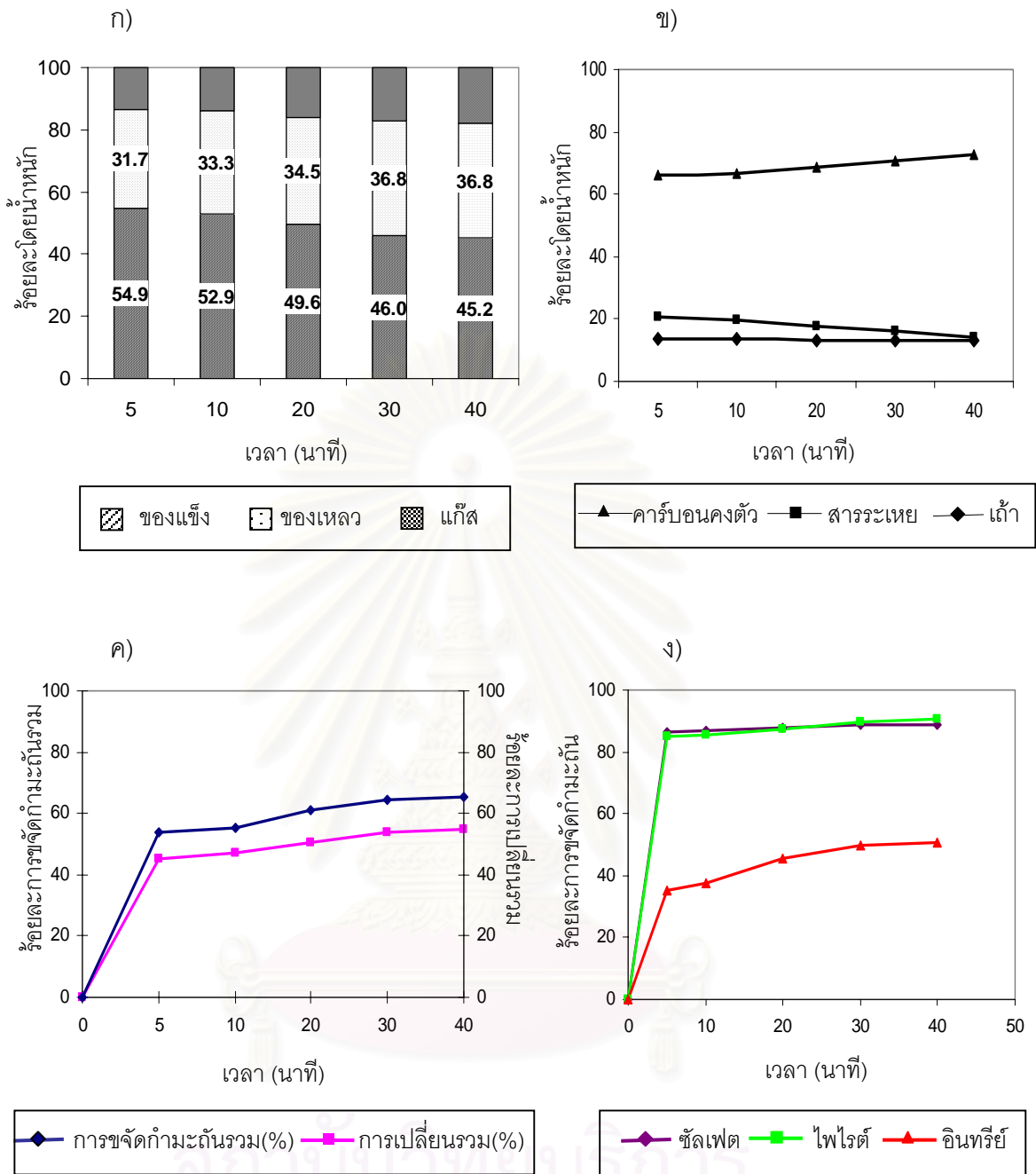
จากผลการทดลองในส่วนนี้ได้ว่าเวลา 20 นาที เป็นเวลาที่เหมาะสมในการทำการทดลองเพื่อศึกษาผลของบรรยายกาศแก๊สผสม และชนิดถ่านหินต่อไป

ตารางที่ 4.10 ผลของเวลาการไฟโรไอล์สถ่านหินต่อบริมาณกำมะถันและร้อยละการขจัดกำมะถันของถ่านหินแม่เมาะ 1 ในบรรยายกาศแก๊สในตัวเรน

		เวลา (นาที)					
		เริ่มต้น	5	10	20	30	40
การเปลี่ยนถ่านหิน (%) (af)	-	45.1	47.1	50.4	54.0	54.8	
<u>องค์ประกอบผลิตภัณฑ์ (%)</u>							
แก๊ส	-	13.4	13.8	15.9	17.2	18.0	
ของเหลว	-	31.7	33.3	34.5	36.8	36.8	
ถ่านชาร์	-	54.9	52.9	49.6	46.0	45.2	
<u>การวิเคราะห์แบบประมาณถ่านชาร์ (%)</u>							
เต้า	15.6	13.6	13.5	13.2	13.1	13.0	
สารระเหย	38.8	20.5	19.6	17.9	16.3	14.3	
คาร์บอนคงตัว	45.6	66.0	66.9	68.9	70.6	72.7	
<u>ปริมาณของกำมะถัน (%)</u>							
ไฟร์ต์	0.71	0.22	0.22	0.21	0.18	0.17	
ชัลเฟต	0.52	0.15	0.15	0.15	0.15	0.15	
อินทรี	2.13	2.90	2.90	2.69	2.69	2.66	
กำมะถันรวม	3.36	3.27	3.27	3.04	3.02	2.99	
ค่าความร้อน (MJ/kg)	18.0	22.4	23.0	23.7	24.5	24.8	
<u>การขจัดกำมะถัน (%)</u>							
ไฟร์ต์	-	85.2	85.6	87.5	89.8	90.4	
ชัลเฟต	-	86.5	87.0	87.8	88.7	88.9	
อินทรี	-	35.2	37.6	45.7	49.7	50.9	
กำมะถันรวม	-	53.7	55.5	61.1	64.3	65.2	

ภาวะ: อุณหภูมิ 800 องศาเซลเซียส, อัตราการไฟลดแก๊ส 1.5 ลิตรต่อนาที

af = ash-free basis



รูปที่ 4.6 ผลของเวลาการไฟโรไอล์สต้านหินต่อร้อยละการขัดจำกัดความถันในบรรยายกาศแก๊สในเตราเจน ที่ภาวะคงที่คืออุณหภูมิ 800 องศาเซลเซียส และอัตราการไหลแก๊ส 1.5 ลิตรต่อนาที: ก) องค์ประกอบผลิตภัณฑ์ ข) สมบัติส่วนชาร์ค) ร้อยละการเปลี่ยนถันหินและร้อยละการขัดจำกัดความถันรวม ง) ร้อยละการขัดจำกัดความถันรูปแบบต่างๆ ได้แก่ ไฟไวร์ต ชัลเฟต และอินทรีย์

4.3.3 ผลของอัตราการไอลแก๊ส

การศึกษาผลของอัตราการไอลแก๊สในช่วง 0.25 – 1.75 ลิตรต่อน้ำที่ ภาฯ คงที่คือ อุณหภูมิ 800 องศาเซลเซียส และเวลา 30 นาที ผลของอัตราการไอลแก๊สต่อปริมาณกำมะถันและร้อยละการขจัดกำมะถันในบรรยายกาศแก๊สในโตรเจนแสดงดังตารางที่ 4.11

ผลการทดลองแสดงให้เห็นว่าการเพิ่มอัตราการไอลแก๊สในช่วงอุณหภูมิสูงทำให้ถ่านหินมีแนวโน้มการสูญเสียน้ำหนักเพียงเล็กน้อย และมีค่าร้อยละการเปลี่ยนของถ่านหินต่างกันเล็กน้อย ที่ช่วงอัตราการไอลแก๊ส 1.50 – 1.75 ลิตรต่อน้ำที่ ให้ปริมาณถ่านชาร์มีค่าใกล้เคียงกันมาก ดังแสดงในรูปที่ 4.7 ก) ได้ปริมาณน้ำมันทาร์รวมกับน้ำและแก๊สเพิ่มขึ้นเพียงเล็กน้อย เช่นกัน ผลดังกล่าวแสดงว่าอัตราการไอลแก๊สมีผลต่อกระบวนการไฟโรไไซส์เพียงเล็กน้อยที่อุณหภูมิสูงเมื่อเทียบกับการศึกษาผลการเปลี่ยนแปลงอุณหภูมิในหัวข้อ 4.3.1

จากรูปที่ 4.7 ข) พบร่วมกับเมื่ออัตราการไอลแก๊สเพิ่มขึ้น ควรบ่อนคงตัวเพิ่มขึ้น เถ้ามีค่าคงที่ ส่วนสารระเหยมีค่าลดลง เนื่องจากอัตราการไอลแก๊สที่เพิ่มขึ้น ทำให้สารระเหยที่อยู่ในถ่านหินออกมากขึ้น และเนื่องจากร้อยละการบอนคงตัวมีค่ามากขึ้นจึงทำให้ถ่านหินมีค่าความร้อนมากขึ้นด้วย

จากรูปที่ 4.7 ค) พบร่วมกับเมื่อเพิ่มอัตราการไอลแก๊สทำให้ปริมาณกำมะถันรวมในถ่านชาร์ลดลงอย่างรวดเร็วที่อัตราการไอลแก๊ส 1.0 ลิตรต่อน้ำที่ ได้ผลคือร้อยละการขจัดกำมะถันรวมเป็น 60.0 เมื่อเพิ่มอัตราการไอลแก๊สต่อไปให้ค่าร้อยละการขจัดกำมะถันรวมเพิ่มขึ้นเพียงเล็กน้อย Semra [20] ระบุว่าอาจเนื่องมาจากปริมาณการถ่ายโอนมวลและความร้อนลดลง ซึ่งเป็นผลมาจากการไอลแก๊สที่ไอลผ่านสัมผัสกับถ่านหินได้น้อยลง

จากรูปที่ 4.7 ง) พบร่วมกับเมื่ออัตราการไอลแก๊สเพิ่มขึ้นทำให้ปริมาณกำมะถันรูปแบบต่างๆ ในถ่านชาร์ลดลงเพียงเล็กน้อย เช่นเดียวกับปริมาณกำมะถันรวม ร้อยละการขจัดกำมะถันไฟโรต์ และกำมะถันชัลเฟต์มีแนวโน้มเพิ่มขึ้นเพียงเล็กน้อย ส่วนกำมะถันอินทรีย์ให้ค่าเพิ่มขึ้นอย่างรวดเร็วในช่วง 0.5 – 1.0 ลิตรต่อน้ำที่ ผลการทดลองนี้สอดคล้องกับงานวิจัยของ Semra [20] พบร่วมกับเมื่ออัตราการไอลแก๊สเพิ่มขึ้น ที่อุณหภูมิ 700 องศาเซลเซียส การขจัดกำมะถันไฟโรต์เพิ่มขึ้นเล็กน้อยจนถึง 1674 มิลลิลิตรต่อน้ำที่ ส่วนการขจัดกำมะถันอินทรีย์เพิ่มขึ้นเล็กน้อยในบรรยายกาศในโตรเจน

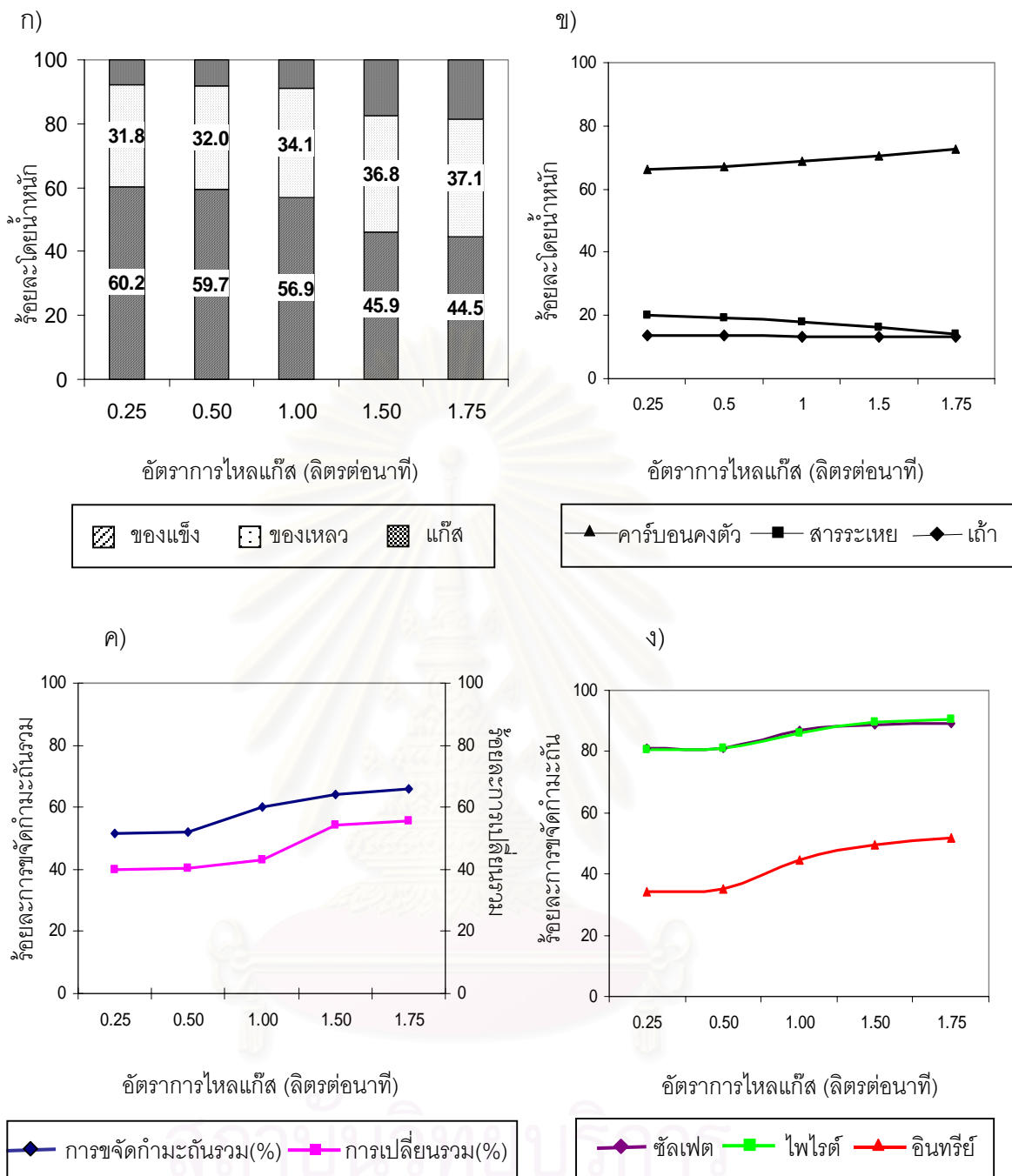
จากการทดลองในส่วนนี้ได้ว่าอัตราการไหลดแก๊ส 1.0 ลิตรต่อน้ำที่ เป็นอัตราการไหลดแก๊สที่เหมาะสมในการทำการทดลองเพื่อศึกษาผลของบรรยายการแก๊สผสม และชนิดถ่านหินต่อไปนี้องจากเมื่อเพิ่มอัตราการไหลดแก๊สต่อไป ร้อยละการขจัดกำมะถันเพิ่มขึ้นเพียงเล็กน้อย

ตารางที่ 4.11 ผลของอัตราการไหลดแก๊สต่อปริมาณกำมะถันและร้อยละการขจัดกำมะถันของถ่านหินแม่เมะ 1 ในบรรยายการแก๊สในตัวเรน

	เริ่มต้น	อัตราการไหลดแก๊ส (ลิตรต่อน้ำที่)				
		0.25	0.50	1.00	1.50	1.75
การเปลี่ยนถ่านหิน (%) (af)	-	39.8	40.3	43.1	54.1	55.5
<u>องค์ประกอบผลิตภัณฑ์ (%)</u>						
แก๊ส	-	7.98	8.34	8.96	17.3	18.5
ของเหลว	-	31.8	32.0	34.1	36.8	37.1
ถ่านชาร์	-	60.2	59.7	56.9	45.9	44.5
<u>การวิเคราะห์แบบประมาณถ่านชาร์ (%)</u>						
เด็ก	15.6	13.7	13.6	13.2	13.1	13.0
สารระเหย	38.8	20.0	19.2	18.1	16.3	14.2
คาร์บอนคงดัว	45.6	66.3	67.2	68.7	70.6	72.7
<u>ปริมาณของกำมะถัน (%)</u>						
ไฟฟอร์	0.71	0.26	0.26	0.20	0.18	0.17
ชัลเฟต	0.52	0.19	0.19	0.14	0.15	0.15
อินทรีเย	2.13	2.67	2.67	2.39	2.69	2.67
กำมะถันรวม	3.36	3.13	3.13	2.73	3.02	2.99
ค่าความร้อน (MJ/kg)	18.0	22.8	23.7	24.2	24.5	24.9
<u>การขจัดกำมะถัน (%)</u>						
ไฟฟอร์	-	80.8	80.9	86.0	89.8	90.6
ชัลเฟต	-	81.0	81.2	87.0	88.7	89.0
อินทรีเย	-	34.4	35.0	44.7	49.8	51.7
กำมะถันรวม	-	51.5	51.9	60.0	64.3	65.7

ภาวะ: อุณหภูมิ 800 องศาเซลเซียส, เวลา 30 นาที

af = ash-free basis



รูปที่ 4.7 ผลของอัตราการไหหลแก๊สการไฟฟ้าໄລ่ส์ถ่านหินต่อวันที่คืออุณหภูมิ 800 องศาเซลเซียส และเวลา 30 นาที: ก) องค์ประกอบของผลิตภัณฑ์ ข) สมบัติถ่านชาร์ค ค) ร้อยละการเปลี่ยนถ่านหินและร้อยละการขัดกำมะถันรวม ง) ร้อยละการขัดกำมะถันรูปแบบต่างๆ ได้แก่ ไฟฟ้าร์ต ชัลเฟต และอินทรีร์

4.4 ไฟโรไลซิสในบรรยາกาศแก๊สต่างๆ

4.4.1 ผลของบรรยາกาศแก๊สผสมในโตรเจนและไฮโดรเจน

การศึกษาผลของอุณหภูมิในช่วง 300 – 800 องศาเซลเซียส ภาวะคงที่คือ เวลา 20 นาที และอัตราการไอลแก๊ส 1.0 ลิตรต่อนาที อัตราส่วนแก๊สผสมในโตรเจนและไฮโดรเจนเป็น 1:1 ผลของอุณหภูมิต่อปริมาณกำมะถันและร้อยละการขัดกำมะถันในบรรยາกาศแก๊สผสมในโตรเจน และไฮโดรเจน แสดงดังตารางที่ 4.12

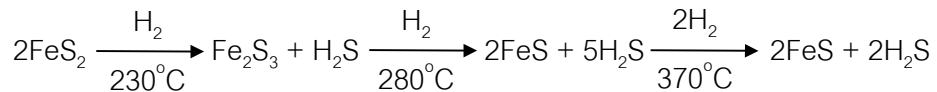
จากรูปที่ 4.8 ก) พบร่วมกับเพิ่มอุณหภูมิในบรรยາกาศแก๊สผสมทำให้ถ่านหินเกิดการสูญเสียน้ำหนักเพิ่มขึ้น ได้ผลิตภัณฑ์ถ่านชาาร์ลดลง เนื่องจากองค์ประกอบบาร์บอนในถ่านหินสามารถทำปฏิกิริยา กับไฮโดรเจนเกิดเป็นสารประกอบไฮดราร์บอนได้มากกว่าในบรรยາกาศในโตรเจน การไฟโรไลส์ในบรรยາกาศแก๊สผสมที่ความดันต่ำ ทำให้ประสิทธิภาพในปฏิกิริยาการสลายตัวของถ่านหินไม่สูงนัก เช่นเดียวกับในบรรยາกาศในโตรเจน ซึ่งสอดคล้องกับงานวิจัยของ ฉัตรชัย ธนศรีสุข [26] ที่ศึกษาผลของบรรยາกาศไฮโดรเจน (โดยไม่มีไนโตรเจน) พบร่วมได้ผลิตภัณฑ์ถ่านชาาร์ลดลงและคงที่ เมื่อมีการเพิ่มอุณหภูมิจนถึง 900 องศาเซลเซียส

จากรูปที่ 4.8 ข) พบร่วมเมื่ออุณหภูมิเพิ่มขึ้น คาร์บอนคงตัวเพิ่มขึ้น ถ้ามีค่าคงที่ ส่วนสารระเหยมีค่าลดลง เนื่องจากอุณหภูมิที่เพิ่มขึ้นทำให้สารระเหยที่อยู่ในถ่านหินออกมากขึ้น

จากรูปที่ 4.8 ค) พบร่วมเมื่ออุณหภูมิเพิ่มขึ้น ร้อยละการเปลี่ยนถ่านหินและร้อยละการขัดกำมะถันรวมมีแนวโน้มเพิ่มสูงขึ้น สอดคล้องกับงานวิจัยของ Haoquan [21] ที่ศึกษาการแยกแจงผลิตภัณฑ์และพฤติกรรมของกำมะถันระหว่างการไฟโรไลส์ถ่านหิน พบร่วมร้อยละการเปลี่ยนถ่านหินและการขัดกำมะถันแปรผันตามกัน

จากรูปที่ 4.8 ง) พบร่วมกำมะถันอินทรีย์ถูกขัดเพิ่มขึ้นเมื่อเพิ่มอุณหภูมิ เนื่องจากพันธะระหว่างคาร์บอนและกำมะถันอินทรีย์อ่อนแอลงและแตกตัวออกทำให้ประสิทธิภาพในการขัดกำมะถันดีขึ้น สำหรับกำมะถันชัลเฟตพบว่าจะได้ลดลงอาจเนื่องจากกำมะถันไฟโรต์บางส่วนสลายตัวเป็นกำมะถันชัลเฟตได้ดีในบรรยາกาศแก๊สผสมทำให้ปริมาณกำมะถันชัลเฟตในถ่านชาาร์เพิ่มขึ้นดังตารางที่ 4.12

กำมะถันไฟไวร์คุณภาพดีได้ทุกช่วงอุณหภูมิ เนื่องจากเกิดปฏิกิริยาระหว่างกำมะถันและไฮโดรเจนเป็นแก๊สไฮโดรเจนชัลไฟต์ได้ดี สมดคล่องกับงานวิจัยของ Khan [12] ที่เสนอปฏิกิริยาที่อาจเกิดขึ้นของกำมะถันไฟไวร์ ดังสมการ

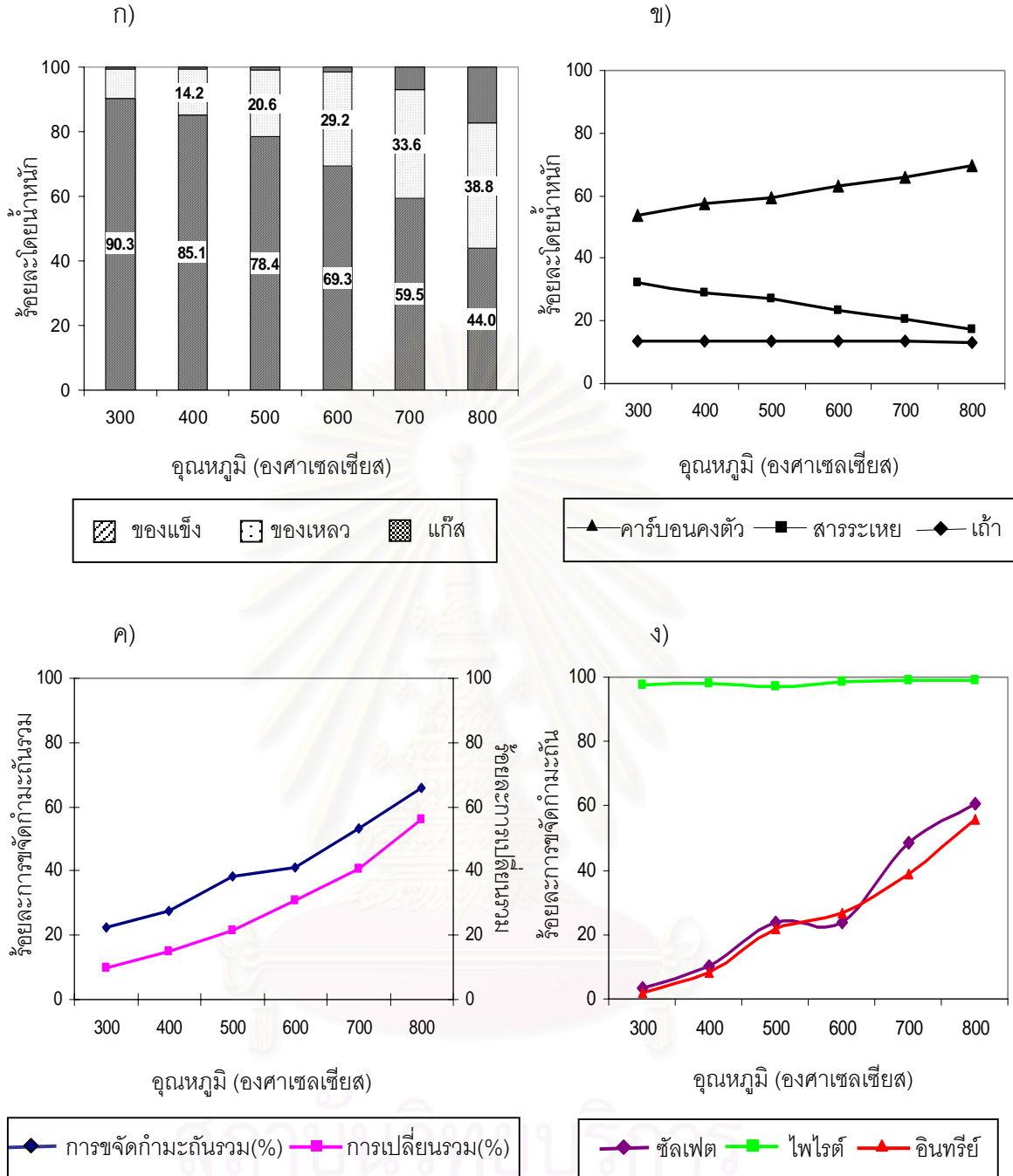


ตารางที่ 4.12 ผลของอุณหภูมิไฟไวร์ให้ต่อปริมาณกำมะถันและวิธีการจัดกำมะถันของถ่านหินแม่เมาะ 1 ในบรรยากาศแก๊สผสมในต่อเจนและไฮโดรเจน

	เริ่มต้น	อุณหภูมิ (องศาเซลเซียส)					
		300	400	500	600	700	800
การเปลี่ยนถ่านหิน (%) (af)	-	9.65	14.9	21.6	30.7	40.5	56.0
<u>องค์ประกอบผลิตภัณฑ์ (%)</u>							
แก๊ส	-	0.59	0.70	0.98	1.50	6.85	17.2
ของเหลว	-	9.06	14.2	20.6	29.2	33.6	38.8
ถ่านชาร์ฟ	-	90.3	85.1	78.4	69.3	59.5	44.0
<u>การวิเคราะห์แบบประมาณถ่านชาร์ฟ (%)</u>							
ถ้า	15.6	13.7	13.6	13.6	13.5	13.5	13.3
สารระเหย	38.8	32.7	28.9	27.1	23.4	20.7	17.1
คาร์บอนคงตัว	45.6	53.6	57.6	59.4	63.0	65.9	69.6
<u>ปริมาณของกำมะถัน (%)</u>							
ไฟไวร์	0.71	0.02	0.02	0.03	0.02	0.02	0.02
ชัลเพต	0.52	0.65	0.64	0.59	0.67	0.57	0.54
อินทรีฟ์	2.13	2.66	2.64	2.45	2.60	2.45	2.46
กำมะถันรวม	3.36	3.33	3.30	3.06	3.29	3.05	3.02
<u>การจัดกำมะถัน (%)</u>							
ไฟไวร์	-	97.7	97.9	97.3	98.5	98.9	99.1
ชัลเพต	-	3.16	10.0	23.7	23.7	42.3	60.9
อินทรีฟ์	-	2.17	8.33	21.9	26.6	40.6	55.9
กำมะถันรวม	-	22.5	27.5	38.1	41.3	53.2	65.8

ภาวะ: เวลา 20 นาที, อัตราการไหลแก๊ส 1.0 ลิตรต่อนาที

af = ash-free basis



รูปที่ 4.8 ผลของอุณหภูมิไฟไวร์ไลซิสต่อร้อยละการขัดกำมะถันในบรรยายกาศแก๊สสมัยใหม่ในตัวเรagen และไธโรมิเตอร์ที่ภาวะคงที่คือเวลา 20 นาที และอัตราการไหลแก๊ส 1.0 ลิตรต่อนาที:
 ก) องค์ประกอบผลิตภัณฑ์ ข) สมบัติถ่านชาร์ค ค) ร้อยละการเปลี่ยนถ่านหินและร้อยละการขัดกำมะถันรวม ง) ร้อยละการขัดกำมะถันรูปแบบต่างๆ ได้แก่ ไฟไวร์ ชัลเฟต และอินทรี

4.4.2 ผลของบรรยากาศแก๊สผสมในต่อเจนและคาร์บอนไดออกไซด์

การศึกษาผลของอุณหภูมิในช่วง 300 – 800 องศาเซลเซียส ภาวะคงที่คือ เวลา 20 นาที และอัตราการไหลแก๊ส 1.0 ลิตรต่อนาที อัตราส่วนแก๊สผสมในต่อเจนและคาร์บอนไดออกไซด์เป็น 1:1 ผลของอุณหภูมิต่อปริมาณกำมะถันและร้อยละการขาดกำมะถันในบรรยากาศแก๊สผสมในต่อเจนและคาร์บอนไดออกไซด์แสดงดังตารางที่ 4.13

จากข้อที่ 4.9 ก) พบว่าการเพิ่มอุณหภูมิในบรรยากาศแก๊สผสมทำให้ถ่านหินเกิดการสูญเสียน้ำหนักเพิ่มขึ้น ที่อุณหภูมิ 700 องศาเซลเซียส ได้ผลตัวลดลงอย่างรวดเร็ว ในขณะที่น้ำมันทาร์รวมกับน้ำและแก๊สเพิ่มขึ้น เนื่องจากแก๊สคาร์บอนไดออกไซด์มีผลต่อกระบวนการไฟฟ์โอลซิสที่อุณหภูมิสูง

จากข้อที่ 4.9 ข) พบว่าเมื่ออุณหภูมิเพิ่มขึ้น คาร์บอนคงตัวเพิ่มขึ้น เถ้ามีค่าคงที่ ส่วนสารระเหยมีค่าลดลง เนื่องจากอุณหภูมิที่เพิ่มขึ้นทำให้สารระเหยที่อยู่ในถ่านหินออกมากขึ้น

จากข้อที่ 4.9 ค) พบว่าเมื่ออุณหภูมิเพิ่มขึ้น ร้อยละการเปลี่ยนถ่านหินและร้อยละการขาดกำมะถันรวมมีแนวโน้มเพิ่มขึ้น เมื่อมีการเพิ่มอุณหภูมิ เนื่องจากแก๊สคาร์บอนไดออกไซด์มีค่าสัมประสิทธิ์การถ่ายโอนความร้อนที่สูงกว่าแก๊สในต่อเจน มีผลให้แก๊สที่ไหลผ่านสัมผัสกับถ่านหิน เกิดการถ่ายโอนมวลและความร้อนได้ดี ช่วยให้เกิดการขาดกำมะถันของถ่านหินมากขึ้น

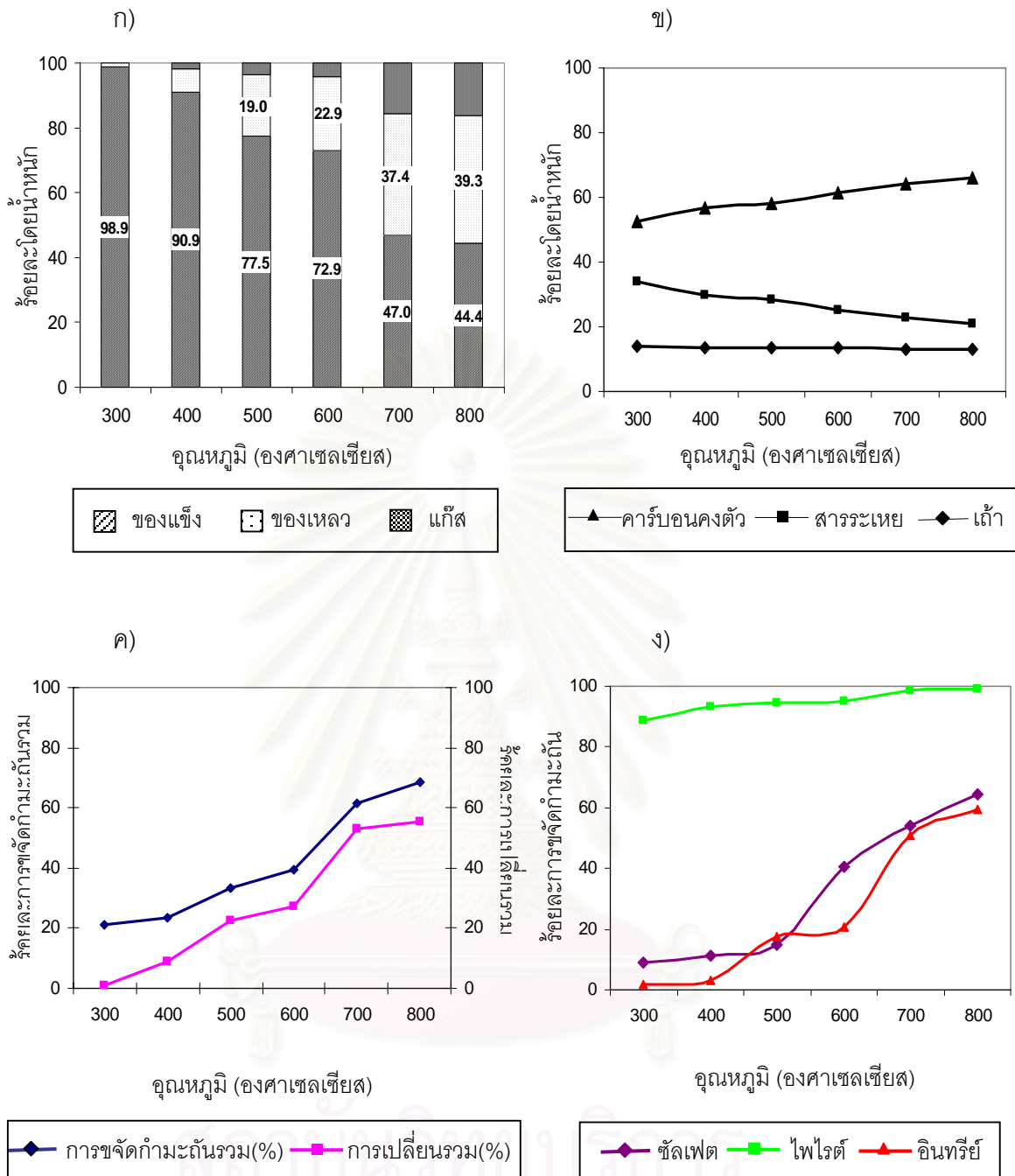
จากข้อที่ 4.9 ง) พบว่าความสามารถจัดกำมะถันไฟไวต์ดีมากในทุกช่วงอุณหภูมิ เมื่ออุณหภูมิเพิ่มขึ้น ความสามารถในการจัดกำมะถันขั้ลเฟตเพิ่มขึ้น ส่วนกำมะถันอินทรีย์มีแนวโน้มเพิ่มสูงขึ้นในช่วง 400 – 500 องศาเซลเซียส และขั้ลลงในช่วงอุณหภูมิ 500 – 600 องศาเซลเซียส และเพิ่มขึ้นอีกจนถึง 800 องศาเซลเซียส ซึ่งสอดคล้องกับงานวิจัยของ Semra [20] ที่ศึกษาผลของบรรยากาศแก๊สคาร์บอนไดออกไซด์ พบร้อยละของการขาดกำมะถันอินทรีย์ลดลงในช่วงอุณหภูมิ 450 – 550 องศาเซลเซียส เนื่องมาจากการถ่ายตัวของกำมะถันไฟไวต์ ทำให้สารประกอบกำมะถันในแก๊สไฮโดรเจนชั้ลไฟฟ์บางส่วนเกิดปฏิกิริยาลายเป็นกำมะถันอินทรีย์กลับเข้าไปอยู่ในถ่านหิน

ตารางที่ 4.13 ผลของอุณหภูมิไฟฟ์โรไลซิสต่อปริมาณกำมะถันและร้อยละการขจัดกำมะถันของถ่านหินแม่เมaje 1 ในบรรยายการแก๊สผสมในตัวเรนและคาร์บอนไดออกไซด์

	เริ่มต้น	อุณหภูมิ (องศาเซลเซียส)					
		300	400	500	600	700	800
การเปลี่ยนถ่านหิน (%) (af)	-	1.07	9.14	22.5	27.1	53.0	55.5
คงคปะกอกบผลิตภัณฑ์ (%)							
แก๊ส	-	0.09	1.66	3.48	4.21	15.6	16.2
ของเหลว	-	0.98	7.48	19.0	22.9	37.4	39.3
ถ่านชาร์	-	98.9	90.9	77.5	72.9	47.0	44.4
ภาควิเคราะห์แบบประมาณถ่านชาร์ (%)							
เต้า	15.6	13.8	13.5	13.5	13.4	13.2	13.1
สารระเหย	38.8	33.9	29.7	28.5	25.3	22.7	20.8
คาร์บอนคงตัว	45.6	52.4	56.7	58.1	61.4	64.1	66.0
ปริมาณของกำมะถัน (%)							
ไฟฟ์	0.71	0.09	0.06	0.06	0.05	0.02	0.02
ชัลเพต	0.52	0.56	0.59	0.66	0.49	0.59	0.49
อินทรีย์	2.13	2.44	2.61	2.61	2.67	2.57	2.24
กำมะถันรวม	3.36	3.09	3.26	3.33	3.22	3.18	2.75
การขจัดกำมะถัน (%)							
ไฟฟ์	-	88.7	93.5	94.4	95.2	98.8	98.9
ชัลเพต	-	8.90	11.2	15.0	40.5	53.9	64.2
อินทรีย์	-	1.74	3.27	17.6	20.8	50.9	59.4
กำมะถันรวม	-	21.2	23.6	33.4	39.6	61.5	68.5

ภาวะ: เวลา 20 นาที, อัตราการไหลดแก๊ส 1.0 ลิตรต่อนาที

af = ash-free basis



รูปที่ 4.9 ผลของอุณหภูมิไฟว์เตอร์ไซส์ต่อร้อยละการขัดกำมะถันในบรรยากาศแก๊สผสมในตรารเจน และคาร์บอนไดออกไซด์ที่ภาวะคงที่คือเวลา 20 นาที และอัตราการไหลแก๊ส 1.0 ลิตร ต่อนาที: ก) องค์ประกอบของผลิตภัณฑ์ ข) สมบัติถ่านชาร์ค) ร้อยละการเปลี่ยนถ่านหิน และร้อยละการขัดกำมะถันรวม ง) ร้อยละการขัดกำมะถันรูปแบบต่างๆ ได้แก่ ไฟว์เตอร์ชัลเพต และอินทรีร์

4.4.3 การเปรียบเทียบผลวิเคราะห์ถ่านชาร์ในบรรยายการแก๊สต่างๆ

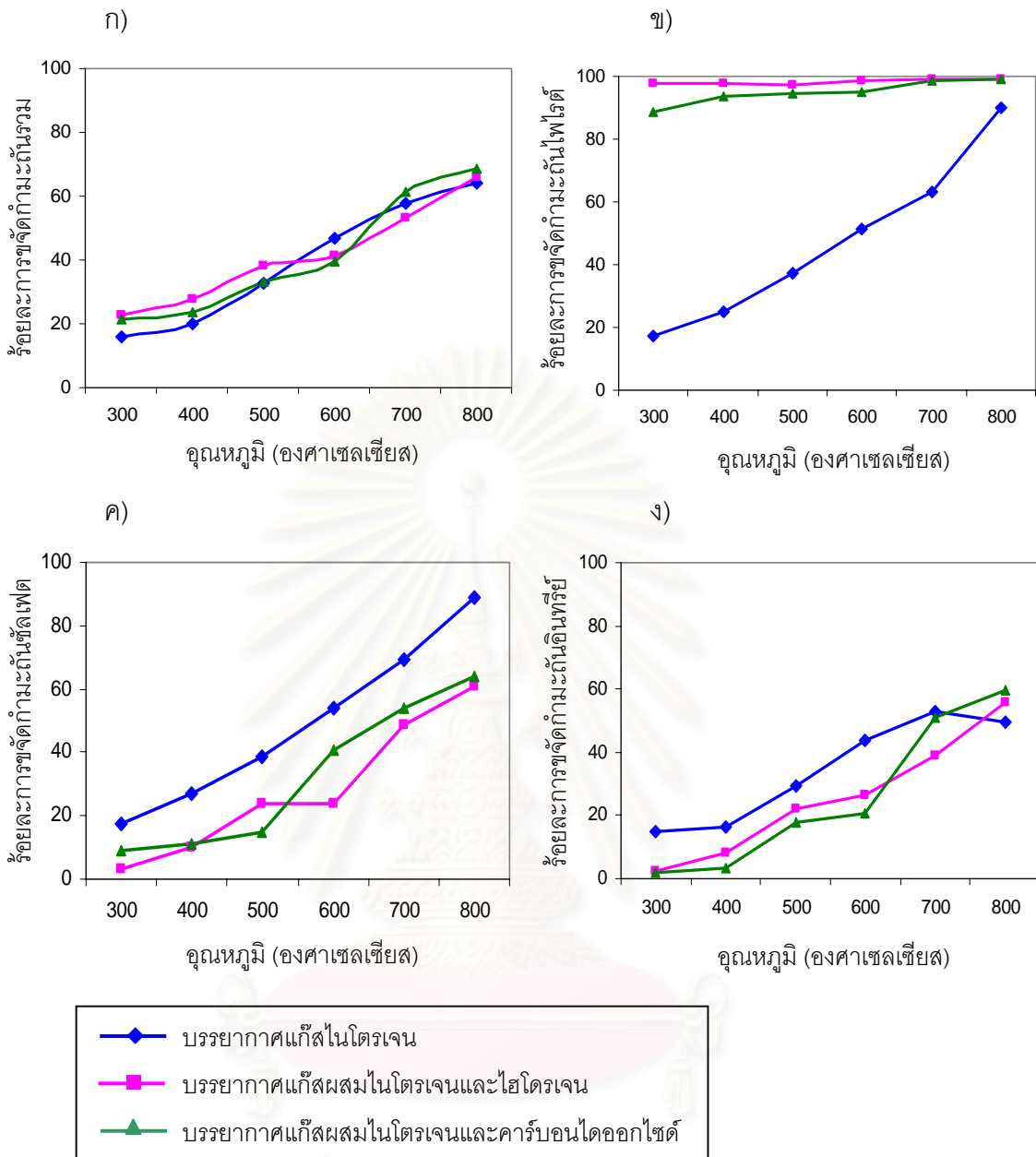
จากผลของบรรยายการแก๊สต่างๆ ที่มีต่อการไฟฟ้าในต้นที่นิน ได้เปรียบเทียบร้อยละการขัดกำลังถ่าน แสดงดังรูปที่ 4.10

จากรูปที่ 4.10 ก) พบร่วมกัน ให้แก๊สไฮโดรเจนและแก๊สคาร์บอนไดออกไซด์ช่วยให้ปริมาณกำลังถ่านไฟฟ้าลดลงอย่างมาก ขณะที่ปริมาณกำลังถ่านชัลเฟตและกำลังถ่านอินทรีย์เพิ่มขึ้น ดังนั้น ปริมาณกำลังถ่านรวมในถ่านชาร์จึงต่างกันเพียงเล็กน้อย แสดงให้เห็นว่าบรรยายการแก๊สมีผลเพียงเล็กน้อยต่อการขัดกำลังรวมของถ่านที่นิน

จากรูปที่ 4.10 ข) พบร่วมกัน ให้แก๊สไฮโดรเจนและแก๊สคาร์บอนไดออกไซด์ช่วยให้ปริมาณกำลังถ่านไฟฟ้าลดลงอย่างมาก ในทุกช่วงอุณหภูมิ ที่ช่วงอุณหภูมิต่ำพบว่าในบรรยายการแก๊ส ผสมในตัวเรนและไฮโดรเจนให้การขัดกำลังถ่านไฟฟ้าที่สูงกว่าในบรรยายการแก๊สผสมในตัวเรน และคาร์บอนไดออกไซด์ เนื่องจากแก๊สไฮโดรเจนมีค่าสัมประสิทธิ์การถ่ายโอนความร้อนที่สูงกว่าแก๊สคาร์บอนไดออกไซด์ทำให้สัมผัสถันที่นิน ได้แก๊สไฮโดรเจนชัลไฟฟ้าได้ดีกว่า

จากรูปที่ 4.10 ค) พบร่วมกัน ให้แก๊สไฮโดรเจนและแก๊สคาร์บอนไดออกไซด์ช่วยให้ปริมาณกำลังถ่านชัลเฟตต่ำกว่าในบรรยายการแก๊สผสมในตัวเรนทุกช่วงอุณหภูมิ อาจเนื่องจากกำลังถ่านไฟฟ้าต่างส่วนสลายตัวเป็นกำลังถ่านชัลเฟตได้ดีในบรรยายการแก๊สผสมทำให้ปริมาณกำลังถ่านชัลเฟตในถ่านชาร์จเพิ่มขึ้นดังตารางที่ 4.12 และตารางที่ 4.13 แสดงให้เห็นว่ากำลังถ่านชัลเฟตขัดได้ดีในบรรยายการแก๊สในตัวเรน

จากรูปที่ 4.10 ง) พบร่วมกัน ให้แก๊สไฮโดรเจนและแก๊สคาร์บอนไดออกไซด์ช่วยให้ปริมาณกำลังถ่านอินทรีย์ได้ดีกว่าในบรรยายการแก๊สผสม และในบรรยายการแก๊สผสมทั้งสองให้ค่าการขัดกำลังถ่านอินทรีย์ใกล้เคียงกัน แสดงให้เห็นว่าแก๊สไฮโดรเจนและคาร์บอนไดออกไซด์อาจไม่ช่วยให้เกิดการขัดกำลังถ่านอินทรีย์เพิ่มขึ้น และโครงสร้างที่ซับซ้อนของกำลังถ่านอินทรีย์ทำให้ความสามารถในการขัดกำลังลดลง



ຮູບທີ 4.10 ລົດຂອງອຸນໜກມີໄພໂໄລເຊີສຕ່ອ້ອຍລະກາວຂໍຈັດກຳມະຄັນໃນປຣຍາກັສແກ້ສົມໄຟຣິເຈນ
ປຣຍາກັສແກ້ສົມໄຟຣິເຈນ ແລະ ໄຊໂດເຈນ ແລະ ປຣຍາກັສແກ້ສົມໄຟຣິເຈນ ແລະ
ດາວົບອົນໄດ້ອອກໄຊດໍ: ก) ວ້ອຍລະກາວຂໍຈັດກຳມະຄັນຮຸ່ມງານ ໂ) ວ້ອຍລະກາວຂໍຈັດກຳມະຄັນ
ໄພໄວ່ຕົ້ນ ໂ) ວ້ອຍລະກາວຂໍຈັດກຳມະຄັນຫຼັດເຟ ໃ) ວ້ອຍລະກາວຂໍຈັດກຳມະຄັນອືນທຶນ

4.5 ผลของชนิดถ่านหินในบรรยากาศแก๊สต่างๆ

ผลของชนิดถ่านหินแม่เมaje1 (ถ้าต่ำ) และแม่เมaje2 (ถ้าสูง) ในบรรยากาศของแก๊สต่างๆ ต่อปริมาณของกำมะถันและร้อยละการขัดกำมะถันแสดงดังตารางที่ 4.14

จากขุปที่ 4.11 ก) พบว่าถ่านหินแม่เมaje1 ให้ค่าร้อยละการขัดกำมะถันรวมสูงกว่าถ่านหินแม่เมaje2 เล็กน้อยในทั้งสามบรรยากาศแก๊ส เนื่องจากในถ่านหินเริ่มต้นมีปริมาณกำมะถันรวมไม่ต่างกันมากนัก แสดงให้เห็นว่าปริมาณถ้าเริ่มต้นในถ่านหินไม่มีผลต่อการขัดกำมะถันรวมแต่มีผลต่อร้อยละการเปลี่ยนถ่านหิน พบว่าถ่านหินแม่เมaje2 (ถ้าสูง) ให้ค่าร้อยละการเปลี่ยนถ่านหินต่ำกว่าถ่านหินแม่เมaje1 (ถ้าต่ำ) ดังตารางที่ 4.14

จากขุปที่ 4.11 ข) พบว่าถ่านหินแม่เมaje1 ให้ค่าร้อยละการขัดกำมะถันไฟไวร์ทสูงกว่าถ่านหินแม่เมaje2 หากในบรรยากาศแก๊สในต่อเจน ในขณะที่บรรยากาศแก๊สผสสมให้ค่าที่ไม่แตกต่างกันมากนัก ในบรรยากาศแก๊สผสสมให้ค่าร้อยละการขัดกำมะถันไฟไวร์ทสูงกว่า เนื่องจากกำมะถันที่เกิดจากการถลวยตัวของกำมะถันไฟไวร์ทสามารถเกิดปฏิกิริยาเป็นแก๊สไฮโดรเจนซัลฟิดได้ดีกว่า แสดงให้เห็นว่ากำมะถันไฟไวร์ทขัดได้ดีในบรรยากาศแก๊สผสสมและปริมาณถ้าเริ่มต้นมีผลเล็กน้อยต่อการขัดกำมะถันไฟไวร์ท

จากขุปที่ 4.11 ค) พบว่าถ่านหินทั้งสองชนิดให้ค่าการขัดกำมะถันซัลเฟตในแต่ละบรรยากาศใกล้เคียงกัน เนื่องมาจากปริมาณกำมะถันซัลเฟตเริ่มต้นในถ่านหินไม่ต่างกันมากนัก แสดงให้เห็นว่าปริมาณถ้าในถ่านหินไม่มีผลต่อการขัดกำมะถันซัลเฟต และกำมะถันซัลเฟตขัดได้ดีในบรรยากาศแก๊สในต่อเจน

จากขุปที่ 4.11 ง) พบว่าถ่านหินทั้งสองชนิดมีแนวโน้มการขัดกำมะถันอินทรีย์ใกล้เคียงกันในแต่ละบรรยากาศแก๊ส อาจเนื่องมาจากการโครงสร้างที่ซับซ้อนของถ่านหินทั้งสองชนิดใกล้เคียงกัน จากผลดังกล่าวแสดงให้เห็นว่าปริมาณถ้าเริ่มต้นในถ่านหินทั้งสองชนิดไม่มีผลต่อการขัดกำมะถันอินทรีย์

ตารางที่ 4.14 ผลของชนิดถ่านหินในบรรยากาศของแก๊สต่างๆ

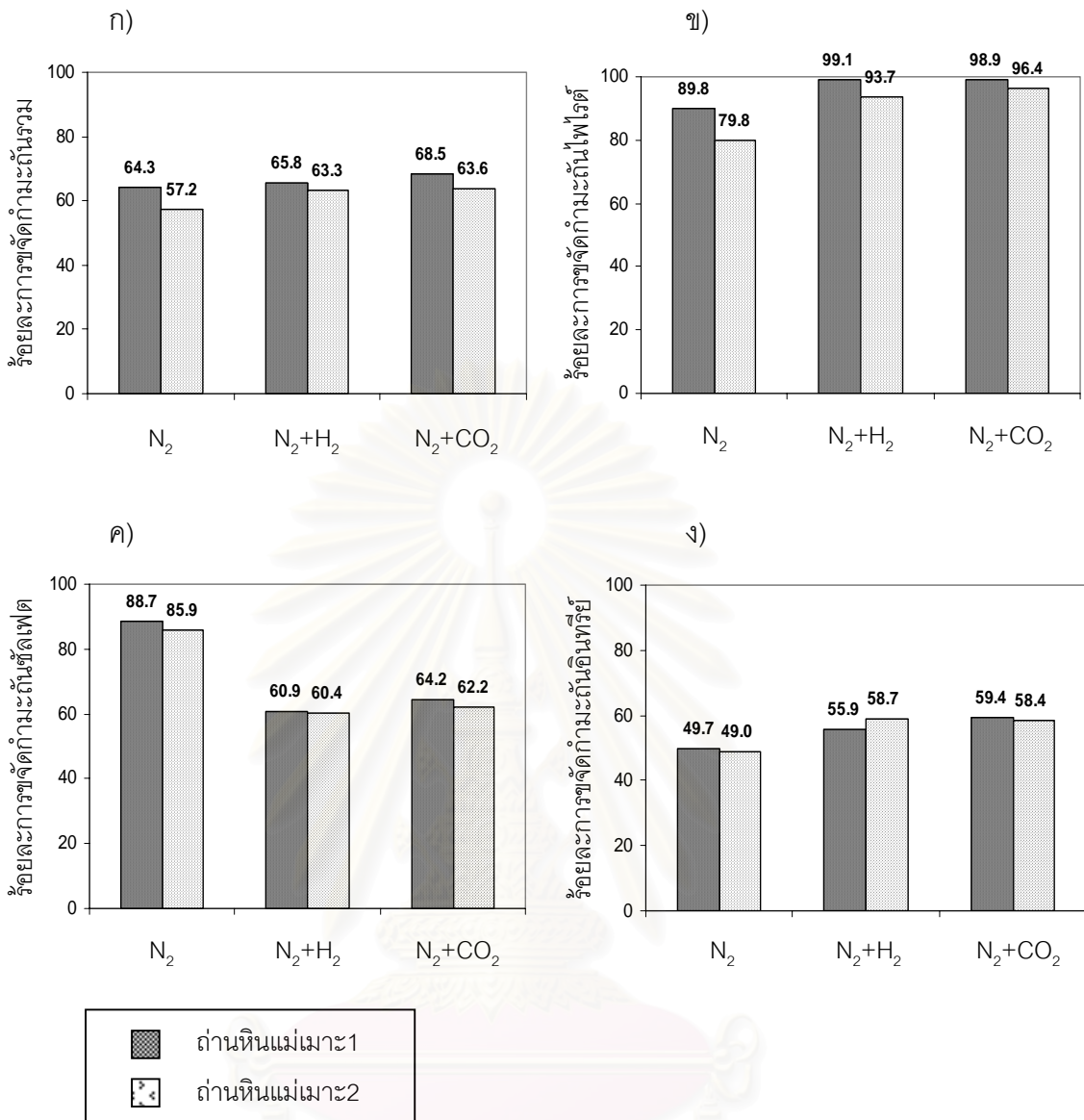
	N_2		$N_2 + H_2$		$N_2 + CO_2$	
	แม่เมaje1	แม่เมaje2	แม่เมaje1	แม่เมaje2	แม่เมaje1	แม่เมaje2
การเปลี่ยนถ่านหิน (%) (af)	54.0	42.5	56.0	46.2	55.5	46.2
<u>องค์ประกอบพลิคัลล์ (%)</u>						
แก๊ส	17.2	10.2	17.2	10.3	16.2	6.00
ช่องเหลว	36.8	32.3	38.8	35.9	39.3	40.2
ถ่านชาร์	46.0	57.5	44.0	53.8	44.4	53.8
<u>การวิเคราะห์แบบประมาณถ่านชาร์ (%)</u>						
ถ้า	13.1	26.4	13.3	26.3	13.1	26.3
สารระเหย	16.3	44.2	17.1	44.2	20.8	44.6
คาร์บอนคงตัว	70.6	29.4	69.6	29.5	66.0	29.1
<u>ปริมาณของกำมะถัน (%)</u>						
ไฟโรต์	0.18	0.21	0.02	0.07	0.02	0.04
ชัลเพต	0.15	0.14	0.54	0.42	0.49	0.40
อินทรีร์	2.69	3.22	2.46	2.77	2.24	2.80
กำมะถันรวม	3.02	3.57	3.02	3.26	2.75	3.24
<u>การขัดกำมะถัน (%)</u>						
ไฟโรต์	89.8	79.8	99.1	93.7	98.9	96.4
ชัลเพต	88.7	85.9	60.9	60.4	64.2	62.2
อินทรีร์	49.7	49.0	55.9	58.7	59.4	58.4
กำมะถันรวม	64.3	57.2	65.8	63.3	68.5	63.6

แม่เมaje1: 800 องศาเซลเซียส, 30 นาที, 1.5 ลิตรต่อนาที ในบรรยากาศ N_2

แม่เมaje1: 800 องศาเซลเซียส, 20 นาที, 1.0 ลิตรต่อนาที ในบรรยากาศ $N_2 + H_2$ และ $N_2 + CO_2$

แม่เมaje2: 800 องศาเซลเซียส, 20 นาที, 1.0 ลิตรต่อนาที ในบรรยากาศ N_2 , $N_2 + H_2$ และ $N_2 + CO_2$

af = ash-free basis



รูปที่ 4.11 ผลของชนิดถ่านหินไฟไว้เลซิสในบรรยายการศึกษาของแก๊สต่างๆ: ก) ร้อยละการขจัดกำมะถันรวม ข) ร้อยละการขจัดกำมะถันไฟไวร์ต์ ค) ร้อยละการขจัดกำมะถันชัลเฟต ง) ร้อยละการขจัดกำมะถันอินทรี

4.6 การเปรียบเทียบร้อยละการขจัดกำมะถันรวม

จากผลของตัวแปรกระบวนการที่มีต่อการไฟโรไลส์ถ่านหิน ได้เปรียบเทียบร้อยละการขจัดกำมะถันที่ได้ในบรรยายกาศในตระเจนของงานวิจัยอื่นๆ กับงานวิจัยนี้แสดงดังตารางที่ 4.15 พบว่ากระบวนการไฟโรไลซ์ถ่านหินขจัดกำมะถันได้ดีที่อุณหภูมิสูง การไฟโรไลส์ในบรรยายกาศแก๊สไฮโดรเจน บรรยายกาศแก๊สคาร์บอนไดออกไซด์ และบรรยายกาศแก๊สผสุม ให้ค่าร้อยละการขจัดกำมะถันที่ดีกว่าการไฟโรไลส์ในบรรยายกาศแก๊สในตระเจน เนื่องจากมีค่าสมประสิทธิ์การถ่ายโอนความร้อนสูงกว่า มีผลให้แก๊สที่เหลือผ่านสัมผัสถ่านหินเกิดการถ่ายโอนมวลและความร้อนได้มากขึ้น สำหรับการไฟโรไลส์ถ่านหินในบรรยายกาศแก๊สคาร์บอนไดออกไซด์มีผลมากต่อการขจัดกำมะถันอินทรีย์ที่อุณหภูมิสูง

ตารางที่ 4.15 การเปรียบเทียบร้อยละการขจัดกำมะถันที่ได้ของงานวิจัยอื่นๆ กับงานวิจัยนี้^(*)

ผู้วิจัย	ชนิดของถ่านหิน	อุณหภูมิ ($^{\circ}\text{C}$)	เวลา (min)	ชนิดแก๊ส	อัตราการไหหลแก๊ส	ร้อยละการขจัดกำมะถันรวม (l/min)
Haoquan et al (2004)	ชัปบิทูมินัส ⁽³⁾	520-745 (2.38)	10-30	-	-	15-40
Quanrun et al (2004)	บิทูมินัส ⁽³⁾ (ล้าง HCl/HF) (2.23)	350-650	30	N_2	0.7	5-50
Semra (2003)	ลิกไนต์ ⁽³⁾ (4.70)	250-800	2-30	N_2 CO_2	2.1 1.7	5-96 ⁽¹⁾ , 5-62 ⁽²⁾ 5-97 ⁽¹⁾ , 5-96 ⁽²⁾
ฉัตรชัย สนธิรัตน์ ⁽²⁵⁴¹⁾	ลิกไนต์ ⁽³⁾ (3.77)	400-900	10	N_2 H_2	- -	30-54 27-62
งานวิจัยนี้ ⁽²⁵⁴⁷⁾	ลิกไนต์ ⁽³⁾ (3.36)	300-800	30	N_2	1.5	15-64
			20	N_2+H_2	1.0	23-66
			20	N_2+CO_2	1.0	21-69

⁽¹⁾ กำมะถันไฟโรต์, ⁽²⁾ กำมะถันอินทรีย์

⁽³⁾ ร้อยละปริมาณกำมะถันรวมของถ่านหิน

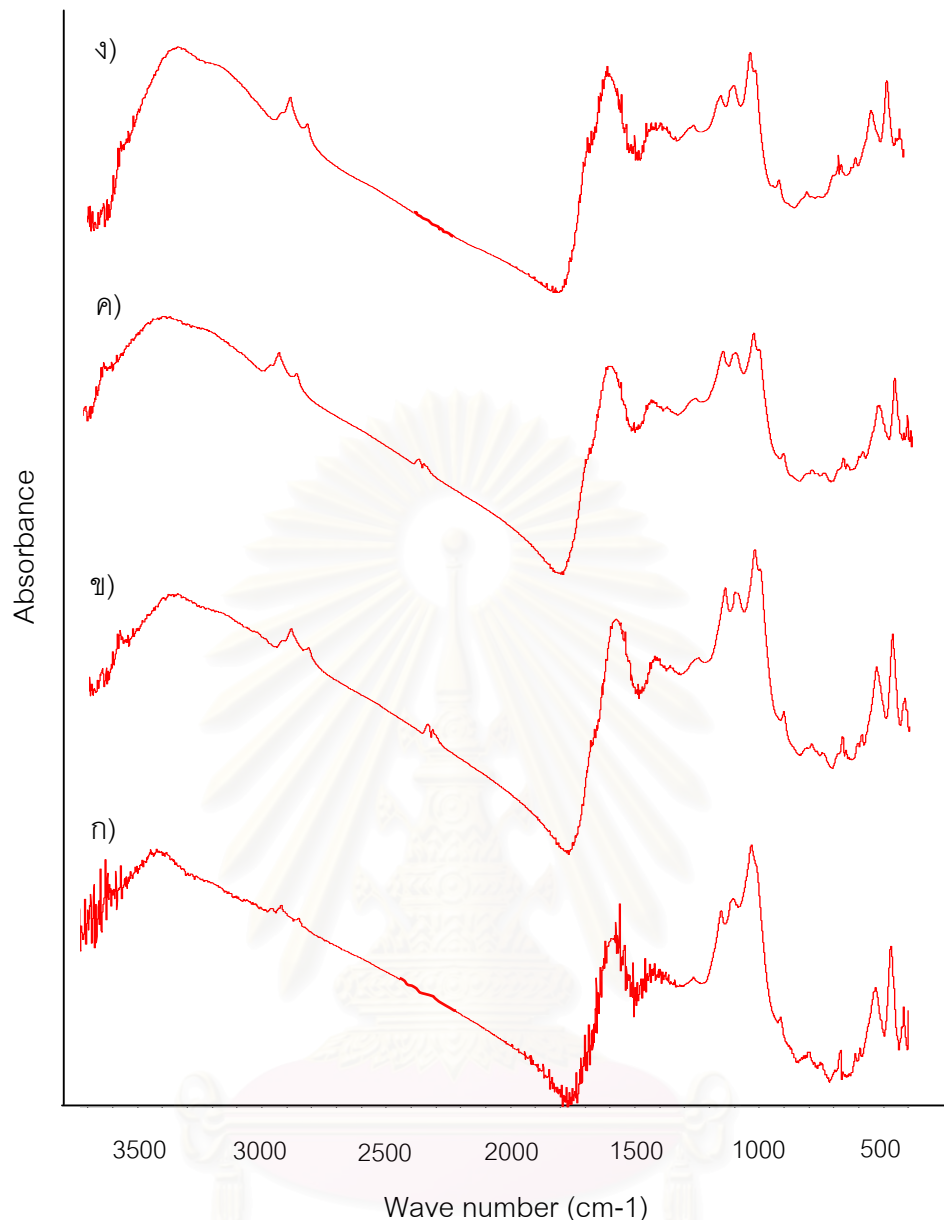
4.7 ผลการวิเคราะห์ถ่านชาร์ด้วยเครื่อง FT-IR

วิเคราะห์ถ่านชาร์ด้วยเครื่องมือฟูเรียร์ทรายสฟอร์ม อินฟราเรดสเปกโตรมิเตอร์ (Fourier Transform Infrared Spectrometer, FT – IR) โดยใช้เทคนิค KBr pellet (ภาคผนวก ง) เพื่อศึกษา หมู่พังค์ชันของถ่านหินและถ่านชาร์ที่ได้จากการไฟโรไอล์ส จากกฎปี 4.12 แสดง FT-IR สเปกตัมของถ่านหินลิกไนต์ดิบ และถ่านชาร์ที่ภาระการทดลองอุณหภูมิ 400, 600 และ 800 องศา เชลเซียส เวลาไฟโรไอล์ซิส 30 นาที และอัตราการไฟล์แก๊ส 1.5 ลิตรต่อนาที พบร่วงลักษณะสำคัญของโครงสร้างถ่านหินคล้ายกันมากต่างกันเพียงแคบ 3600, 2800, 1000 ซม⁻¹ และในช่วง 750 – 400 ซม⁻¹

จากกฎปี 4.12 สำหรับถ่านหินลิกไนต์ดิบพบว่าที่แทบ 3600 ซม⁻¹ เกิดขึ้นตามการสั่นสะเทือนที่ขยายตัวของหมู่ไฮดรอกซิล (-OH) และ Absorbance นี้จะหายไปหรือลดลงเมื่อเกิดการให้ความร้อนแก่ถ่านหิน สำหรับแทบใกล้ 1000 ซม⁻¹ ขึ้นกับแร่ธาตุชัลเฟตในถ่านหิน ซึ่งประกอบด้วยแร่ธาตุต่างๆ ที่ถูกจัดไว้เมื่อมีการให้ความร้อน ดังนั้นแทบ FT-IR สเปกตัมของถ่านหินลิกไนต์ดิบและถ่านชาร์ทถูกนำมาวิเคราะห์เพื่อระบุการสูญเสียกลุ่มกำมะถันหลัก ตามปกติแล้วแทบอินฟราเรดในกลุ่มของกำมะถันอินทรีย์จะอยู่มากและเกือบจะไม่เห็นเลย แม้ในกรณีถ่านหินกำมะถันสูง ผลการวิจัยนี้สอดคล้องกับงานวิจัยของ Gulhan. และคณะ [27]

สำหรับแทบใกล้ 2800 ซม⁻¹ เกิดขึ้นตามการสั่นสะเทือนที่ขยายตัวของหมู่ไฮดรอการ์บอน (-CH₂- หรือ -CH₃) และ Absorbance นี้จะเพิ่มขึ้นเมื่อเกิดการให้ความร้อนแก่ถ่านหิน เนื่องจากปริมาณคาร์บอนคงตัวในถ่านชาร์ทเพิ่มขึ้น

นอกจากนี้ที่ช่วงความยาวคลื่นระหว่าง 475 – 640 ซม⁻¹ เกิดจากส่วนประกอบของถ่านหินซึ่งระบุว่าเป็นกลุ่มของไดซัลไฟต์ และไทออกล์ส การให้ความร้อนแก่ถ่านหินโดยกระบวนการไฟโรไอล์ซิสทำให้เกิดการลดลงของกลุ่มไดซัลไฟต์ และไทออกล์สในถ่านหินเมื่อเทียบกับถ่านหินลิกไนต์ดิบ จากกฎปี 4.12 พบร่วงแบบคลื่นทำแท่งนี้เกิดการลดลงของกลุ่มกำมะถันอินทรีย์ แสดงให้เห็นว่ากระบวนการไฟโรไอล์ซิสมีประสิทธิภาพในการขจัดกำมะถันของถ่านหินลิกไนต์



รูปที่ 4.12 FT-IR สเปกตรัมของตัวอย่าง ก) ถ่านหินลิกไนต์ดิบ ข) ถ่านชาร์ 400 องค์ชาเซลเชียล
ค) ถ่านชาร์ 600 องค์ชาเซลเชียล ง) ถ่านชาร์ 800 องค์ชาเซลเชียล

4.8 องค์ประกอบผลิตภัณฑ์แก๊ส

ผลวิเคราะห์ผลิตภัณฑ์แก๊สด้วยเครื่องแก๊สโครมาโทกราฟ (Gas Chromatograph) พบว่า สัดส่วนและผลได้ของแก๊สสัมพันธ์กับการวิเคราะห์ผลิตภัณฑ์อุณหภูมิ 300 และ 600 องศาเซลเซียส เวลา 30 นาที และอัตราการไหลแก๊ส 1.5 ลิตรต่อนาที ในบรรยากาศแก๊สในต่อเรجن ผลที่ได้ชี้ให้เห็นว่าอุณหภูมิมีผลอย่างมากต่อสัดส่วนและองค์ประกอบของแก๊ส เมื่ออุณหภูมิเพิ่มขึ้นแก๊สไฮโดรเจนและคาร์บอนมอนอกไซด์จะเพิ่มขึ้น ในขณะที่แก๊สมีเทน แก๊สคาร์บอนไดออกไซด์และแก๊สไฮโดรคาร์บอนที่มีคาร์บอน 2-4 อะตอมจะลดลง

ผลการวิจัยนี้สอดคล้องกับงานวิจัยของ Haoquan และคณะ [21] ที่ศึกษาการแยกและผลิตภัณฑ์และพฤติกรรมของกำมะถันในการไฟโรไลส์ถ่านหิน พบว่าอุณหภูมิเป็นปัจจัยที่สำคัญที่มีผลต่องค์ประกอบผลิตภัณฑ์แก๊ส เมื่อเพิ่มอุณหภูมิมีผลให่องค์ประกอบผลิตภัณฑ์แก๊สเพิ่มขึ้น แต่สัดส่วนของผลิตภัณฑ์แก๊สเปลี่ยนแปลงในทางที่ต่างกัน ดังแสดงในตารางที่ 4.16

ตารางที่ 4.16 ผลการวิเคราะห์องค์ประกอบผลิตภัณฑ์แก๊สจากการไฟโรไลส์ถ่านหินในบรรยากาศแก๊สในต่อเรجن

ผลิตภัณฑ์แก๊ส	ร้อยละของผลิตภัณฑ์แก๊ส				
	งานวิจัยนี้		Haoquan และคณะ [21]		
	300 °C	600 °C	520 °C	600 °C	715 °C
H ₂	-	18.6	10.0	15.0	30.0
CH ₄	45.3	35.4	38.0	32.0	27.0
CO	12.5	19.2	19.0	21.0	23.0
CO ₂	26.7	17.5	22.0	15.0	12.0
C2 – C4	15.5	9.30	11.0	7.00	6.00

บทที่ 5

สรุปผลการทดลองและข้อเสนอแนะ

5.1 สรุปผลการทดลอง

จากการศึกษาการแจกแจงผลิตภัณฑ์และพฤติกรรมของกำมะถันระหว่างการไฟโรไลซ์ถ่านหินในบรรยายกาศแก๊สต่างๆ โดยมีตัวแปรที่ศึกษาคือ อุณหภูมิ 300 – 800 องศาเซลเซียส เวลา 10 – 30 นาที อัตราการไฟลแก๊ส 0.5 – 1.5 ลิตรต่อนาที บรรยายกาศของแก๊ส ได้แก่ แก๊สในตอรเจน แก๊สผสมในตอรเจนและไฮโดรเจน และแก๊สผสมในตอรเจนและคาร์บอนไดออกไซด์ และชนิดของถ่านหิน ได้แก่ ถ่านหินลิกไนต์เต้าสูง และต่ำ สามารถสรุปผลการทดลองได้ดังนี้

5.1.1 ผลการออกแบบการทดลองกระบวนการไฟโรไลซิสถ่านหินในบรรยายกาศในตอรเจน

ผลของการออกแบบการทดลองเชิงแฟกทอเรียล พบว่าอุณหภูมิและอัตราการไฟลแก๊ส เป็นปัจจัยหลักที่มีผลต่อร้อยละการขัดกำมะถันรวมและร้อยละการเปลี่ยนถ่านหินในบรรยายกาศ แก๊สในตอรเจน ที่ภาวะการทดลองอุณหภูมิ 800 องศาเซลเซียส เวลา 30 นาที และอัตราการไฟลแก๊ส 1.5 ลิตรต่อนาที ได้ร้อยละการขัดกำมะถันรวมสูงสุด 64.3 และร้อยละการเปลี่ยนรวม 69.5

5.1.2 ผลของตัวแปรต่างๆ ได้แก่ อุณหภูมิ เวลา และอัตราการไฟลแก๊สในบรรยายกาศแก๊สในตอรเจน

ผลของอุณหภูมิ พบว่าการเพิ่มอุณหภูมิทำให้ปริมาณถ่านชาารลดลงในขณะที่ปริมาณน้ำมันทาร์รวมกับน้ำและแก๊สเพิ่มสูงขึ้น ร้อยละการขัดกำมะถันเพิ่มสูงขึ้นทั้งในกำมะถันรวม กำมะถันไฟโรต์ กำมะถันชัลเฟตและกำมะถันอินทรีย์ ที่อุณหภูมิสูงเกิดปฏิกิริยาผนกกลับได้ระหว่าง กำมะถันอินทรีย์ในถ่านชาารและแก๊สไฮโดรเจนชัลไฟต์ ทำให้กำมะถันอินทรีย์ในถ่านชาารเพิ่มขึ้น

ผลของเวลา พบว่าที่อุณหภูมิสูงการเพิ่มเวลาไม่ผลต่อร้อยละการเปลี่ยนถ่านหินและร้อยละการขัดกำมะถันเพียงเล็กน้อย ที่อุณหภูมิ 800 องศาเซลเซียส ทำให้โครงสร้างที่เป็นรูป Jun ของถ่านหินถูกทำลาย โครงสร้างที่ซับซ้อนของถ่านหินเกิดการเปลี่ยนแปลงและขัดขวางการปล่อยออก

ของสารประกอบกำมะถัน โดยร้อยละการขัดกำมะถันอินทรีย์มีค่าต่ำกว่ากำมะถันไฟไวร์ต์และกำมะถันชัลเพตมาก เนื่องจากกำมะถันอินทรีย์มีโครงสร้างที่ซับซ้อนทำให้ขัดออกได้ยากกว่า

ผลของอัตราการไอลแก๊ส พบร่วงการเพิ่มอัตราการไอลแก๊สมีผลต่อร้อยละการเปลี่ยนรวม และร้อยละการขัดกำมะถันเพียงเล็กน้อย โดยปริมาณกำมะถันรวมและกำมะถันรูปแบบต่างๆ ในถ่านchar์ลดลงเพียงเล็กน้อย เมื่อเพิ่มอัตราการไอลแก๊สจาก 0.5 ลิตรต่อน้ำที่ เป็น 1.0 ลิตรต่อน้ำที่ ก็ได้การขัดกำมะถันรวมเพิ่มขึ้นอย่างมากจากร้อยละ 51.9 เป็นร้อยละ 60.0

5.1.3 ผลของบรรยายการแก๊สผสมต่อการขัดกำมะถันของถ่านหิน

ในบรรยายการแก๊สผสมในตอรเจนและไฮโดรเจน ให้ค่าร้อยละการขัดกำมะถันรวมของถ่านchar์เพิ่มขึ้นเมื่อเพิ่มอุณหภูมิ แต่ให้ค่าไม่ต่างกันมากนักเมื่อเทียบกับในบรรยายการแก๊สในตอรเจน อาจเนื่องมาจากในบรรยายการแก๊สผสมมีปริมาณแก๊สไฮโดรเจนไม่เพียงพอในการสลายตัวของสารประกอบกำมะถัน และลดความสามารถในการปล่อยออกของสารประกอบกำมะถัน โดย กำมะถันไฟไวร์ต์ถูกขัดได้ดีกว่าในบรรยายการแก๊สในตอรเจนทุกช่วงอุณหภูมิ

ในบรรยายการแก๊สผสมในตอรเจนและคาร์บอนไดออกไซด์ ให้ค่าร้อยละการขัดกำมะถันรวมของถ่านchar์เพิ่มขึ้นเมื่อเพิ่มอุณหภูมิเช่นเดียวกับในบรรยายการแก๊สผสมในตอรเจนและไฮโดรเจน และในบรรยายการแก๊สในตอรเจน โดยกำมะถันไฟไวร์ต์ถูกขัดได้ดีกว่าในบรรยายการแก๊สในตอรเจนทุกช่วงอุณหภูมิ สำหรับกำมะถันอินทรีย์ถูกขัดได้ดีที่ช่วงอุณหภูมิสูงเท่านั้น (ประมาณ 700 – 800 องศาเซลเซียส)

5.1.4 ผลของชนิดถ่านหินลิกไนต์ในบรรยายการแก๊สต่างๆ

ถ่านหินแม่เมaje 1 (ถ้าต่ำ) ขัดกำมะถันได้ดีกว่าถ่านหินแม่เมaje 2 (ถ้าสูง) เล็กน้อย เนื่องจากถ่านหินตั้งต้นมีปริมาณกำมะถันรวมไม่ต่างกันมาก และการไฟฟ้าในบรรยายการแก๊สผสม ขัดกำมะถันไฟไวร์ต์ได้ดีกว่าในบรรยายการแก๊สในตอรเจนมาก ที่อุณหภูมิ 800 องศาเซลเซียส ในบรรยายการแก๊สผสมในตอรเจนและคาร์บอนไดออกไซด์สามารถขัดกำมะถันไฟไวร์ต์ได้สูงสุดร้อยละ 96.4 มากกว่าในบรรยายการแก๊สในตอรเจน (ร้อยละ 79.8) และบรรยายการแก๊สผสมในตอรเจน และไฮโดรเจน (ร้อยละ 93.7) เนื่องจากแก๊สคาร์บอนไดออกไซด์มีค่าสัมประสิทธิ์การถ่ายโอนความร้อนที่สูงกว่าแก๊สในตอรเจน

จากการศึกษาอิทธิพลของตัวแปรต่างๆ ของการไฟฟ์ร่าล์ส์ถ่านหินในบรรยายการแก๊สต่างๆ ต่อการขัดจำกัดถ่านหินพบว่า ภาวะที่ดีที่สุดของกระบวนการคือ อุณหภูมิ 800 องศาเซลเซียส, เวลา 20 นาที, อัตราการไอล์แก๊ส 1.00 ลิตรต่อนาที

5.2 ข้อเสนอแนะ

1. ศึกษากระบวนการแก๊สฟิเคนชันของผลิตภัณฑ์ถ่านหิน เพื่อลดปริมาณน้ำมันทาร์ที่เป็นปัญหาสำคัญของกระบวนการแก๊สฟิเคนชัน และศึกษาองค์ประกอบแก๊สผลิตภัณฑ์ที่ได้
2. ศึกษาการเติมถ่านหินก่อนการทดลอง เช่น การลดปริมาณถ่านหินโดยการล้างถ่านหิน เพื่อเพิ่มร้อยละการเปลี่ยนถ่านหินรวมและประสิทธิภาพในการขัดจำกัดถ่านหิน
3. ศึกษาความเป็นไปได้ทางเศรษฐศาสตร์และเชิงพาณิชย์ สำหรับไฟฟ์ร่าล์ส์รวมทั้งศึกษาการนำมาใช้ได้จริง และการขยายขนาดให้ใหญ่ขึ้น

สถาบันวิทยบริการ
จุฬาลงกรณ์มหาวิทยาลัย

รายการอ้างอิง

1. Mayer, R. A. Coal Desulfurization. New York: Marcel Dekker, 1981.
2. Schlosberg, R. H., ed. Chemistry of coal conversion. New York: Plenum Press, 1985.
3. Probstein, R. F., Hicks, R. E. Synthetic fuels. McGraw-Hill, 1982.
4. กัญจนานา บุณยเกียรติ. เชื้อเพลิงและการเผาไหม้. กรุงเทพมหานคร: 2542, 2.21-2.24.
5. ASTM Standard, D388. Classification of Coals by rank : American Society for Testing Materials. U.S.A., 1994.
6. Nowacki, P. Coal liquefaction Process. New York, 1979.
7. Lowry, H. H., ed. Chemistry of coal utilization. New York: John Wiley & Sons, 1963.
8. Garcia-Labiano, F., Hampartsoumian, E., and Williams, A. Determination of sulfur release and its kinetics in rapid pyrolysis of coal. Fuel 74 (1995): 1072-1079.
9. มนพิไล แห่งทวารพย์เจริญ. ผลงานศาสตร์การขั้นตอนกำมะถันในถ่านหินด้วยกระบวนการเมเยอร์ส. วิทยานิพนธ์ปริญญาบัณฑิต ภาควิชาเคมีเทคนิค จุฬาลงกรณ์มหาวิทยาลัย, 2535.
10. Solomon, P. R., Fletcher, T. H., and Pugmire, R. J. Progress in coal pyrolysis. Fuel 72 (1993): 587-597.
11. Merrick, D. Coal combustion and conversion technology. London: Macmillan publishers Ltd., 1984.
12. Khan, M. R. Prediction of sulfur distribution in products during low temperature coal pyrolysis and gasification. Fuel 68 (1989): 1439-1449.
13. Gryglewicz, G. Sulfur transformations during pyrolysis of a high sulfur Polish coking coal. Fuel 74 (1995): 356-361.
14. Ibarra, J. V., Bonet, A. J., and Moliner, R. Release of volatile sulfur compounds during low temperature pyrolysis of coal. Fuel 73 (1994): 933-939.
15. Sugawara, K., Tozuka, Y., Sugawara, T., and Nishiyama, Y. Effect of heating rate and temperature on pyrolysis desulfurization of a bituminous coal. Fuel Processing Technology 37 (1994): 73-85.
16. Lin, L., Khang, S. J., and Keener, T. C. Coal desulfurization by mild pyrolysis in a dual-auger coal feeder. Fuel Processing Technology 53 (1997): 15-29.

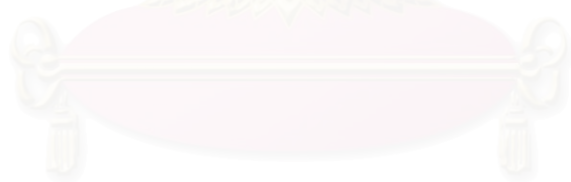
17. Ibarra, J. V., Palacios, J. M., Moliner, R., and Bonet, A. J. Evidence of reciprocal organic matter-pyrite interactions affecting sulfur removal during coal pyrolysis. *Fuel* 73 (1994): 1046-1050.
18. Gryglewicz, G., and Jasienko, S. The behavior of sulfur forms during pyrolysis of low-rank coal. *Fuel* 71 (1992): 1225-1229.
19. Quanrun, L., Haoquan, H., Qiang, Z., Shengwei, Z., and Guohua, C. Effect of mineral on sulfur behavior during pressurized coal pyrolysis. *Fuel Processing Technology*. 85 (2004): 863-871.
20. Semra, K. Desulfurization of a Turkish lignite at various gas atmospheres by pyrolysis. Effect of mineral matter. *Fuel*. 82 (2003): 1509-1516.
21. Haoquan, H., Qiang, Z., Shengwei, Z., Bernd, M., Steffen, K., and Guohua, C. Product distribution and sulfur behavior in coal pyrolysis. *Fuel Processing Technology*. 85 (2004): 849-861.
22. Hu, H. Desulfurization of coal with pyrolysis in different atmosphere. *Fuel and Energy*. 45 (2004): 5.
23. Yongqin, Q., Wen, L., Haokan, C., Baoqing, L. Desulfurization of coal through pyrolysis in a fluidized-bed reactor under nitrogen and 0.6% O₂-N₂ atmosphere. *Fuel*. 83 (2004): 705-712.
24. Gryglewicz, G. Effectiveness of high temperature pyrolysis in sulfur removal from coal. *Fuel Processing Technology* 46 (1996): 217-226.
25. สมฤตี ริมพะสุต. ultonplascastrwsataytawongkamakannainqanhinrwhwangcarwbcainthexnn.
วิทยานิพนธ์ปริญญามหาบัณฑิต ภาควิชาเคมีเทคนิค จุฬาลงกรณ์มหาวิทยาลัย,
2535.
26. ฉัตรชัย อนศรีสุข. garagamjakkamakannajakqanhinindoyiprotolitishisthokuonhgnimtta. วิทยานิพนธ์
ปริญญามหาบัณฑิต ภาควิชาเคมีเทคนิค จุฬาลงกรณ์มหาวิทยาลัย, 2541.
27. Gulhan, G. E., Nursen, A. O., and Yuda, Y. Chemical desulfurization of Turkish Cayirhan lignite with HI using microwave and thermal energy. *Fuel* 82 (2003): 531-537.
28. ASTM Standard, D3172. Proximate Analysis of Coal and Coke : American Standard Society for Testing and Materials. U.S.A., 1994.

29. ASTM Standard, D3173. Test for Moisture in the Analysis Sample of Coal and Coke : American Society for Testing Materials. U.S.A., 1994.
30. ASTM Standard, D3174. Test for Ash in the Analysis Sample of Coal and Coke : American Society for Testing Materials. U.S.A., 1994.
31. ASTM Standard, D3175. Test for Volatile Matter in the Analysis Sample of Coal and Coke : American Society for Testing Materials. U.S.A., 1994.
32. ASTM Standard, D2015. Gross Calorific Values of Coal and Coke by the Adiabatic Bomb Calorimeter : American Standard Society for Testing and Materials. U.S.A., 1994.
33. ASTM Standard, D3177. Total Sulfur in the Analysis Sample of Coal and Coke : American Society for Testing Materials. U.S.A., 1994.
34. ASTM Standard, D2492. Forms of Sulfur in Coal : American Society for Testing Materials. U.S.A., 1994.
35. แม่น อมรลิที, อmor เพชรส. หลักการและเทคนิคการวิเคราะห์เชิงเครื่องมือ. จุฬาลงกรณ์มหาวิทยาลัย, 2534.

สถาบันวิทยบริการ
จุฬาลงกรณ์มหาวิทยาลัย



ภาคผนวก



สถาบันวิทยบริการ จุฬาลงกรณ์มหาวิทยาลัย

ภาคผนวก ก

ตัวอย่างการคำนวณ

1. การคำนวณร้อยละการเปลี่ยนถ่านหิน

$$\text{ร้อยละการเปลี่ยนของถ่านหิน (af)} = 100 [(W_{\text{coal,af}} - W_{\text{char}}) / W_{\text{coal,af}}]$$

2. การคำนวณร้อยละผลได้ของเหลว

$$\text{ร้อยละผลได้ของเหลว (af)} = 100 [W_{\text{liq}} / W_{\text{coal,af}}]$$

3. การคำนวณร้อยละผลได้ของเชื้อ

$$\text{ร้อยละผลได้ของเชื้อ (af)} = 100 [W_{\text{char}} / W_{\text{coal,af}}]$$

4. การคำนวณร้อยละผลได้แก๊สผลิตภัณฑ์

$$\text{ร้อยละผลได้แก๊สผลิตภัณฑ์ (af)} = 100 - \text{ร้อยละผลได้ของเหลว} - \text{ร้อยละผลได้ของเชื้อ}$$

โดย

$$W_{\text{char}} = \text{น้ำหนักถ่านชาร์หลังไฟโรไลซิส}$$

$$W_{\text{liq}} = \text{น้ำหนักของผลิตภัณฑ์ของเหลว (น้ำมันทาร์รวมกับน้ำ)}$$

$$W_{\text{coal,af}} = \text{น้ำหนักของถ่านหินที่ปราศจากเถ้า}$$

ตัวอย่างการคำนวณ

ภาวะของการทดลอง : อุณหภูมิ 800 องศาเซลเซียส

เวลา 30 นาที

อัตราการไหลของแก๊ส 1.5 ลิตรต่อนาที

การคำนวณ

น้ำหนักถ่านหินเริ่มต้น	= 100	กรัม
น้ำหนักถ่านหิน (Ash free basis)	= 86.6	กรัม
น้ำหนักผลได้ของเหลว	= 31.8	กรัม
น้ำหนักถ่านชาร์	= 39.8	กรัม

$$\text{ร้อยละการเปลี่ยนถ่านหิน} = [100 \times (86.6 - 39.8)] / 86.6 = 54.0 \%$$

$$\text{ร้อยละผลได้ของเหลว} = 100 \times [31.8 / 86.6] = 36.8 \%$$

$$\text{ร้อยละผลได้ของแข็ง} = 100 \times [39.8 / 86.6] = 46.0 \%$$

$$\text{ร้อยละผลได้ของแก๊ส} = 100 - 36.8 - 46.0 = 17.2\%$$



**สถาบันวิทยบริการ
จุฬาลงกรณ์มหาวิทยาลัย**

ภาคผนวก ๖

การวิเคราะห์สมบัติถ่านหิน

1. การวิเคราะห์ถ่านหินแบบประมาณ (Proximate Analysis : ASTM D 3173-D 3175)

1.1 ปริมาณความชื้นในตัวอย่างถ่านหิน (Standard Test Method for Moisture in the Analysis Sample of Coal and Coke : ASTM D 3173)

หลักการ

นำตัวอย่างถ่านหินที่ร่อนผ่านตะเกียงขนาด 250 ไมโครเมตร มาให้ความร้อนในตู้อบ ที่ อุณหภูมิ 105-110 องศาเซลเซียส เพื่อให้ไอน้ำระเหยจากถ่านหิน ค่าความชื้นคำนวณได้จากน้ำหนักของถ่านหินที่หายไป

เครื่องมือ

1. ตู้อบ
2. ถ้วยกระเบื้อง (Porcelain Crucible) พร้อมฝาปิด
3. เดซิกเคเตอร์ (Desicator)

วิธีการทดลอง

1. อบถ้วยกระเบื้องพร้อมฝาในตู้อบที่อุณหภูมิ 105-110 องศาเซลเซียส ประมาณ 30 นาที ทิ้งให้เย็นในเดซิกเคเตอร์ ประมาณ 15 นาที ชั่งน้ำหนักและบันทึกผล
2. ชั่งตัวอย่างถ่านหินประมาณ 1 กรัม ใส่ถ้วยกระเบื้องที่ทราบน้ำหนักแน่นอน ปิดฝาทันที บันทึกน้ำหนักตัวอย่างถ่านหิน
3. นำเข้าตู้อบที่อุณหภูมิประมาณ 105-110 องศาเซลเซียสนาน 1 ชั่วโมง (จนกระทั่งน้ำหนักของตัวอย่างถ่านหินคงที่) ทิ้งให้เย็นในเดซิกเคเตอร์
4. ชั่งน้ำหนักถ้วยกระเบื้องที่มีตัวอย่างถ่านหินที่อบแล้วพร้อมฝาปิด บันทึกผล

การคำนวณ

$$M = \frac{(W_1 - W_2)}{W} \times 100$$

เมื่อ M = ร้อยละของปริมาณความชื้น

W_1 = น้ำหนักของถุงละลูมิเนียมพร้อมฝาปิดรวมน้ำหนักถ่านหินเริ่มต้นก่อนอบ (กรัม)

W_2 = น้ำหนักของถุงละลูมิเนียมพร้อมฝาปิดรวมน้ำหนักถ่านหินเริ่มต้นหลังอบ (กรัม)

W = น้ำหนักของตัวอย่างถ่านหิน (กรัม)

1.2 ปริมาณเต้าในตัวอย่างถ่านหิน (Standard Test Method for Ash in the Analysis Sample of Coal and Coke from Coal : ASTM D 3174)

หลักการ

นำตัวอย่างถ่านหินที่ร่อนผ่านตะแกรงขนาด 250 ไมโครเมตร มาให้ความร้อนในเตาเผา (Muffle Furnace) ที่อุณหภูมิ 750 องศาเซลเซียสจนน้ำหนักคงที่ ร้อยละปริมาณเต้าคำนวณจากน้ำหนักที่เหลืออยู่หลังจากเผา

เครื่องมือ

1. เตาเผา
2. ถ้วยกระเบื้องพร้อมฝา
3. เดซิกเคเตอร์

วิธีการทดลอง

1. ปิดฝา และเผาถ้วยกระเบื้องพร้อมฝาในเตาเผาที่อุณหภูมิ 750 องศาเซลเซียส นาน 1 ชั่วโมง นำออกมารำให้เย็นในเดซิกเคเตอร์ ซึ่งน้ำหนัก และบันทึกผล
2. ซึ่งตัวอย่างถ่านหินประมาณ 1 กรัม ใส่ในถ้วยกระเบื้องที่ทราบน้ำหนักแน่นอน ปิดฝาทันที บันทึกน้ำหนักตัวอย่างถ่านหิน (หรืออาจใช้ตัวอย่างถ่านหินที่ผ่านการอบหาความชื้นแล้ว)
3. นำถ้วยกระเบื้องที่มีตัวอย่างถ่านหินพร้อมฝา เข้าเตาเผาที่อุณหภูมิห้องโดยไม่ต้องปิดฝา ค่อยๆ ให้ความร้อนด้วยอัตราการเพิ่มอุณหภูมิที่ทำให้อุณหภูมิของเตาเผาถึง 400-500 องศาเซลเซียส ภายใน 1 ชั่วโมง เมื่ออุณหภูมิถึง 750 องศาเซลเซียส เผาถ่านหินจนกระทั่งน้ำหนักคงที่
4. นำถ้วยกระเบื้องและฝาออกจากเตาเผา ทิ้งไว้ให้เย็นในเดซิกเคเตอร์

การคำนวณ

$$A = \frac{(W_3 - W_4)}{W} \times 100$$

เมื่อ	A	=	ร้อยละของถ้า
	W_3	=	น้ำหนักของครุภัณฑ์เบิลพร้อมฝ้าและถ้า (กรัม)
	W_4	=	น้ำหนักของครุภัณฑ์เบิลพร้อมฝ้า (กรัม)
	W	=	น้ำหนักของตัวอย่างถ่านหิน (กรัม)

1.3 ปริมาณสารระเหยในตัวอย่างถ่านหิน (Standard Test Method for Volatile Matter in the Analysis Sample of Coal and Coke : ASTM D 3175)

หลักการ

นำตัวอย่างถ่านหินที่ร่อนผ่านตะแกรงขนาด 250 ไมโครเมตร ให้ความร้อนในเตาเผาแบบท่อ (Tubular Furnace) ปริมาณสารระเหยคำนวณได้จากน้ำหนักของตัวอย่างถ่านหินที่หายไป

เครื่องมือ

1. เตาเผาแบบท่อ
2. ครุภัณฑ์เบิลทำจากนิเกิลพร้อมฝ้า
3. เดซิกเคเตอร์

วิธีการทดลอง

1. เผาครุภัณฑ์เบิลพร้อมฝ้าในเตาเผาอุณหภูมิ 950 องศาเซลเซียส นาน 30 นาที
2. นำออกจากเตาเผา ทิ้งให้เย็นในเดซิกเคเตอร์ จนถึงอุณหภูมิห้อง ซึ่งน้ำหนักของครุภัณฑ์เบิลพร้อมฝ้า บันทึกผล
3. ซึ่งตัวอย่างถ่านหินประมาณ 1 กรัม ใส่ในถ้วยนิกเกิลที่ทราบน้ำหนักแน่นอน ปิดฝ่าให้สนิทบันทึกน้ำหนักตัวอย่าง
4. นำถ้วยนิกเกิลพร้อมตัวอย่างถ่านหินเผาในเตาเผาแบบท่อ ให้ความร้อนแก่ถ่านหินที่บริเวณด้านบนของเตาเผาแบบท่อนาน 3 นาที และบริเวณกลางเตาเผาอุณหภูมิ 950 องศาเซลเซียส อีก 7 นาที ตามลำดับ
5. นำถ้วยนิกเกิลออกจากเตาเผา ทิ้งให้เย็นในเดซิกเคเตอร์ ซึ่งน้ำหนักของถ้วยนิกเกิลพร้อมฝ้าและถ่านหินที่เหลือ บันทึกผล

การคำนวณ

$$V = \left(\frac{W_5 - W_6}{W} \times 100 \right) - M$$

เมื่อ	V	=	ร้อยละของสารระเหย
	M	=	ร้อยละของความชื้น
	W_5	=	น้ำหนักของครุภัณฑ์เบิลพร้อมฝ้าและน้ำหนักของถ่านหินก่อนเผา (กรัม)
	W_6	=	น้ำหนักของครุภัณฑ์เบิลพร้อมฝ้าและน้ำหนักของถ่านหินหลังเผา (กรัม)
	W	=	น้ำหนักตัวอย่างถ่านหินเริ่มต้น (กรัม)

1.4 ปริมาณ calorific value ของตัวอย่างถ่านหิน

การคำนวณ

$$\text{ร้อยละของค่ารับอนคงตัว} = \frac{\text{ร้อยละความชื้น} - \text{ร้อยละเหล้า} - \text{ร้อยละสารระเหย}}{\text{ร้อยละความร้อนของถ่านหิน}}$$

2. การหาค่าความร้อนของถ่านหิน (Standard Test Method for Gross Calorific Value of Coal and Coke by Adiabatic Bomb Calorimeter : ASTM D2015)

หลักการ

เพาตัวอย่างที่ต้องการวิเคราะห์ภายใต้บรรยายกาศแก๊สออกซิเจน ความร้อนที่เกิดขึ้นจากการเผาไหม้ภายในบอมบ์จะถ่ายเทให้กับน้ำที่อยู่รอบ ๆ ค่าความร้อนคำนวณได้จากผลคูณของความแตกต่างของอุณหภูมิ ΔT (ก่อนและหลังจุดระเบิด) กับค่าความจุความร้อนของเครื่องแคลอริมิเตอร์ซึ่งหาได้จากการเผากรดเบนโซิก (Benzoic acid) ภายใต้ภาวะเดียวกัน

เครื่องมือ

1. Oxygen Bomb Calorimeter

สารเคมี

1. น้ำกลั่น
2. กรดเบนโซิก (C_6H_5COOH) ควรได้รับมาตรฐานของ National Institute of Standard and Technology
3. เมทิลօไฮเรน (Methyl Orange) เมทิลเรด (Methyl Red) หรือเมทิลเพอเพิล (Methyl Purple)
4. แก๊สออกซิเจน ความบริสุทธิ์ร้อยละ 99.5

5. สารละลายนามาตรฐานโซเดียมคาร์บอเนต ความเข้มข้น 0.0709 N (3.76 กรัมต่อลิตร)
สารละลายนี้ปริมาตร 1 มิลลิลิตรมีค่าเท่ากับ 1 แคลอรี่
6. น้ำလացబօմբ ละลายสารละลายนมทิลออกเรนจิ่อมตัว 1 มิลลิลิตรในน้ำกลัน 1 ลิตร

การวิเคราะห์

การหาค่าความจุความร้อนนามาตรฐานของบอมบ์เคลอริมิเตอร์

1. ชั้งกรดเป็นโซเดียมประมาณ 1 กรัม ให้มีความละเอียดถึง 0.0001 กรัม ใส่ในถ้วยใส่ตัวอย่างของเครื่อง
2. ตัดลวด (Fuse Wire) ความยาวประมาณ 10 เซนติเมตร ผูกที่ปลายทั้งสองข้างของส่วนจุดระเบิด ให้ลวดแตะผิวตัวอย่างถ่านหินในถ้วย
3. ล้างภาชนะบอมบ์ให้สะอาดด้วยน้ำกลัน และเติมน้ำกลันลงในบอมบ์ 1 มิลลิลิตร
4. ประกอบบอมบ์ปิดฝาให้แน่น อัดแก๊สออกซิเจนมีความดัน 30 บรรยากาศ และต่อองเท้ากันทุกครั้ง ระวังอย่าให้ตัวอย่างกระเจยจากถ้วยใส่ตัวอย่าง
5. นำบอมบ์ที่อัดแก๊สออกซิเจนแล้ววางลงในถังน้ำที่ปรับอุณหภูมิ ต่อชั้วไฟฟ้าสำหรับจุดระเบิด
6. เติมน้ำกลันลงในถังน้ำที่ปรับอุณหภูมิบริมาณ 2000 มิลลิลิตร ปรับอุณหภูมิของน้ำโดยการกวนให้อุณหภูมิคงที่ และต่ำกว่าอุณหภูมิของห้องประมาณ 1-2 องศาเซลเซียส
7. ทิ้งไว้ 5 นาที เพื่อให้อุณหภูมิคงที่
8. เมื่ออุณหภูมิคงที่ บันทึกเป็นอุณหภูมิเริ่มต้น (T_i) กดปุ่มจุดระเบิด
9. จับเวลาทุก ๆ 1 นาทีจนกระทั่งอุณหภูมิคงที่ บันทึกเป็นอุณหภูมิสุดท้าย (T_f)
10. ปิดเครื่องและนำบอมบ์ออกจากเครื่อง ค่อย ๆ ลดความดัน ถ้าภายในมีเขม่าหรือเผาไหม้ไม่หมดให้ทำใหม่
11. ล้างภาชนะบอมบ์ทุกส่วนด้วยน้ำล้างบอมบที่เตรียมไว้ จนหมดความเป็นกรดและนีบprimat ประมาณ 250 มิลลิลิตร ไตเตอร์ต้น้ำล้างด้วยสารละลายนามาตรฐานโซเดียมคาร์บอเนต บันทึกปริมาตรที่ใช้
12. วัดความยาวลวดที่เหลือ บันทึกผล

การคำนวณ

$$E = \frac{[(Hg) + e_1 + e_2]}{T}$$

เมื่อ	E	= ค่าความจุความร้อนของเครื่องแคลอริมิเตอร์ (บีที่ยูต่อองศาเซลเซียส)
	H	= ความร้อนของการเผาไหม้ของกรดเบนโซอิก (บีที่ยูต่อปอนด์)
	g	= น้ำหนักกรดเบนโซอิกที่ใช้ (กรัม)
	e_1	= ปริมาตรของสารละลายที่ใช้เติม (มิลลิลิตร) โดย 1 มิลลิลิตรเทียบเท่ากับ 10 บีที่ยู
	e_2	= ความยาวลวดที่ถูกเผาไหม้ (เซนติเมตร) \times ค่าความร้อนของลวด (บีที่ยูต่อเซนติเมตร)
	T	= $T_f - T_i$ ผลต่างอุณหภูมิ (องศาเซลเซียส)

ทำการทดลองเหมือนที่กล่าวมาทุกประการตั้งแต่ข้อ 1-12 โดยเปลี่ยนจากการดูเบนโซอิกเป็นถ่านหิน แล้วคำนวณค่าความร้อนได้จากสมการต่อไปนี้

$$Q_v(\text{gross}) = \frac{[(TE) - e_1 - e_2 - e_3]}{g}$$

เมื่อ	Q_v	= ค่าความร้อนของถ่านหิน (บีที่ยูต่อปอนด์)
	T	= $T_f - T_i$ (องศาเซลเซียส)
	e_1	= ปริมาตรของสารละลายที่ใช้เติม (มิลลิลิตร) โดย 1 มิลลิลิตรเทียบเท่ากับ 10 บีที่ยู
	e_2	= ความยาวลวดที่ถูกเผาไหม้ (เซนติเมตร) \times ค่าความร้อนของลวด (บีที่ยูต่อเซนติเมตร)
	e_3	= 23.7 (บีที่ยู) \times ร้อยละกำมะถัน \times น้ำหนักถ่านหินที่ใช้ (กรัม)

3. การวิเคราะห์ปริมาณกำมะถันรวมและรูปแบบกำมะถัน (Total Sulfur and Forms of Sulfur : ASTM D 3177 and D 2492)

3.1 ปริมาณกำมะถันรวมในถ่านหิน (Standard Test Method for Total Sulfur in the Analysis Sample of Coal and Coke : ASTM D3177 Method B : Bomb Washing Method)

หลักการ

กำมะถันจากน้ำที่ได้จากการล้างบอนบี จะถูกทำให้อุ่นในรูปตะกอนแบบเริ่มซัลเฟต (BaSO_4)

เครื่องมือ

1. เตาเผา (Muffle Furnace)
2. ถ้วยกระเบื้องพร้อมฝาปิด
3. เดซิเกเตอร์

สารเคมี

1. น้ำกลั่น
2. แอมโมเนียมไฮดรอกไซด์เข้มข้น (conc. NH_4OH) ความถ่วงจำเพาะ 0.90
3. สารละลายแอมโมเนียมไฮดรอกไซด์เจือจาง ($1+10$) โดยผสมแอมโมเนียมไฮดรอกไซด์เข้มข้น 1 ส่วนกับน้ำกลั่น 10 ส่วนโดยปริมาตร
4. กรดไฮโดรคลอริก ($1+1$) โดย ผสมกรดไฮโดรคลอริกเข้มข้น 1 ส่วนกับน้ำกลั่น 1 ส่วนโดยปริมาตร
5. สารละลายแบเรียมคลอไรด์ (BaCl_2) ละลายแบเรียมคลอไรด์ 100 กรัม ในน้ำกลั่นและเจือจางให้ได้ปริมาตร 1 ลิตร
6. สารละลายนิวเคลียต (AgNO_3) ละลายซิลเวอร์ในเตรต 0.43 กรัม ในน้ำกลั่น และปรับปริมาตรสารละลายให้เป็น 100 มิลลิลิตร
7. กระดาษกรองเบอร์ 1 และเบอร์ 42

วิธีการทดลอง

1. นำน้ำที่ได้จากการล้างบอนบีและไถเตรตแล้วมาปรับให้เป็นกลางด้วยสารละลายแอมโมเนียมไฮดรอกไซด์เจือจาง (จาก $\text{pH} = 5.5$ เป็น $\text{pH} = 7.0$)
2. นำไปเต็มจนเดือดแล้วกรองด้วยกระดาษกรองเบอร์ 1 ล้างกระดาษกรองให้ทั่วด้วยน้ำร้อน 5-6 ครั้ง
3. เติมกรดไฮโดรคลอริกที่เตรียมไว้ 1 มิลลิลิตร นำไปเต็มและเติมสารละลายแบเรียมคลอไรด์ 10 มิลลิลิตรที่ละน้อยด้วยปีเปต คนให้ทั่วตลอดเวลา ต้มต่อให้เดือดอีก 15 นาที ตั้งทิ้งไว้ค้างคืนหรืออย่างน้อย 2 ชั่วโมง
4. กรองตะกอนแบเรียมชัลเฟต์ด้วยกระดาษกรองเบอร์ 42 ล้างด้วยน้ำร้อนจนหมดแบเรียมคลอไรด์ (ทดสอบได้ด้วยการหยดสารละลายนิวเคลียตในเตรตลงในน้ำล้างตะกอน 8-10 มิลลิลิตรแล้วน้ำไม่浑)
5. นำกระดาษกรองที่มีตะกอนแบเรียมชัลเฟต์ใส่ถ้วยกระเบื้องที่ทราบน้ำหนักແเน่นอน ห่อกระดาษห览ๆ เพื่อป้องกันตะกอนกระเด็นออกจากการถ้วย

6. เผาที่อุณหภูมิ 800-850 องศาเซลเซียสจนน้ำหนักคงที่ นำออกจากการเผา ปิดฝาและทิ้งให้เย็นในเดซิกเกตเตอร์
7. ชั่งน้ำหนักและบันทึกผล

การคำนวณ

$$\text{ร้อยละกำมะถันรวม} = 13.738 \times (A - B) / C$$

เมื่อ	A	=	น้ำหนักรวมของตะกอนแบบเรียมชัลเฟต (BaSO_4) จากตัวอย่าง (กรัม)
	B	=	น้ำหนักของตะกอนแบบเรียมชัลเฟต (BaSO_4) จาก blank (กรัม)
	C	=	น้ำหนักตัวอย่างถ่านหินเริ่มต้น (กรัม)

3.2 รูปแบบกำมะถันในถ่านหิน (Standard Test Method for Forms of Sulfur in Coal : ASTM D 2492)

หลักการ

กำมะถันชัลเฟตแยกได้โดยกรดเกลือ และกำมะถันไฟไวร์สามารถคำนวณได้จากปริมาณธาตุเหล็กที่เป็นองค์ประกอบ ส่วนกำมะถันอินทรีย์คำนวณได้จากผลต่างของกำมะถันรวมกับกำมะถันไฟไวร์และกำมะถันชัลเฟต

3.2.1 กำมะถันชัลเฟต

เครื่องมือ

1. เตาเผา
2. ครุภัณฑ์สำหรับต้มน้ำ เช่น หม้อต้มน้ำ

สารเคมี

1. แอมโมเนียมไไฮดรอกไซด์เข้มข้น (ความถ่วงจำเพาะ 0.90)
2. สารละลายแอมโมเนียมไไฮดรอกไซด์ (1:10)
3. สารละลายแบบเรียมคลอไรด์ (100 กรัมต่อลิตร)
4. น้ำบอร์ฟีนอ่อนตัว เติมน้ำบอร์ฟีนมากเกินพอในน้ำ 1 ลิตร (ความสามารถในการละลาย 42 กรัมต่อลิตร)

5. เอธานอล
6. กรดเกลือเข้มข้น (ความถ่วงจำเพาะ 1.19)
7. สารละลายกรดเกลือ (2:3) ผสมกรดเกลือเข้มข้น 2 ส่วนกับน้ำกลั่น 3 ส่วนโดยปริมาตร
8. สารละลายเมทิลออกเรนจ์ ละลายเมทิลออกเรนจ์ 0.02 กรัม ในน้ำร้อน 100 มิลลิลิตร และกรอง
9. สารละลายซิลเวอร์ในเตรต (0.43 กรัมต่อ 100 มิลลิลิตร)

วิธีการทดลอง

1. ชั่งตัวอย่างน้ำหนัก 2-5 กรัม ใส่น้ำบีกเกอร์
2. เติมกรดเกลือ (2:3) ปริมาตร 50 มิลลิลิตร ที่ละน้อยพร้อมคนให้ทั่ว
3. เติมเอทานอล 2-3 หยด ต้มให้เดือดอ่อนๆ นาน 30 นาที
4. กรองด้วยกระดาษกรองเบอร์ 1 ล้างด้วยน้ำร้อนหลายครั้ง จนกระทั่งไม่มีกรดเกลือค้างอยู่บนกระดาษกรอง เก็บตะกรอนที่ได้จากการกรองเพื่อนำไปวิเคราะห์หาปริมาณไฟโรต์ต่อไป
5. เติมน้ำบีร์มีนอิมตัว 5 มิลลิลิตร ต้มให้เดือดอย่างน้อย 5 นาที เพื่อออกซิไดซ์เหล็กและไอลบอร์มีนากเกินพอก ตั้งทิ้งไว้ให้เย็นที่อุณหภูมิห้อง
6. ตอกตะกรอนเหล็กโดยค่อยๆ เติมแอมโมเนียมไฮดรอกไซด์เข้มข้น จนกระทั่งสารละลายเป็นเบสเล็กน้อยเมื่อทดสอบด้วยกระดาษลิตมัส เติมแอมโมเนียมไฮดรอกไซด์เข้มข้นให้มากเกินพอกอิก 5 มิลลิลิตร และคนตลอดเวลา
7. กรองตะกรอนด้วยกระดาษกรองเบอร์ 1 และล้างตะกรอนด้วยสารละลายแอมโมเนียมไฮดรอกไซด์ (1:10) ที่ร้อนหลายครั้ง
8. เติมกรดเกลือเข้มข้นลงในสารละลายที่กรองได้ จนกระทั่งสารละลายเปลี่ยนเป็นสีชมพูเมื่อใช้เมทิลออกเรนจ์เป็นиндิเคเตอร์ เติมกรดเกลือเข้มข้นให้เกินพอกอิก 1 มิลลิลิตร
9. ต้มสารละลายที่กรองได้ให้เดือด ค่อยๆ เติมสารละลายแบบเริ่มคลอไรด์ปริมาตร 10 มิลลิลิตร ลงไปช้าๆ โดยใช้ปีเปต ต้มให้เดือดต่ออีก 15 นาที ทิ้งไว้ค้างคืนที่อุณหภูมิห้อง
10. กรองด้วยกระดาษกรองเบอร์ 42 ล้างตะกรอนด้วยน้ำร้อนหลายครั้ง จนน้ำล้างตะกรอนปราศจากคลอไรด์ออกอน ซึ่งทดสอบได้โดยการหยดสารละลายซิลเวอร์ในเตรตแล้วไม่ทำให้ขุ่น

11. นำตะกอนที่กรองได้พร้อมขมกระดาษกรอง ใส่ในครูวิเบิลที่ทราบน้ำหนักแห่นอนเข้าเตาเผาที่อุณหภูมิ 800 องศาเซลเซียส นาน 3 ชั่วโมง หรือจนกระทั่งน้ำหนักคงที่ นำออกจากการเผา และทิ้งให้เย็นในเดสซิเคเตอร์ ซึ่งน้ำหนักและบันทึกผล

การคำนวณ

$$\text{ร้อยละของกำมะถันซัลเฟต} = 13.735 \times (A - B) / C$$

เมื่อ	A	=	น้ำหนักตะกอนแบบเรียมซัลเฟตจากตัวอย่าง (กรัม)
	B	=	น้ำหนักตะกอนแบบเรียมซัลเฟตจาก blank (กรัม)
	C	=	น้ำหนักถ่านหินเริ่มต้น (กรัม)

3.2.2 กำมะถันไฟไวต์

สารเคมี

- สารละลายเหล็กแมตรฐาน
- สารละลายแอลูมิเนียม ละลายแอลูมิเนียมคลอไรด์ (LaCl_3) 175 กรัมในน้ำกลั่นแล้วเจือจากเป็น 1 ลิตร
- กรดไนตริก (1+7) ผสมกรดไนติกเข้มข้น 1 ส่วนกับน้ำกลั่น 7 ส่วน
- กรดเกลือ (1+49) ผสมกรดเกลือเข้มข้น 1 ส่วนกับน้ำกลั่น 49 ส่วน

วิธีวิเคราะห์

- เติมกรดไนติก (1+7) 50 มิลลิลิตร ลงในภาชนะที่ใส่ถ่านหินซึ่งผ่านการสกัดกำมะถันซัลเฟตแล้ว นำไปปั่นให้เดือดอ่อนๆ นาน 30 นาที
- กรองด้วยกระดาษกรองเบอร์ 1 ล้างด้วยน้ำกลั่นจนมีปริมาณเกือบ 200 มิลลิลิตร
- เทสารละลายข้อ 2 ใส่ขวดวัดปริมาตรขนาด 200 มิลลิลิตร เจือจากด้วยน้ำกลั่นจนมีปริมาณ 200 มิลลิลิตร
- ปั๊ปสารละลายข้อ 3 มา 10 มิลลิลิตร ใส่ขวดวัดปริมาตรขนาด 100 มิลลิลิตร แล้วเติมสารละลายแอลูมิเนียมคลอไรด์ 10 มิลลิลิตร
- เจือจากด้วยกรดเกลือ (1+49) จนมีปริมาณ 100 มิลลิลิตร
- นำสารละลายข้อ 5 มาวิเคราะห์ด้วยเครื่องอัตโนมัติโคบซอร์พชัน (Atomic Absorption Spectrometer) โดยใช้ความยาวคลื่นในการวิเคราะห์ดังนี้ ความยาวคลื่น 248.3 นาโนเมตร (ความเข้มข้นเหล็ก 0 ถึง 5 พีพีเอ็ม)

ความยาวคลื่น 372.0 นาโนเมตร (ความเข้มข้นเหล็ก 5 ถึง 100 พีพีเอ็ม)

ความยาวคลื่น 344.1 นาโนเมตร (ความเข้มข้นเหล็ก >100 พีพีเอ็ม)

Flame : air/acetylene (lean)

7. การเตรียมสารละลายสอบเทียบ (calibration solution) เตรียมสารละลายสอบเทียบให้มีความเข้มข้นครอปคอลุ่มช่วงความเข้มข้นของสารละลายที่ต้องการทดสอบ โดยปฏิบัติสารละลายเหล็กมาตรฐานปริมาตรที่เหมาะสมใส่ขวดวัดปริมาตรขนาด 100 มิลลิลิตร เติมสารละลายแล้วทันทีมคลอไรด์ 10 มิลลิลิตร เจือจากจนได้ปริมาตร 100 มิลลิลิตร ด้วยกรดเกลือ (1+49)

การคำนวณ

$$\text{กำมะถันไฟไฮต์, \%} = \frac{[F \times A \times V \times C \times P \times (T - B)]}{W}$$

เมื่อ	F	=	1.148, ค่าคงที่เรืองน่วย
	A	=	20, ค่าคงที่เรืองน่วย
	V	=	100 มิลลิลิตร, ปริมาตรสารละลายที่ต้องการทดสอบ
	C	=	10^{-6} กรัมต่อไมโครกรัม, แปลงหน่วยจากไมโครกรัมเป็นกรัม
	P	=	100, ค่าคงที่เรืองน่วย เพื่อเปลี่ยนจากสัดส่วนโดยน้ำหนักเป็นร้อยละโดยน้ำหนัก
	T	=	ความเข้มข้นของเหล็กในสารละลายทดสอบ (ไมโครกรัมต่อมิลลิลิตร)
	B	=	ความเข้มข้นของเหล็กในสารละลายทดสอบ blank (ไมโครกรัมต่อมิลลิลิตร)
	W	=	น้ำหนักของถ่านหิน (กรัม)

3.2.3 กำมะถันอินทรี

การคำนวณ

ร้อยละกำมะถันอินทรี = ร้อยละกำมะถันรวม – ร้อยละกำมะถันขัลเฟต – ร้อยละกำมะถันไฟไฮต์

ภาคผนวก ๔

ตัวอย่างการคำนวณสมบัติของถ่านหินแม่เมะ

1. การวิเคราะห์แบบประมาณ

1.1 การคำนวณปริมาณความชื้นในถ่านหิน

น้ำหนักถ้าดองลูมิเนียมพร้อมฝาปิด	11.75	กรัม
น้ำหนักตัวอย่างที่ใช้	1.00	กรัม
น้ำหนักถ้าดองลูมิเนียมพร้อมฝาปิด + ตัวอย่างหลังอบ	12.63	กรัม
ร้อยละของความชื้น	= $[(11.75 + 1.00) - 12.63]/1.00 \times 100$	
	= 14.25%	

1.2 การคำนวณปริมาณเก้าในถ่านหิน

น้ำหนักครุชีเบลพร้อมฝา	47.17	กรัม
น้ำหนักตัวอย่างที่ใช้	1.00	กรัม
น้ำหนักครุชีเบลพร้อมฝาและเก้า	47.30	กรัม
ร้อยละของเก้า	= $[(47.17 + 1.00) - 47.30]/1.00 \times 100$	
	= 13.40%	

1.3 การคำนวณปริมาณสารระเหยในถ่านหิน

น้ำหนักครุชีเบลพร้อมฝา	47.03	กรัม
น้ำหนักตัวอย่างที่ใช้	1.00	กรัม
น้ำหนักครุชีเบลพร้อมฝา + ตัวอย่างหลังเผา	47.56	กรัม
ร้อยละของปริมาณความชื้น	14.25%	
ร้อยละของสารระเหย	= $\{[(47.03 + 1.00) - 47.56]/1.00 \times 100\} - 14.25$	
	= 33.23%	

1.4 การคำนวณปริมาณคาร์บอนคงตัวในถ่านหิน

ร้อยละของคาร์บอนคงตัว	= $100 - 14.25 - 13.40 - 33.23$	
	= 39.12%	

2. การวิเคราะห์ปริมาณกำมะถันรวมและรูปแบบกำมะถัน

ตัวอย่าง : ถ่านหินแม่เมะ

2.1 การคำนวณปริมาณกำมะถันรวม

น้ำหนักครุชีเบิลพร้อมฝา	45.64	กรัม
น้ำหนักตัวอย่างที่ใช้	1.00	กรัม
น้ำหนักครุชีเบิลพร้อมฝา + ตัวอย่างหลังการทดลอง	45.89	กรัม
น้ำหนักของแบบเรียมชัลเฟต	0.25	กรัม
น้ำหนักของแบบเรียมชัลเฟต (blank)	0.0102	กรัม
ร้อยละของกำมะถันรวม	= $13.738 \times (0.25 - 0.0102)/1.00$	
	= 3.30	

2.2 การคำนวณปริมาณกำมะถันชัลเฟต

น้ำหนักครุชีเบิลพร้อมฝา	48.60	กรัม
น้ำหนักตัวอย่างที่ใช้	3.00	กรัม
น้ำหนักครุชีเบิลพร้อมฝา + ตัวอย่างหลังการทดลอง	48.72	กรัม
น้ำหนักของแบบเรียมชัลเฟต	0.12	กรัม
น้ำหนักของแบบเรียมชัลเฟต (blank)	0.0074	กรัม
ร้อยละของกำมะถันชัลเฟต	= $13.735 \times (0.12 - 0.0074)/3.00$	
	= 0.52	

2.3 การคำนวณปริมาณกำมะถันไฟไวร์

น้ำหนักตัวอย่างที่ใช้	3.00	กรัม
ความเข้มข้นของเหล็กในสารละลายทดสอบ	9.5	กรัม/ไมโครกรัม
ความเข้มข้นของเหล็กในสารละลายทดสอบ (blank)	0.23	กรัม/ไมโครกรัม
ร้อยละของกำมะถันไฟไวร์	= $[1.148 \times 20 \times 100 \times 10^{-6} \times 100 \times (9.5 - 2.3)]/3.00$	
	= 0.71	

2.4 การคำนวณปริมาณกำมะถันอินทรีย์

ร้อยละของกำมะถันอินทรีย์	= $3.30 - 0.52 - 0.71$	
	= 2.07	

3. การวิเคราะห์ร้อยละการขจัดกำมะถัน

การคำนวณ

$$\text{ร้อยละการขจัดกำมะถัน} = [(S_0 - (S \times Y))/S_0] \times 100$$

โดย

$$S_0 = \text{ร้อยละกำมะถันเริ่มต้นในถ่านหิน}$$

$$S = \text{ร้อยละกำมะถันในถ่านชาร์}$$

$$Y = \text{สัดส่วนของน้ำหนักถ่านชาร์ต่อน้ำหนักถ่านหินเริ่มต้น}$$

S_0 คือ กำมะถันรวม, กำมะถันไฟไวร์ต และกำมะถันชัลเฟต

ตัวอย่างการคำนวณ

ภาวะของการทดลอง : อุณหภูมิ 800 องศาเซลเซียส

เวลา 30 นาที

อัตราการไหลของแก๊ส 1.5 ลิตรต่อนาที

บรรยายกาศแก๊สในต่อเจน

3.1 การคำนวณร้อยละการขจัดกำมะถันรวม

$$\text{ร้อยละกำมะถันรวมในถ่านหิน} \quad 3.30$$

$$\text{ร้อยละกำมะถันรวมในถ่านชาร์} \quad 3.02$$

$$\text{สัดส่วนของน้ำหนักถ่านชาร์ต่อน้ำหนักถ่านหินเริ่มต้น} \quad 0.40$$

$$\text{ร้อยละการขจัดกำมะถันรวม} = [(3.30 - (3.02 \times 0.40))/3.30] \times 100$$

$$= 64.3\%$$

3.2 การคำนวณร้อยละการขจัดกำมะถันชัลเฟต

$$\text{ร้อยละกำมะถันชัลเฟตในถ่านหิน} \quad 0.52$$

$$\text{ร้อยละกำมะถันชัลเฟตในถ่านชาร์} \quad 0.15$$

$$\text{สัดส่วนของน้ำหนักถ่านชาร์ต่อน้ำหนักถ่านหินเริ่มต้น} \quad 0.40$$

$$\text{ร้อยละการขจัดกำมะถันชัลเฟต} = [(0.52 - (0.15 \times 0.40))/0.52] \times 100$$

$$= 88.7\%$$

3.3 การคำนวณร้อยละการขาดกำมะถันไฟไวร์

ร้อยละกำมะถันไฟไวร์ในถ่านหิน	0.71
ร้อยละกำมะถันไฟไวร์ในถ่านชาาร์	0.18
สัดส่วนของน้ำหนักถ่านชาาร์ต่อน้ำหนักถ่านหินเริ่มต้น	0.40
ร้อยละการขาดกำมะถันไฟไวร์	$= [(0.71 - (0.18 \times 0.40)) / 0.71] \times 100$ $= 89.8\%$

3.4 การคำนวณร้อยละการขาดกำมะถันอินทรี

ร้อยละกำมะถันอินทรีในถ่านหิน	2.07
ร้อยละกำมะถันอินทรีในถ่านชาาร์	2.69
สัดส่วนของน้ำหนักถ่านชาาร์ต่อน้ำหนักถ่านหินเริ่มต้น	0.40
ร้อยละการขาดกำมะถันอินทรี	$= [(2.07 - (2.69 \times 0.40)) / 2.07] \times 100$ $= 49.7\%$

**สถาบันวิทยบริการ
จุฬาลงกรณ์มหาวิทยาลัย**

ภาคผนวก ๑

การวิเคราะห์ผลิตภัณฑ์ของแข็งด้วย FT - IR

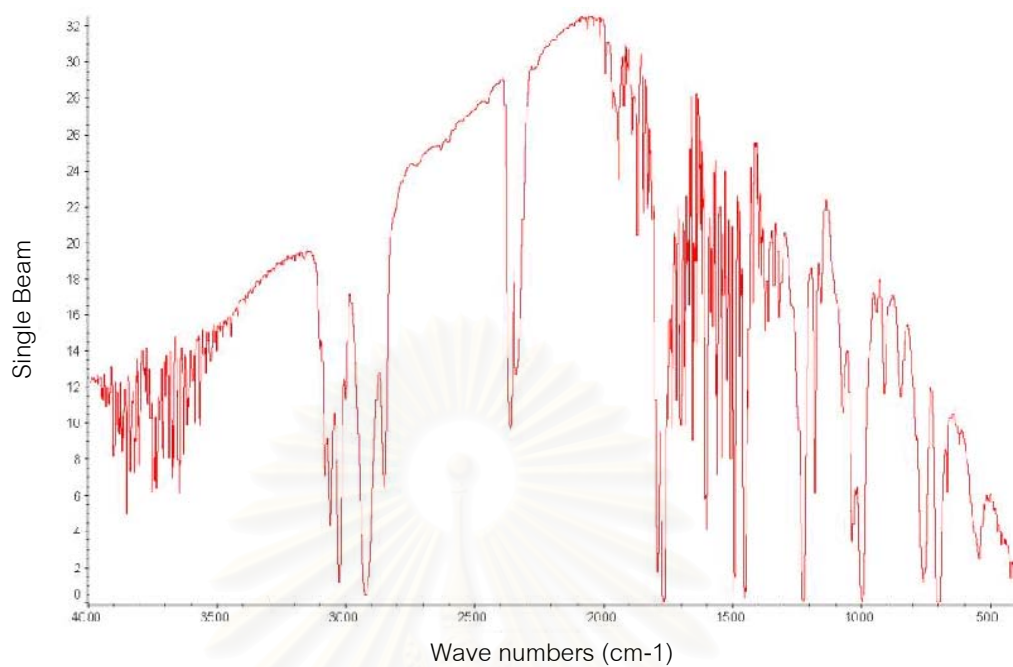
การวิเคราะห์สารตัวอย่างหรือผลิตภัณฑ์ที่เป็นของแข็ง (Solid Samples) โดยใช้เครื่องมือฟูเรียร์ทรายสฟอร์ม อินฟราเรดสเปกโตรมิเตอร์ (Fourier Transform Infrared Spectrometer, FT – IR) ในกรณีที่ต้องการอินฟราเรดสเปกตัมของสารตัวอย่างที่เป็นของแข็ง โดยไม่มีผลของตัวทำละลายหรือสารอื่นๆ ผสมอยู่เกี่ยวกับตัวอย่าง นั่นคือมีแต่เฉพาะตัวอย่างเท่านั้น จำเป็นจะต้องทำให้สารตัวอย่างมีลักษณะบางมากๆ เป็นพิล์ม ที่หนาประมาณ 0.01-0.10 มิลลิเมตร เพื่อให้แสงผ่านได้ เทคนิคต่างๆ ที่จะเลือกใช้ยังขึ้นอยู่กับสมบัติทางกายภาพของสารนั้นด้วย

เทคนิคที่ใช้คือ KBr-pellet technique ซึ่งเป็นเทคนิคที่มีประวัติมากกว่า 100 ปี โดยใช้สารพาวออกอลคลายไฮด์ เช่น KBr ที่เป็นของแข็งผสมกับสารตัวอย่าง บดให้เข้ากันในโกร่งอะเกต (agate mortar) แล้วนำไปอัดจะได้สารเป็นแผ่นใส สามารถนำไปวิเคราะห์ด้วยเครื่องอินฟราเรด สเปกโตรไฟต์มิเตอร์ได้เลย ข้อดีของเทคนิคนี้ คือ

1. Background Absorption ของสารประกอบไฮด์มีค่าน้อยและใช้ได้ทั่วไป
2. แผ่นใสที่อัดได้ (pellet, disc) อาจจะเก็บไว้ใช้วิเคราะห์ใหม่ได้
3. สามารถนำมาใช้ในการวิเคราะห์สารตัวอย่างในระดับไมโครได้

สิ่งที่สำคัญของการใช้เทคนิคนี้คือ KBr ควรจะต้องใช้เกรดที่ดีที่สุด อย่างน้อยก็ควรเป็น AR เกรด และจะต้องแห้ง นั่นคือ ควรจะต้องอบที่อุณหภูมิ 110 องศาเซลเซียส เป็นเวลา 12 ชั่วโมง แล้วนำมาเก็บไว้ในเดซิกເකเตอร์ที่ใส่ฟอสฟอรัสเพนตะออกไซด์ (P_2O_5) หรือซิลิกาเจลไว้ ก่อนใช้ ควรจะต้องบดให้ละเอียดเสียก่อน

วิธีทำ KBr-pellet ใช้สารตัวอย่างประมาณ 2.0 มิลลิกรัม ผสมกับ KBr 100-200 มิลลิกรัม ในโกร่งอะเกต หรือ ball mill แล้วบดให้ละเอียดจนเป็นเนื้อดียกัน ตามปกติการทำ KBr-pellet ควรให้มีสารตัวอย่างเข้มข้นประมาณ 0.1-2% แต่ก็อาจจะเปลี่ยนแปลงปริมาณได้ ขึ้นอยู่กับสารตัวอย่างนั้น ดูดกลืนแสงอินฟราเรดได้ดีเพียงใด เมื่อบดดีแล้วนำไปใส่ในเครื่องอัด แล้วนำตัวอย่างที่เป็น pellet ใส่บางอุกมาอย่างระมัดระวัง เพราะอาจแตกหรือหักได้ จากนั้นใส่ลงใน disc holder เพื่อนำไปวิเคราะห์ต่อไป



รูปที่ ๔๑ ตัวอย่างอินฟราเรดสเปกตรัมของ Background

สถาบันวิทยบริการ
จุฬาลงกรณ์มหาวิทยาลัย

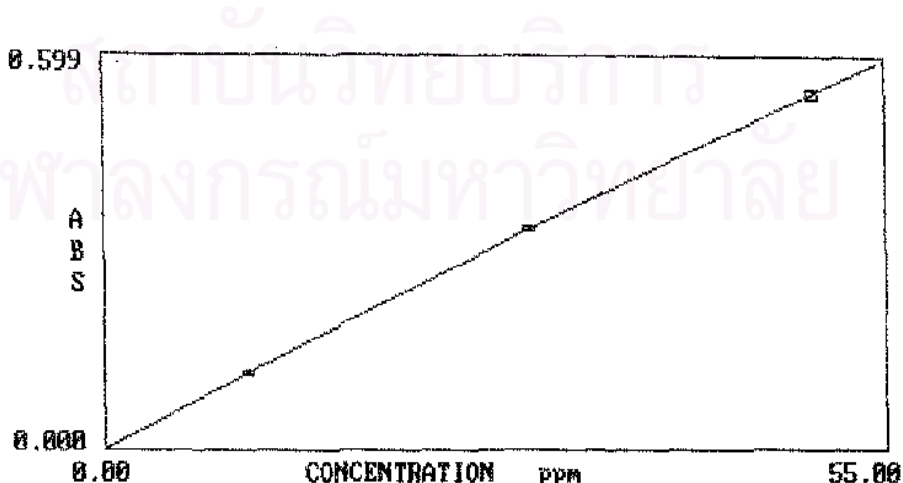
ภาคผนวก จ

การวิเคราะห์ความเข้มข้นของเหล็กด้วย AAS

อะตอมมิกแอบซอร์พชันสเปกโตรสโคปี (Atomic Absorption Spectroscopy, AAS) หรือเทคนิคทาง AAS เป็นเทคนิคการวิเคราะห์ธาตุอย่างหนึ่ง ซึ่งสามารถทำได้ทั้งในเชิงคุณภาพและปริมาณวิเคราะห์ อะตอมมิกแอบซอร์พชันเป็นกระบวนการที่เกิดจากอะตอมเสร็จของธาตุดูดกลืนแสงที่ความยาวคลื่นอันหนึ่งโดยเฉพาะ ซึ่งขึ้นอยู่กับชนิดของธาตุ ธาตุแต่ละชนิดจะมีระดับของพลังงานแตกต่างกัน จึงมีการดูดกลืนพลังงานแตกต่างกัน

วิธีทดสอบเทียบ (Calibration method) เป็นวิธีหนึ่งในการทำปริมาณวิเคราะห์ด้วยเทคนิค AAS (Quantitative Analysis) [35] ในกรณีที่สารตัวอย่างไม่ค่อยมีสิ่งรบกวนและสารตัวอย่างเจือจาง อาจจะทำการวิเคราะห์ได้ง่ายๆ โดยเทียบกับสารมาตรฐานที่ทราบความเข้มข้นแน่นอนแล้ว โดยปรับสัญญาณที่ได้จาก Blank ให้เป็นศูนย์ และจึงวัดค่าแอบซอร์เบนซ์ของสารละลายน้ำที่ความเข้มข้นต่างๆ กัน (4-5 ความเข้มข้น) เมื่อใช้ Flameless atomization technique จากใช้วัดพื้นที่ของพีก (Peak area) หรือความสูงของพีก (Peak height) แล้วนำผลมาเขียนกราฟ เพื่อหาความสัมพันธ์กับความเข้มข้นของสารละลายนี้ได้ Calibration curve ซึ่งอาจเป็นเส้นตรงหรือเส้นโค้งได้ ลักษณะของกราฟดังแสดงในรูป จ1

สิ่งที่สำคัญจะต้องไม่ลืมว่า Calibration curve ที่ได้ใช้ได้เฉพาะการวิเคราะห์แต่ละครั้งเท่านั้น เมื่อจะวิเคราะห์ใหม่จะต้องทำใหม่ ทั้งนี้เพราะตัวแปรต่างๆ ที่ใช้อาจเปลี่ยนแปลงไปได้



รูปที่ จ1 ลักษณะของ Calibration curve

ภาคผนวก ฉ

การวิเคราะห์ผลิตภัณฑ์แก๊สโดยแก๊สโคลามาโทกราฟ

เครื่องแก๊สโคลามาโทกราฟที่ใช้วิเคราะห์คือ Agilent 3000A Micro GC ซึ่งประกอบด้วยดีเทกเตอร์แบบ TCD และคอลัมน์แบบ Packed column จำนวน 3 คอลัมน์คือ Molecular sieve Plot Q และ OV-1 โดยข้อมูลและภาวะของเครื่องแก๊สโคลามาโทกราฟ แสดงดังตาราง ฉ1

ตารางที่ ฉ1 ข้อมูลและภาวะของเครื่องแก๊สโคลามาโทกราฟ

3000 Micro GC	Molecular sieve	Plot Q	OV-1
Injector Type	Backflush	Timed	Timed
Carrier Gas	Argon	Helium	Helium
Detector Type	TCD	TCD	TCD
Inlet Type	Heated	Heated	Heated
Sample Inlet Temperature (°C)	45	45	45
Injector Temperature (°C)	100	55	85
Column Temperature (°C)	110	60	90
Sampling Time (s)	10	10	10
Inject Time (ms)	10	30	30
Run Time (s)	240	240	240
Post Run Time (s)	10	30	30
Pressure Equilibration Time (s)	10	60	60
Column Pressure (psi)	40.00	20.00	25.00
Post Run Pressure (psi)	40.00	20.00	33.00
Detector Filament	Enabled	Enabled	Enabled
Detector Sensitivity	High	High	High
Detector Data Rate (Hz)	50	50	50
Backflush Time (s)	9.5	-	-

ประวัติผู้เขียนวิทยานิพนธ์

นางสาวอุบลรัชต์ ลิ้มประภาสิริกุล เกิดวันที่ 7 สิงหาคม 2523 สำเร็จการศึกษาปริญญาตรี วิทยาศาสตรบัณฑิต สาขาวิชาเคมีวิศวกรรม ภาควิชาเคมีเทคนิค คณะวิทยาศาสตร์ จุฬาลงกรณ์มหาวิทยาลัย ปีการศึกษา 2545 และเข้าศึกษาต่อในหลักสูตร วิทยาศาสตรบัณฑิต สาขาวิชาเคมีเทคนิค จุฬาลงกรณ์มหาวิทยาลัย ปีการศึกษา 2546

